

Bezoekadres:  
Hoofdweg 76  
3067 GH Rotterdam  
Postadres:  
Hoofdweg 76  
3067 GH Rotterdam

T +31 (0)88-5152505  
E [info@cauberghuygen.nl](mailto:info@cauberghuygen.nl)  
W <http://www.cauberghuygen.nl>

K.V.K. 58792562  
IBAN NL71RABO0112075584

**Trillingsonderzoek Spoorlaan 19 te Etten-Leur;  
trillingshinder spoor**

Datum           **7 december 2022**  
Referentie      **09250-56990-02**

Referentie 09250-56990-02  
Rapporttitel Trillingsonderzoek Spoorlaan 19 te Etten-Leur;  
trillingshinder spoor  
  
Datum 7 december 2022

Opdrachtgever Soma Vastgoed B.V.  
De Ambachten 31  
4881 XZ ZUNDERT  
Contactpersoon de heer W. Mattheijer

Behandeld door De heer ir. T.J.W. Scholten  
Cauberg Huygen B.V.  
Bezoekadres:  
Hoofdweg 76  
3067 GH Rotterdam  
Postadres:  
Hoofdweg 76  
3067 GH Rotterdam  
Telefoon 088-5152505

## Inhoudsopgave

<b>1</b>	<b>Inleiding</b>	<b>4</b>
<b>2</b>	<b>Uitgangspunten</b>	<b>5</b>
2.1	Opzet onderzoek	5
2.2	Toetsingskader	5
<b>3</b>	<b>Trillingsmetingen</b>	<b>8</b>
3.1	Algemeen	8
3.2	Meetposities	8
3.3	Meetparameters	9
3.4	Treinen	9
<b>4</b>	<b>Meetresultaten</b>	<b>10</b>
4.1	Bemande meting	10
4.2	Onbemande weekmeting	11
4.3	Bespreking van de resultaten	12
<b>5</b>	<b>Beoordeling</b>	<b>13</b>
5.1	Beoordeling $V_{max}$	13
5.2	Beoordeling $V_{per}$	14
5.3	Toekomstige situatie	14
<b>6</b>	<b>Conclusie</b>	<b>16</b>

## Bijlagen

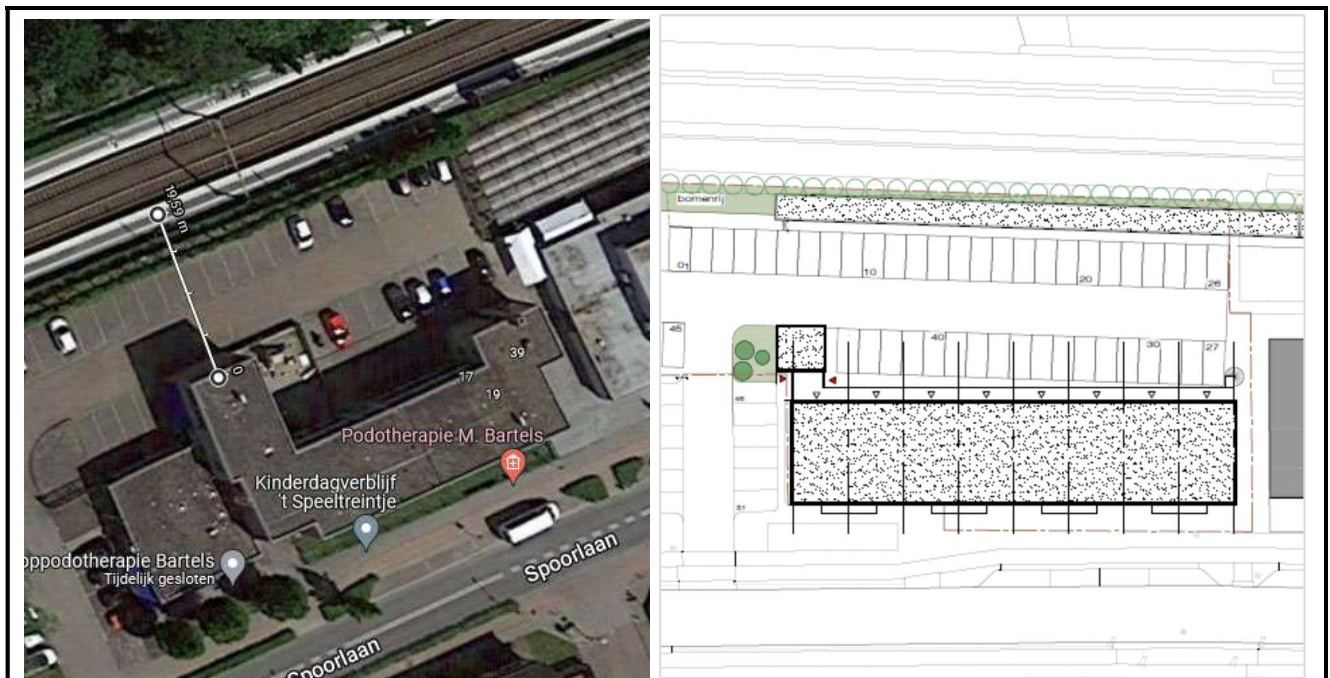
### Bijlage I      Meetresultaten

- Bijlage I-1      Verloop van  $V_{eff,max,30,i}$  tijdens de onbemande meting
- Bijlage I-2      SBR-B gewogen tertsbanden van de top10 gemeten passages
- Bijlage I-3      Top10 gemeten treinen per meetpunt

### Bijlage II      Foto's

## 1 Inleiding

In opdracht van Soma Vastgoed is door Cauberg Huygen B.V. een trillingsonderzoek uitgevoerd in verband met het ontwikkelen van een appartementencomplex op de locatie Spoorweglaan 19 te Etten-Leur. Op die locatie is nu nog een voormalig schoolgebouw aanwezig. Het huidige gebouw ligt met een kleinste afstand van 20 meter relatief dicht bij de spoorlijn Breda - Roosendaal. Trillingen van het treinverkeer kunnen daarom tot hinder leiden voor bewoners van het toekomstige appartementencomplex. Figuur 1.1 geeft de huidige situatie weer (links) en de toekomstige situatie (rechts).



Figuur 1.1: Huidige situatie (links) en toekomstige situatie (rechts) van locatie Spoorweglaan 19 te Etten-Leur

Het doel van het onderzoek is om te bepalen of de trillingen als gevolg van het treinverkeer kunnen leiden tot hinder voor personen bij de toekomstige gebouwfunctie wonen. In eerste instantie worden daarbij ter referentie trillingsmetingen verricht en het bestaande pand.

Bij de uitvoering van de trillingsmetingen en de beoordeling van de gemeten trillingssterkte is gebruik gemaakt van de SBR meet- en beoordelingsrichtlijn deel B "Trillingen; hinder voor personen in gebouwen" uit 2006 (SBR-B). De SBR-B geeft streefwaarden voor de trillingssterkte in gebouwen ter voorkoming van hinder voor personen. Deze richtlijn is algemeen geaccepteerd ter beoordeling van de trillingen.

Voorliggende rapportage beschrijft de uitgangspunten van het onderzoek, de meetresultaten en de beoordeling van de trillingen.

## 2 Uitgangspunten

### 2.1 Opzet onderzoek

Voor de onderzoeksopzet is gekozen voor een combinatie van bemande en onbemande metingen. Daarbij is ter beoordeling van de te verwachten trillingen in de nieuwbouw, het huidige gebouw als referentie gehanteerd. Verwacht mag worden dat de trillingsniveaus in de nieuwbouw vergelijkbaar zullen zijn. Bij de beoordeling van de resultaten (hoofdstuk 5.3) wordt hier nader op ingegaan.

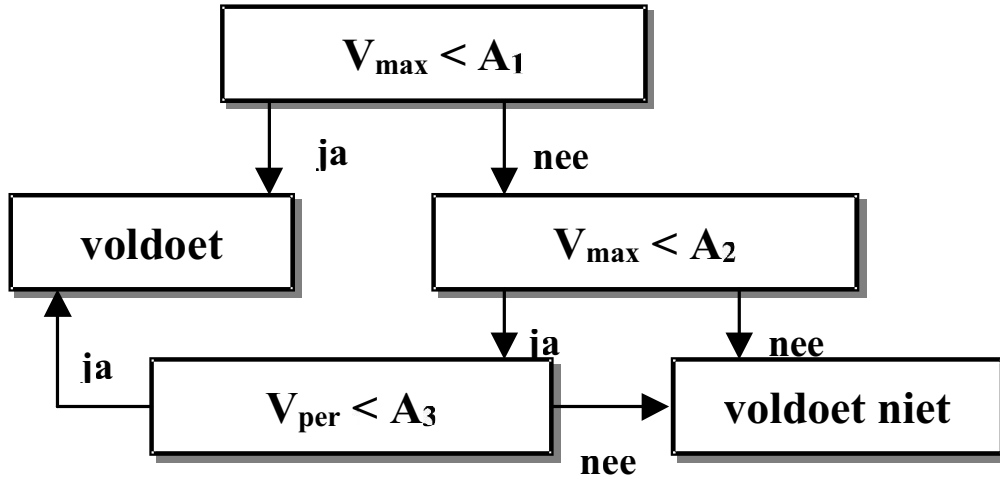
Conform de aanwijzingen in de SBR-B, zijn gedurende één week, van 25 oktober tot 1 november 2022, de trillingsniveaus vastgelegd. Gedurende de gehele periode is daarbij onbemand gemeten op een vijftal meetpunten. Bij de start van de metingen is gedurende enkele uren een bemande meting uitgevoerd om de kenmerken van de trillingen van de treinpassages te bepalen. Hiermee is onderscheid gemaakt tussen treintrillingen en stoortrillingen die bijvoorbeeld veroorzaakt worden door gebruikers en bezoekers van het gebouw.

Er is gedurende een week op maaiveld gemeten, in lijn met de dichtstbijzijnde evenwijdige gevel, op het twee punten op het fundament van het gebouw en op het midden van een tweetal vloervelden.

Bij het eind van de metingen is nog een bemande meting uitgevoerd om gedurende een korte tijd de trillingsniveaus vast te leggen in een tweetal ruimten van het kinderdagverblijf. Deze ruimten zijn relevant omdat ze in de vleugel het dichtst bij het spoor liggen. Er kon op die posities geen weekmeting worden uitgevoerd omdat enerzijds de metingen zouden worden verstoord door het gebruik van de ruimten en anderzijds omdat de meetopstelling (met een sensor in het midden van de ruimte) het gebruik ervan door het kinderdagverblijf zou verstören.

### 2.2 Toetsingskader

Voor de beoordeling van de gemeten trillingssterkte is gebruik gemaakt van SBR richtlijn deel B. De beoordeling vindt plaats op basis van twee parameters namelijk  $V_{max}$  en  $V_{per}$ . De parameter  $V_{max}$  staat voor de maximale gewogen trillingssnelheid binnen een beoordelingsperiode (dag, avond en nacht). Parameter  $V_{per}$  staat voor de gemiddelde trillingssnelheid over een beoordelingsperiode.  $V_{max}$  (en eventueel  $V_{per}$ ) worden op basis van metingen vastgesteld en vervolgens getoetst. De toetsing vindt plaats op basis van navolgend schema.



Uit het schema volgt dat  $V_{max}$  eerst getoetst wordt aan  $A_1$  en  $A_2$  alvorens  $V_{per}$  wordt bepaald en getoetst aan  $A_3$ .  $A_1$  is de onderste streefwaarden. Als  $V_{max}$  kleiner is dan  $A_1$  dan is verdere beoordeling niet nodig en wordt voldaan aan SBR-B. Een verdere toetsing is dan niet nodig.

$A_2$  is de bovenste streefwaarde. Als  $V_{max}$  niet voldoet aan  $A_2$  dan wordt niet aan SBR-B voldaan.

$A_3$  is de streefwaarde voor  $V_{per}$ , de gemiddelde trillingssterkte over een beoordelingsperiode. Als  $V_{max}$  groter is dan  $A_1$  maar kleiner dan  $A_2$  en  $V_{per}$  voldoet aan  $A_3$  dan voldoet de trillingssterkte ook aan SBR-B. Als  $V_{per}$  groter is dan  $A_3$ , dan wordt niet voldaan aan de SBR-B.

Conform SBR-B geldt dat indien de streefwaarden worden overschreden, dit de aanleiding dient te zijn tot overleg tussen de betrokken partijen. Afhankelijk van de omstandigheden kan vervolgens een afweging worden gemaakt of de te beoordelen trillingssterkte al dan niet acceptabel is.

De toetsingwaarden voor  $A_1$ ,  $A_2$  en  $A_3$  zijn afhankelijk van de functie van een bouwwerk, het type trilling, de situatie en het tijdstip waarop de trillingen voorkomen. Voor de functie van het gebouw wordt uitgegaan van de toekomstige situatie met woonfunctie. De trillingen zijn afkomstig van railverkeer en worden daarom geklassificeerd als herhaald voorkomend. De trillingen komen zowel in de dag- (07.00-19.00 uur), avond- (19.00-23.00 uur) als in de nachtperiode (23.00-07.00 uur) voor.

Bij de beoordeling van hinder door weg- en railverkeer maakt de SBR-B onderscheid in nieuwe situaties en bestaande situaties. Bij bestaande situaties zijn de streefwaarden hoger omdat na enige gewenning geen hinder meer wordt ervaren van de aanwezige trillingsniveaus.

In bestemmingsplannen waar sprake is van trillingen door spoorwegverkeer, wordt in het algemeen naar de SBR-B verwezen ter beoordeling van de hinder. Het is daarbij gebruikelijk om in eerste instantie te vereisen dat voldaan moet worden aan de streefwaarden voor nieuwe situaties, maar dat daarvan afgeweken mag worden als wel wordt voldaan aan de streefwaarden voor bestaande situaties én als trillingsreducerende maatregelen worden getroffen die kosteneffectief en doelmatig zijn. Ter onderbouwing van de wijziging voor het bestemmingsplan wordt aan zowel de streefwaarden voor nieuwe situaties, als aan de streefwaarden voor bestaande situaties getoetst. Onderstaande tabel 2.1 geeft de te hanteren streefwaarden weer.

Tabel 2.1: SBR-B streefwaarden voor  $V_{max}$  en  $V_{per}$  ter voorkoming van trillingshinder

<b>Gebouwfunctie</b>	<b>Dag-/avondperiode</b>			<b>Nachtperiode</b>		
	<b>A<sub>1</sub></b>	<b>A<sub>2</sub></b>	<b>A<sub>3</sub></b>	<b>A<sub>1</sub></b>	<b>A<sub>2</sub></b>	<b>A<sub>3</sub></b>
Wonen, nieuwe situaties	0,1	0,4	0,05	0,1	0,2	0,05
Wonen, bestaande situaties	0,2	0,8	0,1	0,2	0,4	0,1

Uit tabel 2.1 volgt dat de nachtperiode maatgevend is voor de beoordeling van de trillingen. De A<sub>2</sub> streefwaarde is in deze periode het laagst en bedraagt 0,2 bij nieuwe situaties en 0,4 voor bij bestaande situaties.

### 3 Trillingsmetingen

#### 3.1 Algemeen

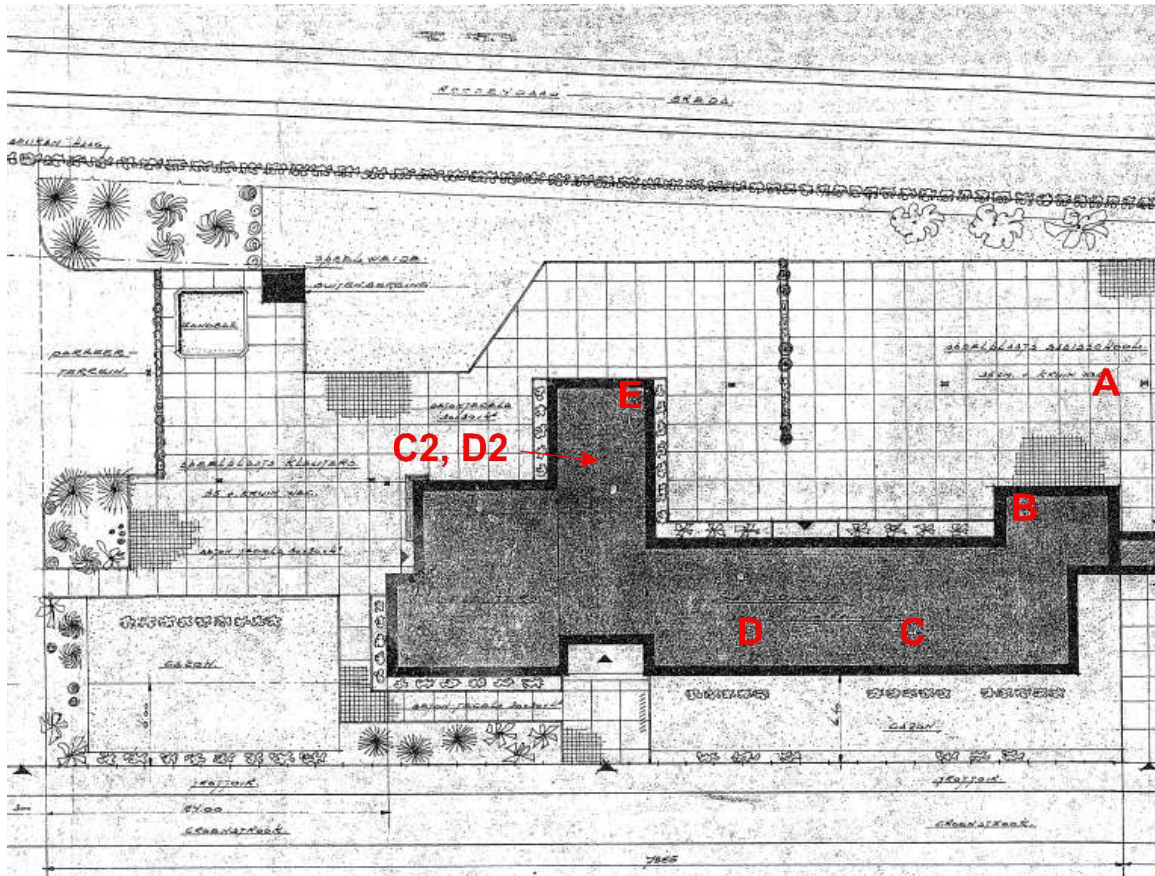
De trillingsmetingen zijn uitgevoerd van 25 oktober 2022 tot en met 1 november 2022. Bij de bemande en onbemande metingen is gebruik gemaakt van de volgende meetapparatuur:

- 5x Syscom Red Box trillingsmonitor MR3000TR.
- 5x triaxial Syscom trillingsopnemer MS2003+ (trillingssnelheid).

Alle trillingsmeters worden onderhouden op basis van het kwaliteitssysteem van Cauberg Huygen B.V. en zijn op basis van vier internet timeservers gesynchroniseerd in tijd.

#### 3.2 Meetposities

Meetpunt A is geplaatst op het maaiveld. De meetpunten B & E zijn bij de hoeken van fundering geplaatst. Tot slot zijn twee meetpunten geplaatst op het midden van het vloerveld van de vleugel evenwijdig aan het spoor, C op de begane grond en D op de eerste verdieping. Deze meetpunten zijn aan het einde van de meetperiode verplaatst naar punten C2 en D2 ter plaatse van de vleugel haaks op, en het dichtst bij het spoor. In figuur 3.1 is een overzicht gegeven van de meetpunten. In bijlage II zijn foto's opgenomen van de geplaatste sensoren.



Figuur 3.1: Overzicht van de meetpunten

Op ieder meetpunt is de trillingssnelheid in drie richtingen gemeten:

- Horizontaal dwars op het spoor (de X-richting).
- Horizontaal evenwijdig aan het spoor (de Y-richting).
- Verticaal (de Z-richting).

### 3.3 Meetparameters

Elke 30 seconde is de trillingssterkte  $v_{eff,max,30,i}$  bepaald en vastgelegd. Dit is de hoogste effectieve trillingssterkte gemeten in de meterstand “fast”, waarbij de frequentieweging volgens de SBR-B wordt toegepast. Daarnaast zijn tijdsignalen opgeslagen van treinpassages waarvan de trillingssterkte een vooraf ingestelde drempelwaarde overschreed.

### 3.4 Treinen

Tijdens de bemande trillingsmetingen is vastgesteld dat dagelijks sprinters en intercity's (type Flirt, DDZ, VIRM, ICM en ICR) over het traject rijden. Daarnaast passeren er regelmatig goederentreinen met diverse ladingen (auto's, containers, ketels en kolenwagens). De intercity's stoppen bij het station, terwijl de goederentreinen op volle snelheid langs de meetlocatie rijden.

## 4 Meetresultaten

### 4.1 Bemande meting

Op 25 oktober 2022 is de bemande meting overdag uitgevoerd. Daarbij is tussen 12:45 en 15:15 het type trein genoteerd samen met het nummer van de gereden spoor en de trillingssterkte  $v_{eff,max}$  gemeten op maaiveld. Het type trein is aangegeven met GT (goederentrein), sprinter of IC (intercity). De letter x, y of z geeft de dominante trillingsrichting aan. Het resultaat van de bemande metingen is te zien in tabel 4.1. De hoogste waarde per meetpunt is geel gemarkeerd.

Tabel 4.1: Resultaten van de bemande meting 25 oktober

Tijdstip	Treintype	$v_{eff,max}$ meetpunt A		$v_{eff,max}$ meetpunt B		$v_{eff,max}$ meetpunt C		$v_{eff,max}$ meetpunt D		$v_{eff,max}$ meetpunt E	
12:56	GT	0,15	Z	0,09	Z	0,09	Z	0,13	Z	0,11	Z
13:07	IC	0,08	Z	0,01	Z	0,01	Z	0,01	Z	0,02	Z
13:20	GT	0,18	Z	0,06	Z	0,05	Z	0,09	Z	0,06	Z
13:21	IC	0,05	Y	0,00		0,01	Z	0,05	X	0,01	Z
13:26	GT	0,16	Y	0,05	Z	0,05	Z	0,07	X	0,08	Z
13:36	IC	0,02	Z	0,01	Z	0,01	Z	0,02	Y	0,02	Z
13:52	IC	0,01	X	0,01	Z	0,01	Z	0,05	X	0,01	Z
14:05	GT	0,13	Z	0,05	Z	0,01	Z	0,08	X	0,06	Z
14:21	IC	0,01	X	0,02	Y	0,01	Z	0,00	Z	0,01	Z
14:33	GT	0,24	Y	0,05	Z	0,04	Z	0,06	Y	0,06	Z
14:51	IC	0,01	X	0,01	Z	0,01	Z	0,02	Z	0,01	Z
14:55	GT	0,35	Y	0,07	Z	0,03	Z	0,08	Z	0,08	Z

De hoogst gemeten trillingssterkte  $v_{eff,max}$  bedroeg 0,35, in de horizontale trillingsrichting, bij meetpunt A op het maaiveld. Deze trilling is veroorzaakt door een goederentrein. De passage met het hoogste niveau op het vloerveld is 0,13 ter plaatse van meetpunt D op de eerste verdieping, ook veroorzaakt door een goederentrein.

Op 1 november is een aanvullende bemande meting uitgevoerd waarbij de meetpunten C en D zijn verplaatst naar de vleugel haaks op het spoor. Zie voor de meetpunten C2 en D2 in figuur 3.1. De meting is uitgevoerd tussen 17:45 en 19:45. De meetresultaten zijn samengevat in navolgende tabel 4.2. Ook hier is de hoogste waarde per meetpunt geel gemarkeerd.



Uit de onbemande meting blijkt dat de hoogst gemeten trillingssterkte  $V_{max}$  0,46 bedraagt in de verticale trillingsrichting ter plaatse van meetpunt A op het maaiveld. Deze trillingssterkte is gemeten tijdens een passage op 26 oktober 2022 om 00:34. De passage met het hoogste trillingssterkte  $V_{max}$  op het vloerveld is 0,21 ter plaatse van meetpunt D in horizontale richting op 31 oktober om 05:58. Dit meetpunt bevindt zich op de eerste verdieping.

#### 4.3 Bespreking van de resultaten

De meting op punten C2 en D2 was bedoeld om zonder verstoring een indruk te verkrijgen van de trillingssterkte in de vleugel het dichtst bij het spoor. De heersende trillingsniveaus blijken daarbij slechts bij één treinpassage relevant te zijn geweest. Bij alle andere gemeten passages zijn de niveaus lager dan 0,1 en niet relevant voor de beoordeling hinder.

Op basis van de ene passage die relevant is (goederentrein) blijkt dat de overdracht van trillingen vanaf het fundament (meetpunt E) een factor 1,0 bedraagt naar zowel de begane grond vloer als naar de verdiepingsvloer. Uit de weekmeting op punt E op het fundament, blijkt dat er in totaal 3 treinpassages zijn geweest die sterkere trillingen hebben veroorzaakt dan in de bemande meting. De hoogst gemeten trillingssterkte bedraagt er 0,19. Hoewel er kort is gemeten op de vloeren in de vleugel (C2 en D2), kan op basis hiervan indicatief geconcludeerd worden dat de meetresultaten er niet op duiden dat sprake is van veel sterkere trillingen dan gemeten op punt E op het fundament. Ter indicatie van de trillingssterkte op de vloeren, wordt daarom meetpunt E meegenomen bij de toetsing aan de streefwaarden.

## 5 Beoordeling

### 5.1 Beoordeling $V_{max}$

In tabel 5.1 zijn de meetresultaten voor de meetpunten C en D weergegeven. Deze meetpunten liggen op het midden van het vloerveld en er is gedurende een week gemeten. Daarnaast is de trillingssterkte gemeten op meetpunt E weergegeven ter indicatie van de verwachte trillingsniveaus op meetpunten C2 en D2 in de vleugel het dichtst bij het spoor. Deze laatste waarden moeten als indicatief worden gezien vanwege het beperkt aantal treinen waarvoor de overdracht vanaf het fundament is gemeten.

De eerste beoordeling van de trillingssterkte  $V_{max}$  vindt plaats op basis van de bovenste streefwaarde namelijk  $A_2$ . Als deze waarde wordt overschreden is een verdere beoordeling niet nodig omdat er dan niet wordt voldaan aan de streefwaarden uit SBR-B. De  $A_2$  streefwaarde voor nieuwe situaties bedraagt 0,2 in de nachtperiode en 0,4 in de dag- en avondperiode. Voor de bestaande situatie bedraagt  $A_2$  0,4 in de nachtperiode en 0,8 in de dag- en avondperiode.

De beoordeling is weergegeven in kleuren:

#### $V_{max}$ kleiner $A_2$ nieuwe situatie:

Er wordt voldaan aan de SBR-B en aan de gebruikelijke eisen in het bestemmingsplan. Er is geen sprake van trillingshinder

#### $V_{max}$ groter dan $A_2$ nieuwe situatie en kleiner dan $A_2$ bestaande situatie:

Er wordt onder voorwaarden voldaan aan de SBR-B en de gebruikelijke eisen in het bestemmingsplan.

De trillingen moeten zoveel als mogelijk worden gereduceerd maar de resterende mate van hinder is beperkt en acceptabel.

#### $V_{max}$ groter dan $A_2$ bestaande situaties:

Er kan onder voorwaarden worden voldaan aan SBR-B maar niet aan de gebruikelijke eisen in bestemmingsplannen. Er moeten aanvullende maatregelen worden getroffen ter reductie van trillingen.

Tabel 5.1: Beoordeling  $V_{max}$

	$V_{max}$		
	Nachtperiode	Dagperiode	Avondperiode
<b><math>A_2</math> streefwaarde nieuw / bestaand</b>	<b>0,2 / 0,4</b>	<b>0,4 / 0,8</b>	<b>0,4 / 0,8</b>
<b>Meetpunt C</b>	0,11	0,12	0,11 en 0,14 <sup>1)</sup>
<b>Meetpunt D</b>	0,21	0,17	0,16
<b>Meetpunt C2 en D2 <sup>2)</sup></b>	0,19	0,16	0,15

<sup>1)</sup> gemeten tijdens de bemande meting op 1 november

<sup>2)</sup> Indicatief op basis van meetpunt E (fundament)

Uit tabel 5.1 blijkt dat voor meetpunt D de hoogste maximale trillingssterkte  $V_{max}$  niet voldoet aan de streefwaarde  $A_2$  (0,2) voor nachtperiode in nieuwe situaties, maar wel ruimschoots voldoet aan  $A_2$  (0,4) voor bestaande situaties en ook aan de  $A_2$  (0,4) streefwaarden voor de dag en avondperiode in nieuwe situaties. De trillingssterkte voldoet op meetpunten C, C2 en D2 direct aan de strengste streefwaarde  $A_2$  (0,2) voor nieuwe situaties in de nachtperiode.

De  $V_{max}$  waarden zijn bij nieuwe situaties voor alle meetpunten hoger dan de  $A_1 (0,1)$  streefwaarde voor nieuwe situaties. Daarom moet voor de uiteindelijke beoordeling ook de gemiddelde trillingssterkte  $V_{per}$  worden getoetst. Bij beoordeling op basis van de streefwaarden voor bestaande situaties ( $A_1=0,2$ ) geldt dat alleen voor meetpunt D in de nachtperiode.

## 5.2 Beoordeling $V_{per}$

De gemiddelde trillingssterkte  $V_{per}$  is berekend voor de dag-, avond- en nachtperiode. Bij de berekening van  $V_{per}$  zijn conform SBR-B alleen die passages meegenomen met een  $v_{eff,max}$  van 0,1 of hoger. De hoogste waarden voor  $V_{per}$  zijn per periode weergegeven in tabel 5.2.

Tabel 5.2: Beoordeling  $V_{per}$

	$V_{per}$		
	Nachtperiode	Dagperiode	Avondperiode
<b><math>A_3</math> streefwaarde nieuw / bestaand</b>	<b>0,05 / 0,1</b>	<b>0,05 / 0,1</b>	<b>0,05 / 0,1</b>
<b>Meetpunt C</b>	0,01	0,04	0,01
<b>Meetpunt D</b>	0,01	0,02	0,01
<b>Meetpunt C2 en D2 <sup>1)</sup></b>	0,01	0,02	0,01

<sup>1)</sup> Indicatief op basis van meetpunt E (fundament)

Uit tabel 5.2 blijkt dat de gemiddelde trillingssterkte  $V_{per}$  op alle meetpunten voldoet aan de streefwaarde  $A_3$  in de dag-, avond- en nachtperiode voor nieuwe (en bestaande) situaties. Ook de indicatief verwachte  $V_{per}$  in de vleugel het dichtst op het spoor (C2 en D2, bepaald op basis van het meetpunt op het fundament) voldoet ruimschoots aan de  $A_3$  streefwaarde.

## 5.3 Toekomstige situatie

Ter beoordeling van de kans op trillingshinder is in het huidige gebouw gemeten en zijn de daar optredende trillingsniveaus getoetst aan de SBR-B streefwaarden. De trillingsniveaus in het toekomstige gebouw zullen afwijken van die in het huidige gebouw. Als het nieuwe gebouw op relevante punten vergelijkbaar is met het huidige gebouw, is een vergelijkbare trillingssterkte te verwachten. Typische relevante punten zijn daarbij: de afstand van het spoor, de afmeting van het gebouw, de wijze van funderen en de eigenfrequentie van vloeren in het gebouw. Op de eerste 3 punten is te verwachten dat sprake is van een vergelijkbare tot gunstige situatie voor de nieuwbouw. Op het vierde punt, de vloereigenfrequentie, is dat naar verwachting niet het geval. Op basis van de metingen is geconstateerd dat sprake is van een vloereigenfrequentie van circa 20 Hz. Dat is relatief hoog en te verwachten is dat bij een normale wijze van bouwen in de nieuwbouw sprake zal zijn van een lagere eigenfrequentie. Dat zal naar verwachting leiden tot een toename van trillingsniveaus waarbij een overschrijding van de streefwaarden voor bestaande situaties niet kan worden uitgesloten.

Aanbevolen wordt daarom:

- Zeker te stellen dat de eigenfrequentie van de vloeren hoger is dan 16 Hz, of
- Aanvullend onderzoek te doen naar te verwachten trillingsniveaus in de nieuwbouw volgens het geplande ontwerp en (indien nodig) alternatieve maatregelen te treffen om de trillingen te reduceren.

Verwacht wordt dat na maatregelen met grote zekerheid kan worden voldaan aan de SBR-B streefwaarden voor bestaande situatie en mogelijk (met aanvullende maatregelen) ook aan de SBR-B streefwaarden voor nieuwe situaties. Onder de voorwaarde dat aanvullend onderzoek plaats zal vinden, kan gesteld worden dat op de toekomstige locatie kan worden voldaan aan de toetsing conform SBR-B en dat daarmee sprake zal zijn van een goed woon- en leefklimaat ten aanzien van trillingshinder door spoorwegverkeer.

## 6 Conclusie

Het trillingsonderzoek dat is uitgevoerd ten behoeve van de ontwikkeling van een nieuw appartementencomplex aan de Spoorlaan 19 te Etten-Leur, leidt tot de volgende conclusies:

- In het huidige gebouw wordt ruimschoots aan de SBR-B streefwaarden voor bestaande situaties voldaan en nagenoeg aan de streefwaarden voor nieuwe situaties.
- Omdat in het huidige gebouw sprake is van relatief stijve vloeren met een relatief hoge eigenfrequenties, wordt in een nieuwbouw met een gebruikelijk ontwerp (waarin de vloeren slapper zijn), een hogere trillingssterkte verwacht die mogelijk de SBR-B streefwaarden voor bestaande situaties in beperkte mate overschrijdt.
- Overschrijding van de streefwaarden voor bestaande situaties, en beperking of voorkoming van overschrijding van de streefwaarden voor nieuwe situaties, kan worden voorkomen door aanvullend onderzoek uit te voeren waarmee:
  - Er voor gezorgd wordt dat de eerste eigenfrequentie van de vloeren hoger is dan 16 Hz, óf
  - Alternatieve maatregelen ter reductie van trillingen worden bepaald.
- Onder de voorwaarde dat aanvullend onderzoek plaats zal vinden, kan gesteld worden dat op de toekomstige locatie kan worden voldaan aan de toetsing conform SBR-B en dat daarmee sprake zal zijn van een goed woon- en leefklimaat ten aanzien van trillingshinder door spoorwegverkeer.

Cauberg Huygen B.V.



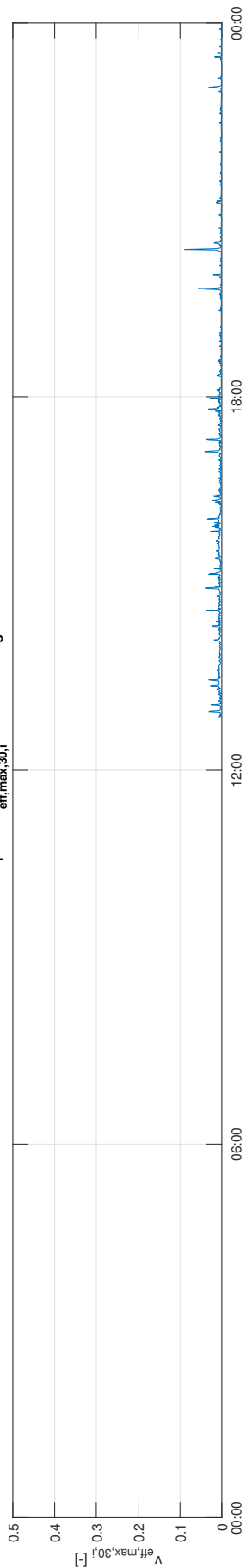
De heer ir. G.H.J. Busscher  
Senior adviseur

**Bijlage I      Meetresultaten**

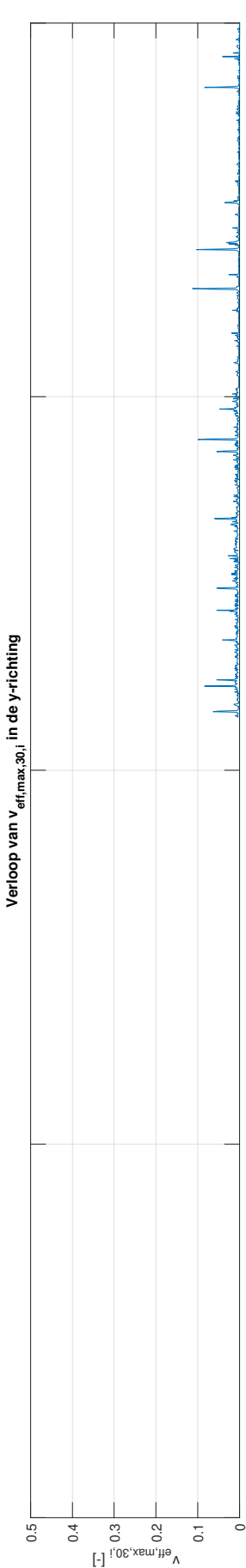
- Bijlage I-1      Verloop van  $v_{eff,max,30,i}$  tijdens de onbemande meting
- Bijlage I-2      SBR-B gewogen tertsbanden van de top10 gemeten passages
- Bijlage I-3      Top10 gemeten treinen per meetpunt

### Verloop van $v_{eff,max,30,i}$ gemeten bij background MT32 EttenLeur op 25-Oct-2022

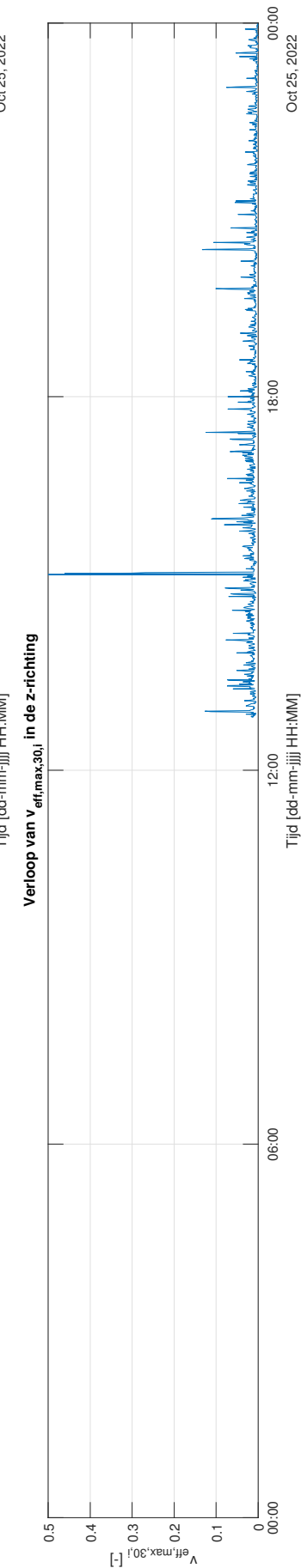
Verloop van  $v_{eff,max,30,i}$  in de x-richting



Verloop van  $v_{eff,max,30,i}$  in de y-richting

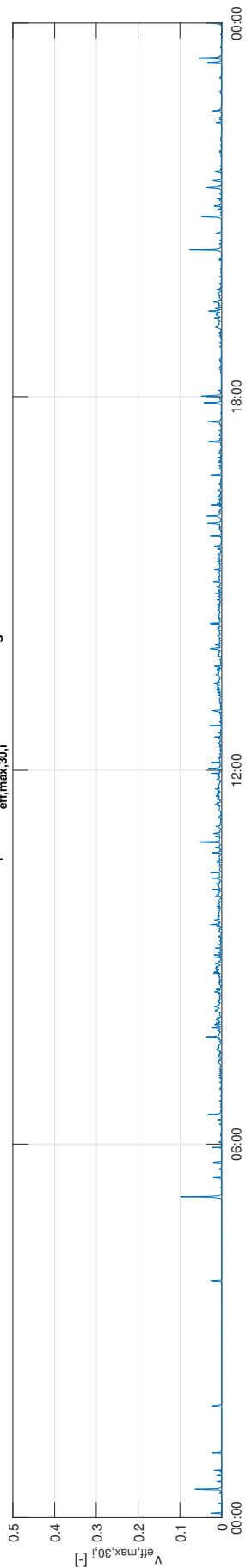


Verloop van  $v_{eff,max,30,i}$  in de z-richting

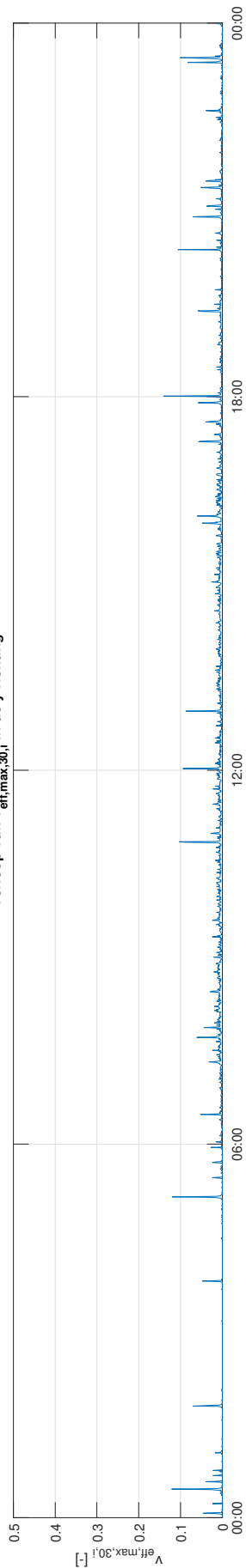


### Verloop van $v_{eff,max,30,i}$ gemeten bij background MT32 EttenLeur op 26-Oct-2022

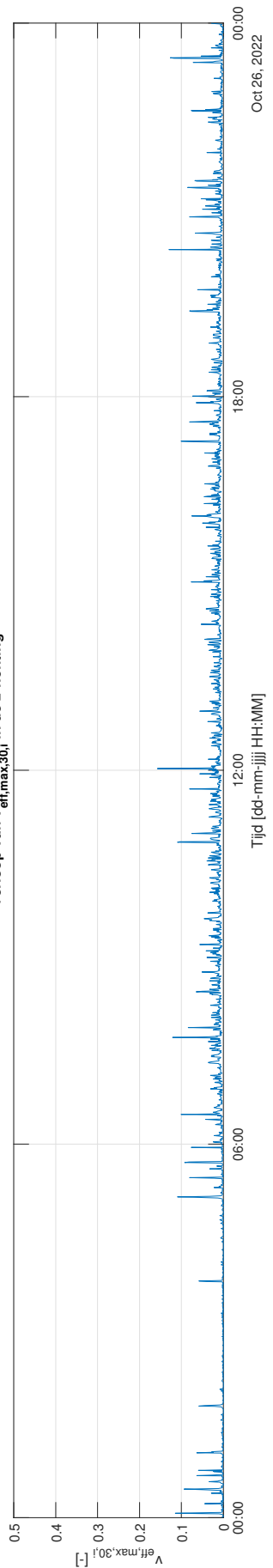
Verloop van  $v_{eff,max,30,i}$  in de x-richting



Verloop van  $v_{eff,max,30,i}$  in de y-richting

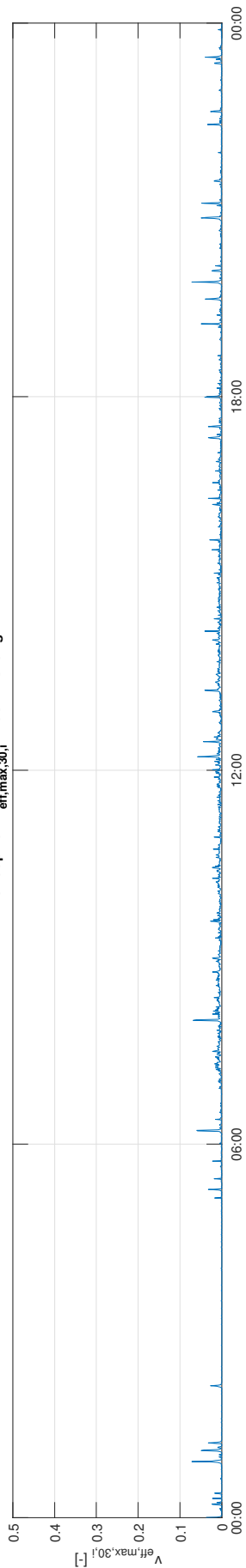


Verloop van  $v_{eff,max,30,i}$  in de z-richting

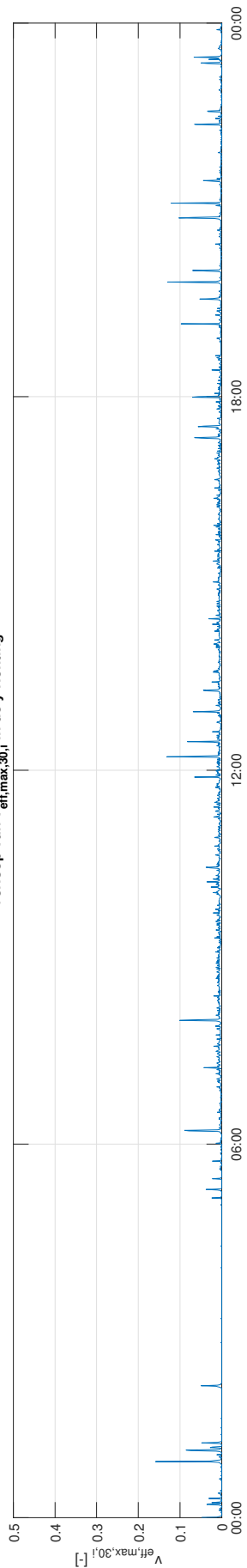


### Verloop van $v_{eff,max,30,i}$ gemeten bij background MT32 EttenLeur op 27-Oct-2022

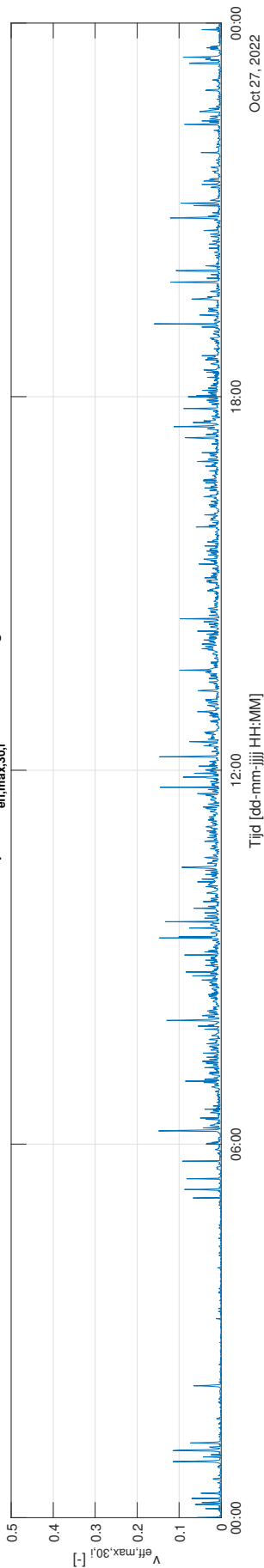
Verloop van  $v_{eff,max,30,i}$  in de x-richting



Verloop van  $v_{eff,max,30,i}$  in de y-richting

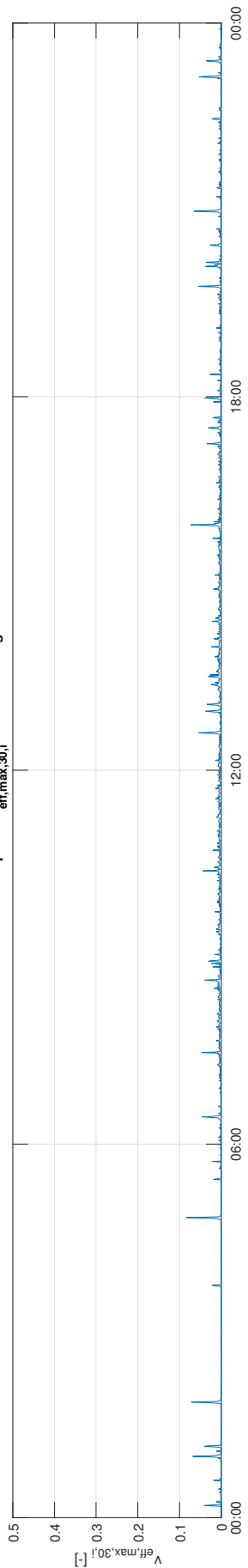


Verloop van  $v_{eff,max,30,i}$  in de z-richting

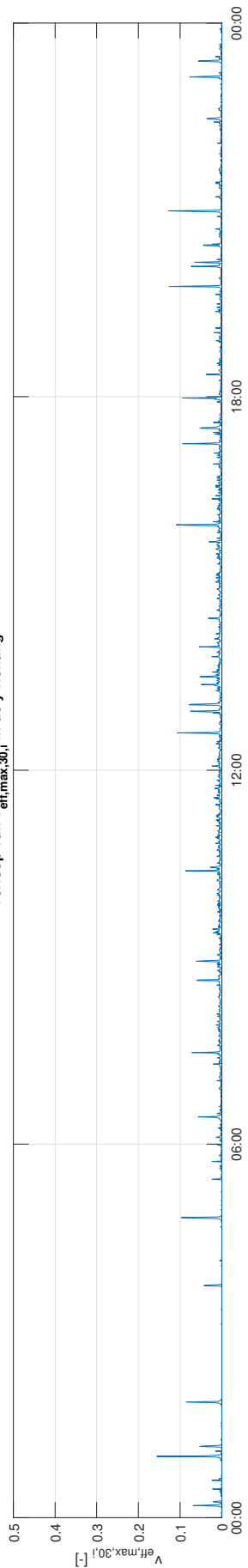


### Verloop van $v_{eff,max,30,i}$ gemeten bij background MT32 EttenLeur op 28-Oct-2022

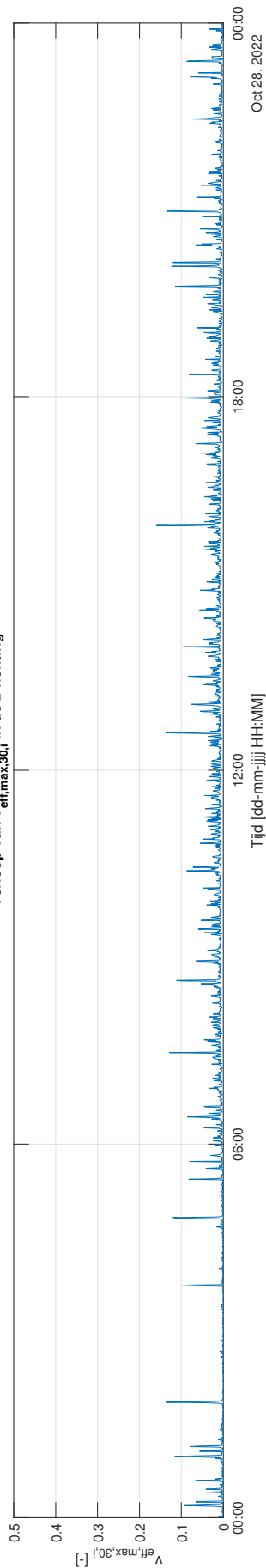
Verloop van  $v_{eff,max,30,i}$  in de x-richting



Verloop van  $v_{eff,max,30,i}$  in de y-richting

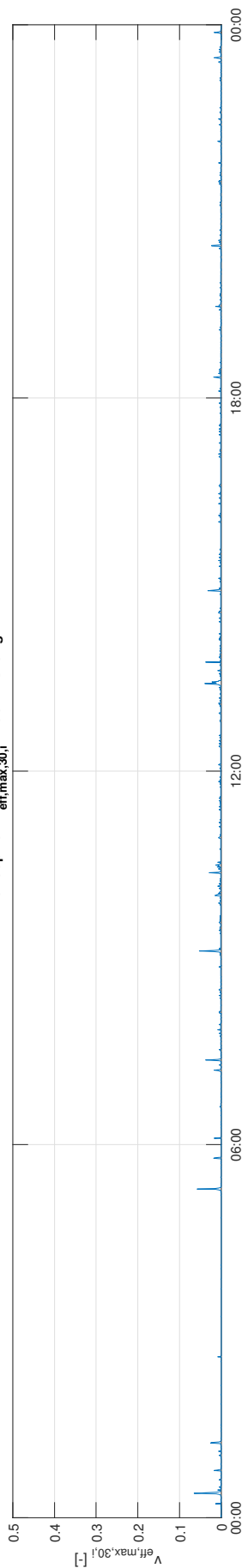


Verloop van  $v_{eff,max,30,i}$  in de z-richting

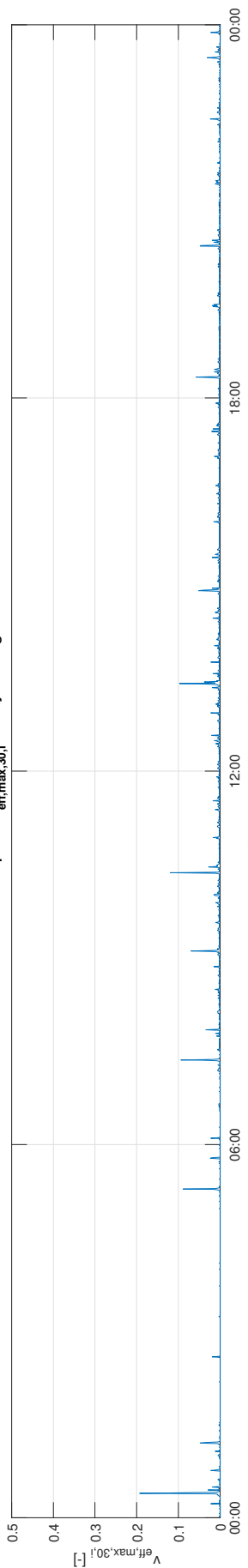


### Verloop van $v_{eff,max,30,i}$ gemeten bij background MT32 EttenLeur op 29-Oct-2022

Verloop van  $v_{eff,max,30,i}$  in de x-richting



Verloop van  $v_{eff,max,30,i}$  in de y-richting

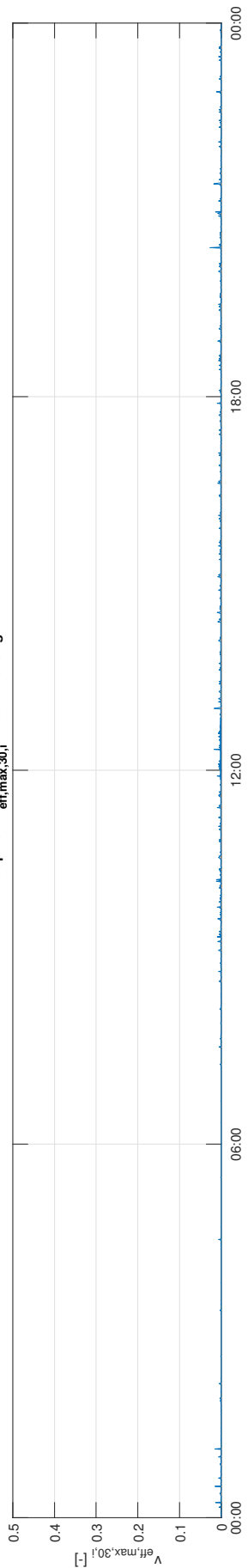


Verloop van  $v_{eff,max,30,i}$  in de z-richting

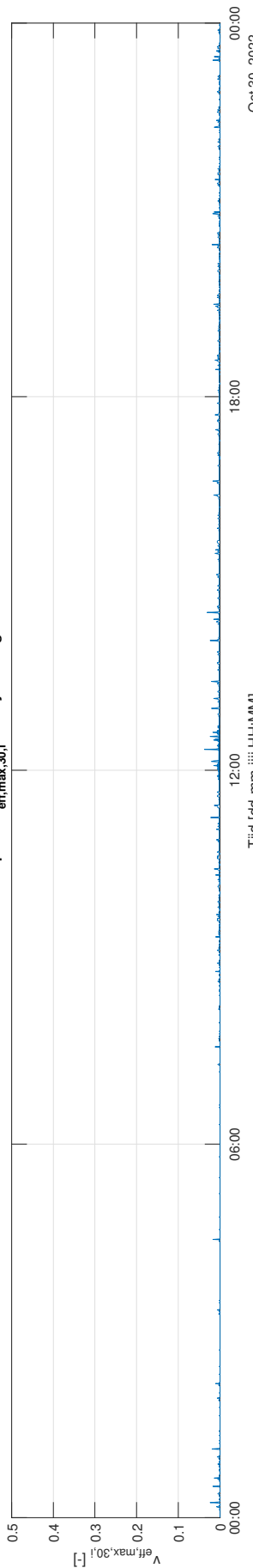


### Verloop van $v_{eff,max,30,i}$ gemeten bij background MT32 EttenLeur op 30-Oct-2022

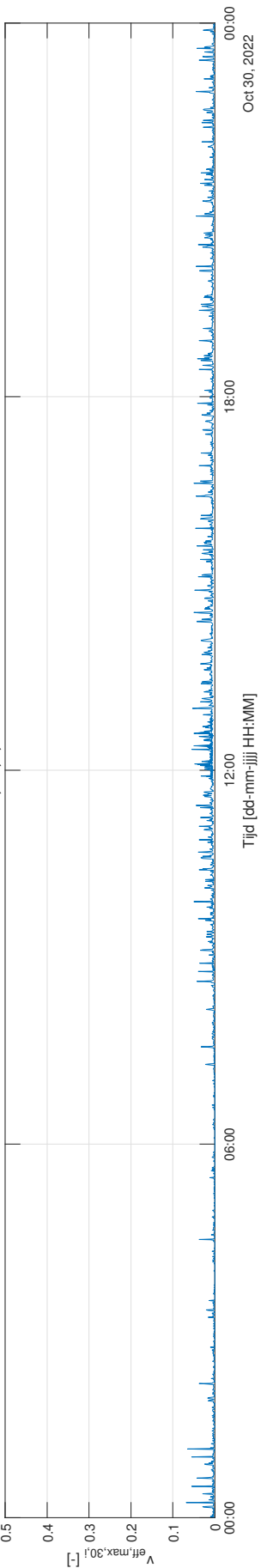
Verloop van  $v_{eff,max,30,i}$  in de x-richting



Verloop van  $v_{eff,max,30,i}$  in de y-richting

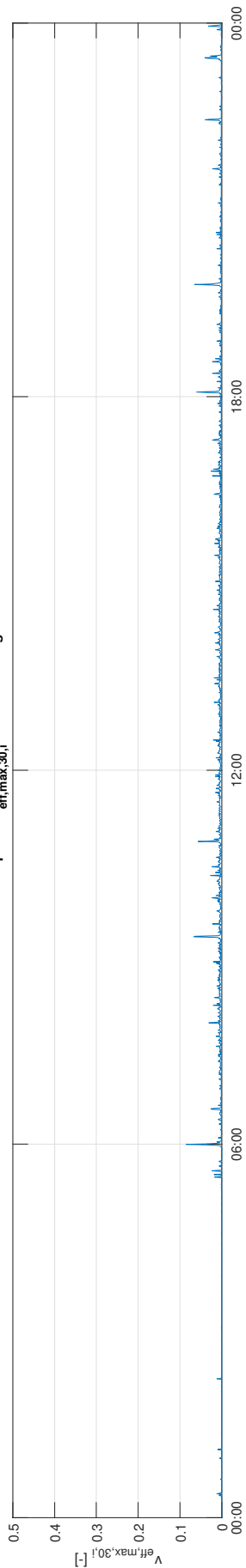


Verloop van  $v_{eff,max,30,i}$  in de z-richting

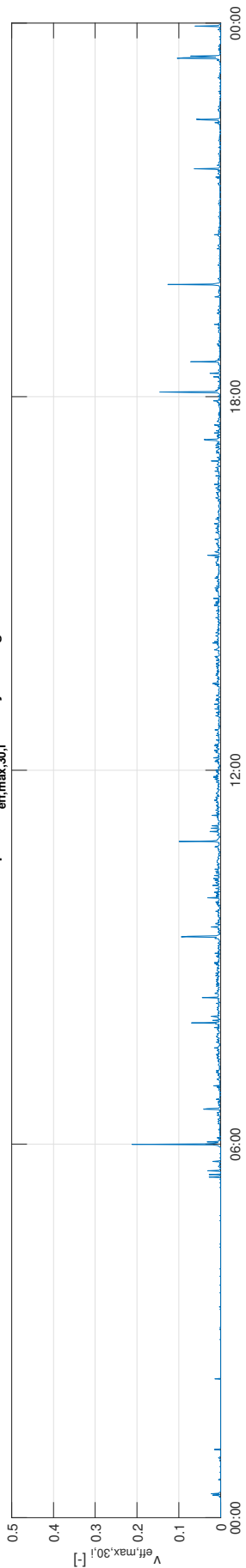


### Verloop van $v_{eff,max,30,i}$ gemeten bij background MT32 EttenLeur op 31-Oct-2022

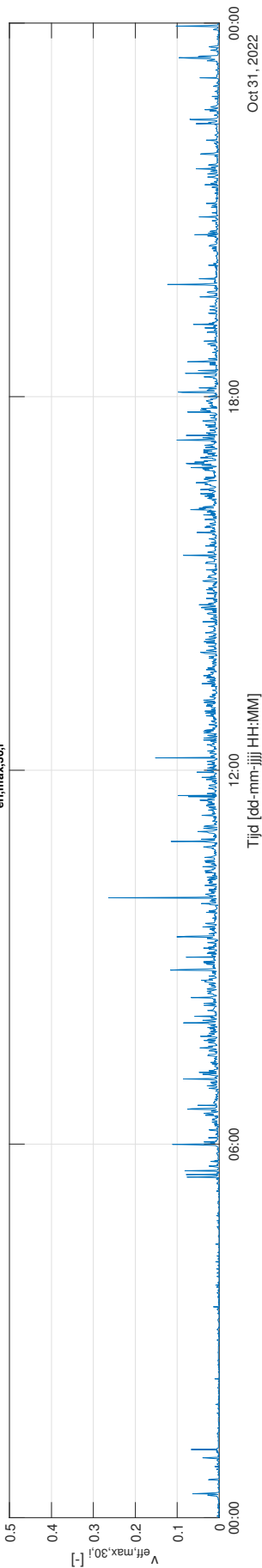
Verloop van  $v_{eff,max,30,i}$  in de x-richting



Verloop van  $v_{eff,max,30,i}$  in de y-richting

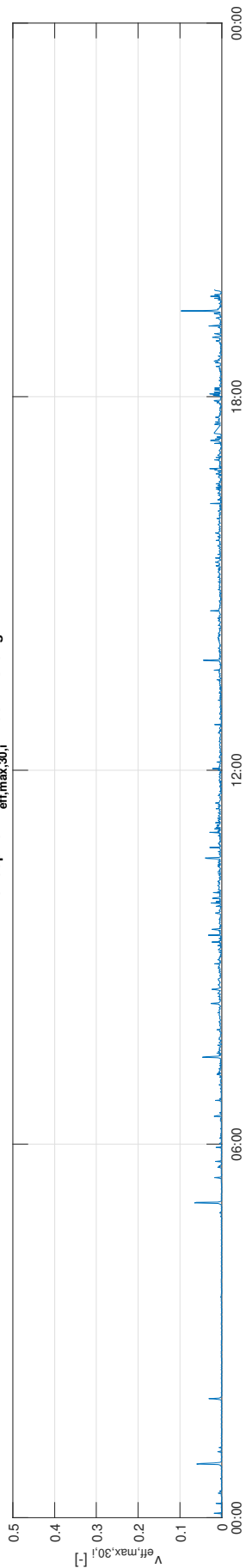


Verloop van  $v_{eff,max,30,i}$  in de z-richting

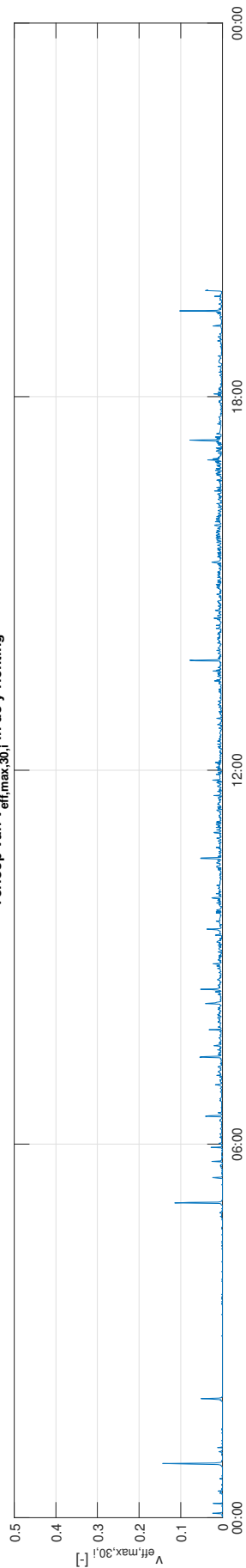


### Verloop van $v_{eff,max,30,i}$ gemeten bij background MT32 EttenLeur op 01-Nov-2022

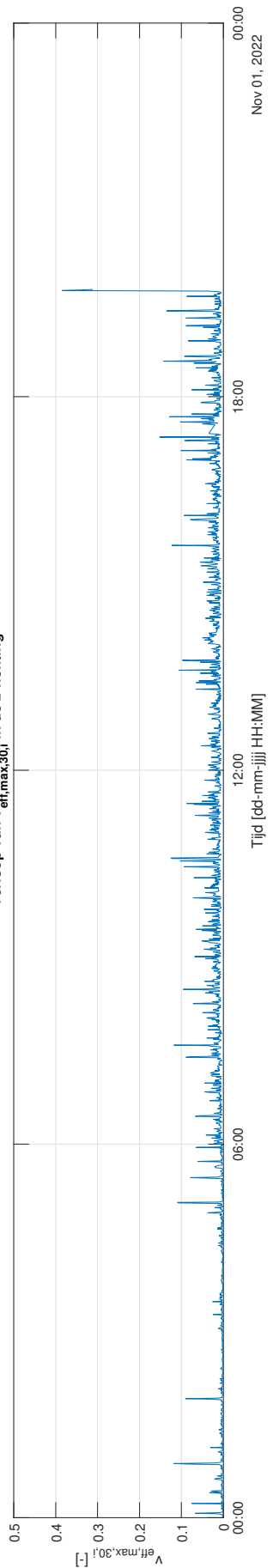
Verloop van  $v_{eff,max,30,i}$  in de x-richting



Verloop van  $v_{eff,max,30,i}$  in de y-richting

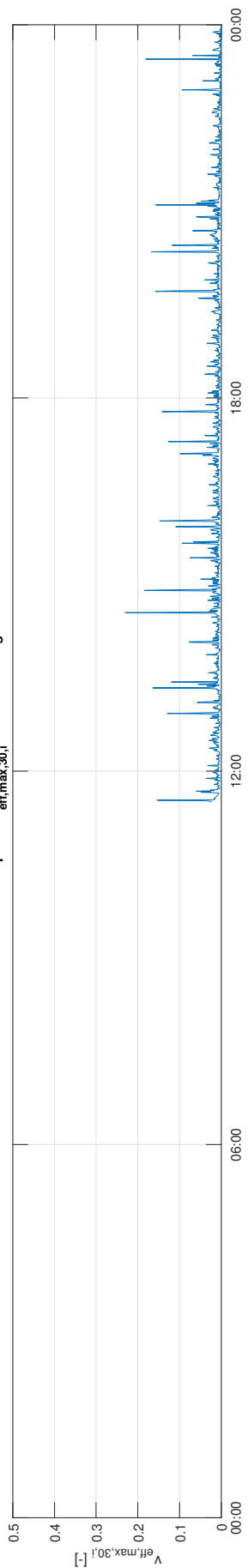


Verloop van  $v_{eff,max,30,i}$  in de z-richting

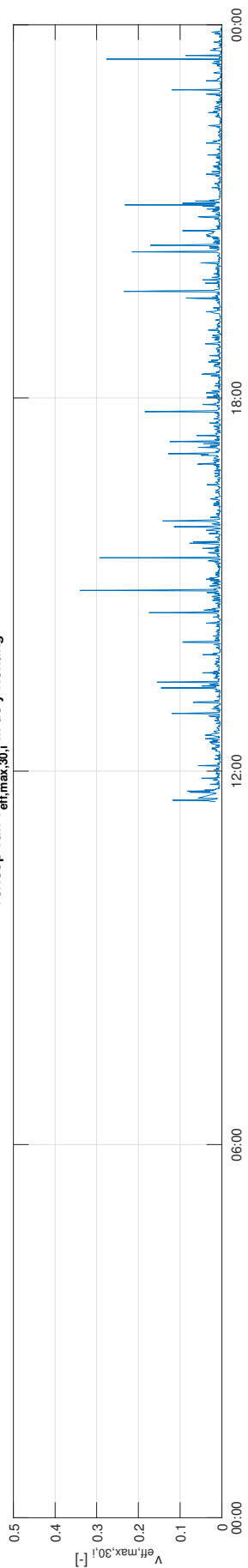


### Verloop van $v_{eff,max,30,i}$ gemeten bij background MT34 EttenLeur op 25-Oct-2022

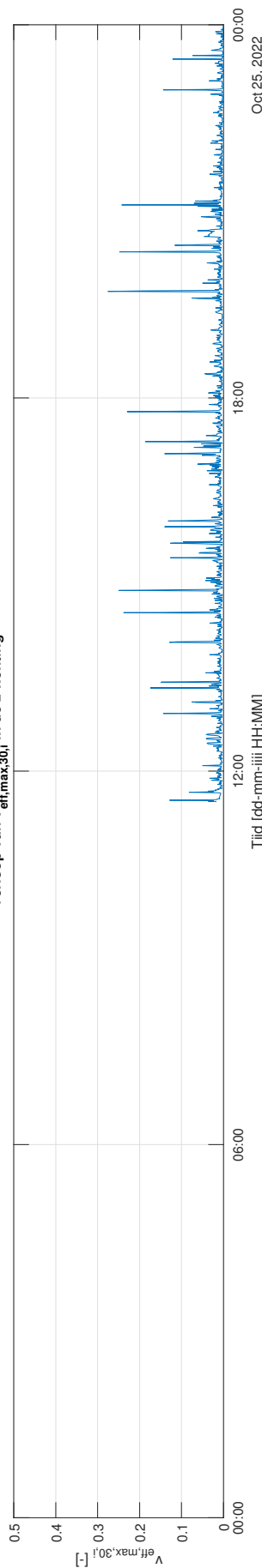
Verloop van  $v_{eff,max,30,i}$  in de x-richting



Verloop van  $v_{eff,max,30,i}$  in de y-richting

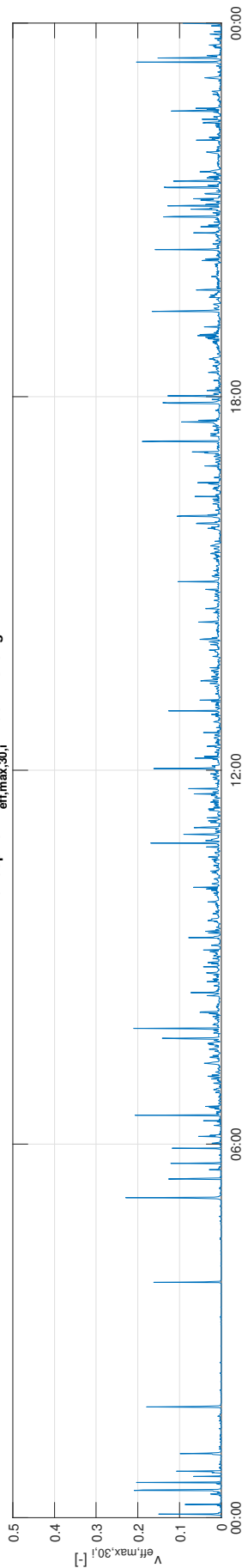


Verloop van  $v_{eff,max,30,i}$  in de z-richting

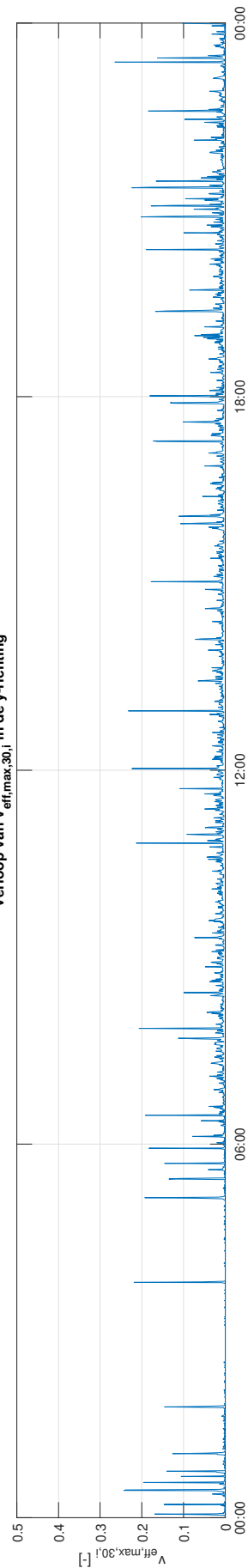


### Verloop van $v_{eff,max,30,i}$ gemeten bij background MT34 EttenLeur op 26-Oct-2022

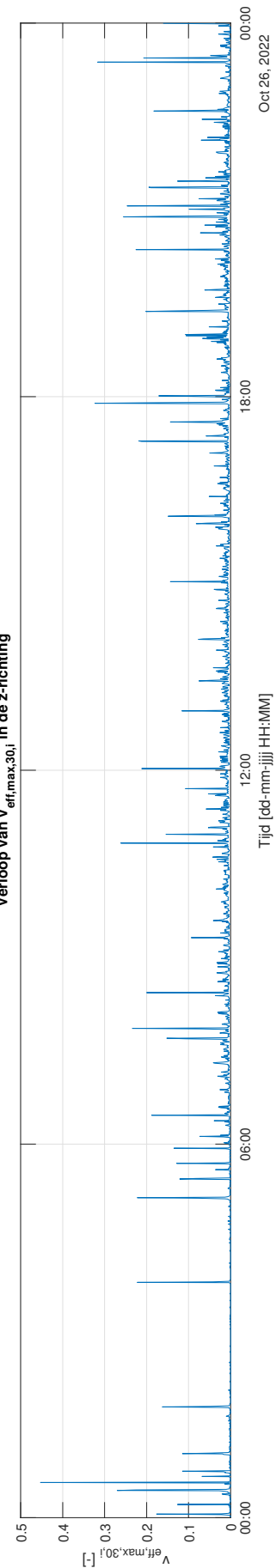
Verloop van  $v_{eff,max,30,i}$  in de x-richting



Verloop van  $v_{eff,max,30,i}$  in de y-richting

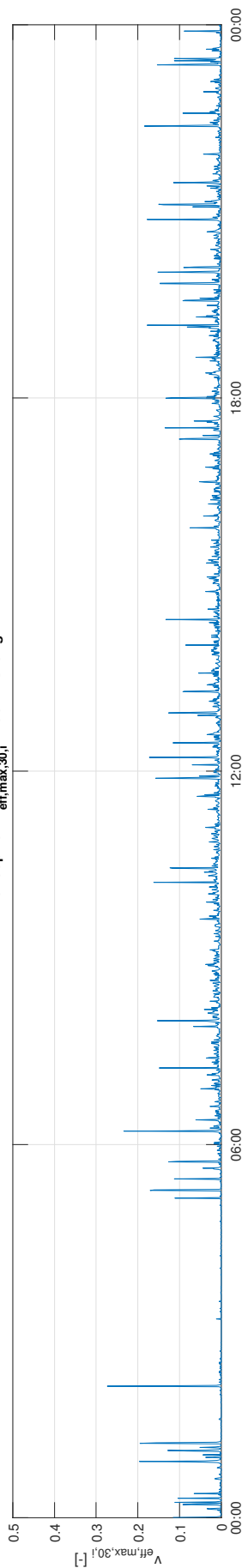


Verloop van  $v_{eff,max,30,i}$  in de z-richting

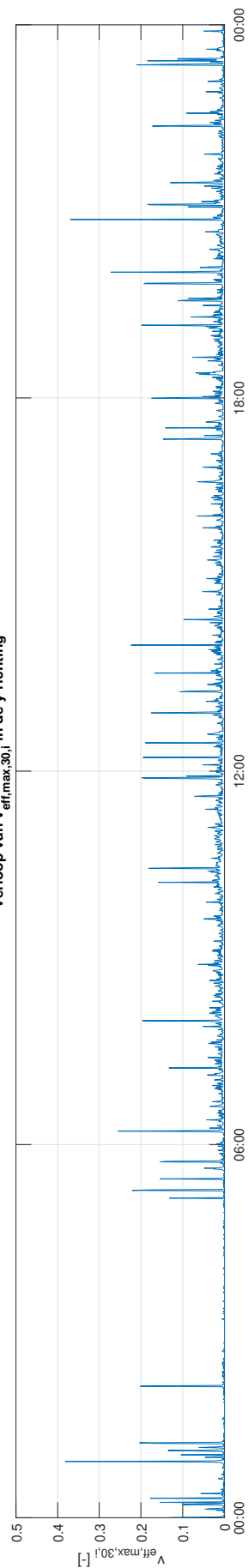


### Verloop van $v_{eff,max,30,i}$ gemeten bij background MT34 EttenLeur op 27-Oct-2022

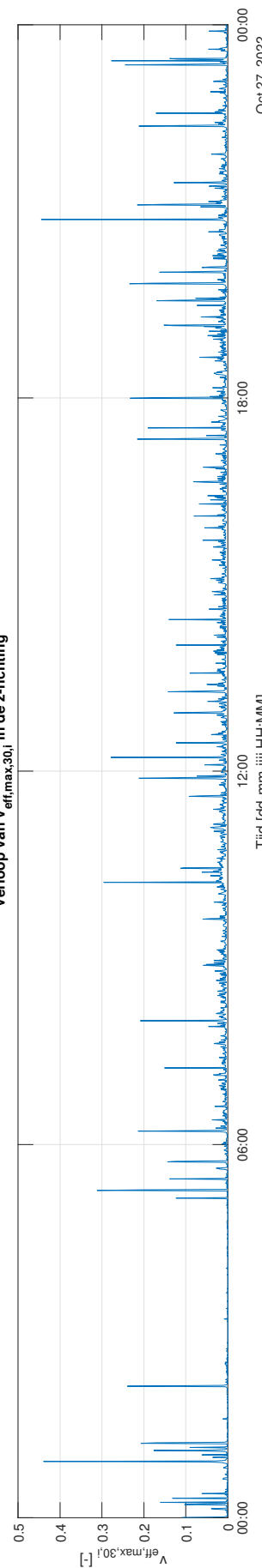
Verloop van  $v_{eff,max,30,i}$  in de x-richting



Verloop van  $v_{eff,max,30,i}$  in de y-richting

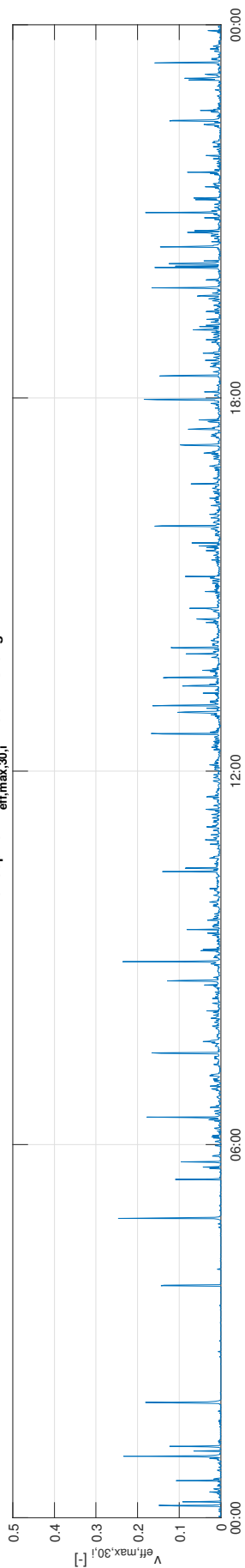


Verloop van  $v_{eff,max,30,i}$  in de z-richting

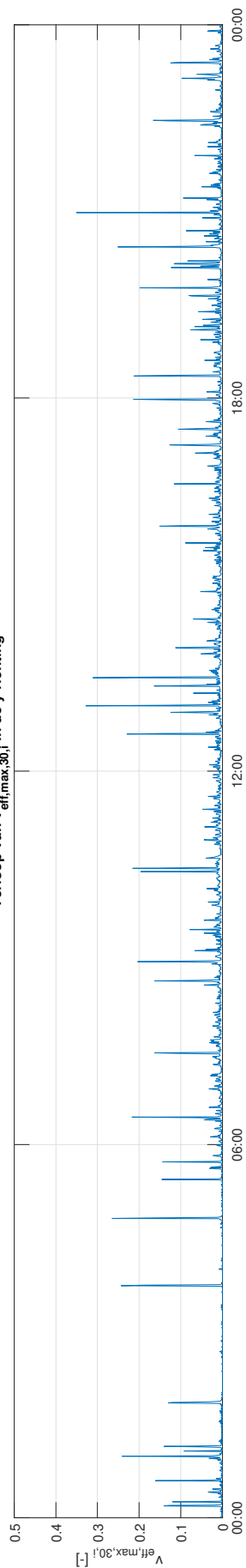


### Verloop van $v_{eff,max,30,i}$ gemeten bij background MT34 EttenLeur op 28-Oct-2022

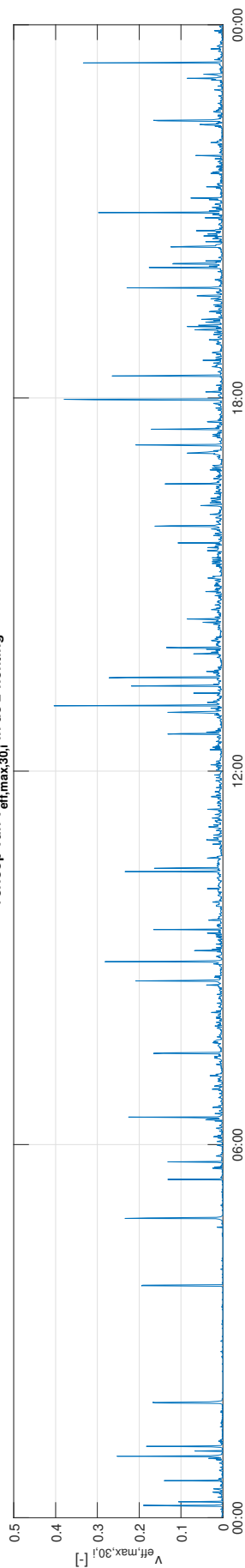
Verloop van  $v_{eff,max,30,i}$  in de x-richting



Verloop van  $v_{eff,max,30,i}$  in de y-richting

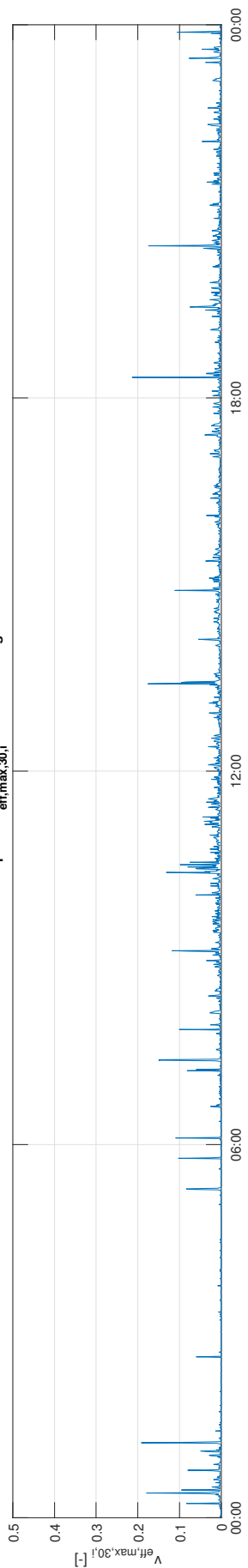


Verloop van  $v_{eff,max,30,i}$  in de z-richting

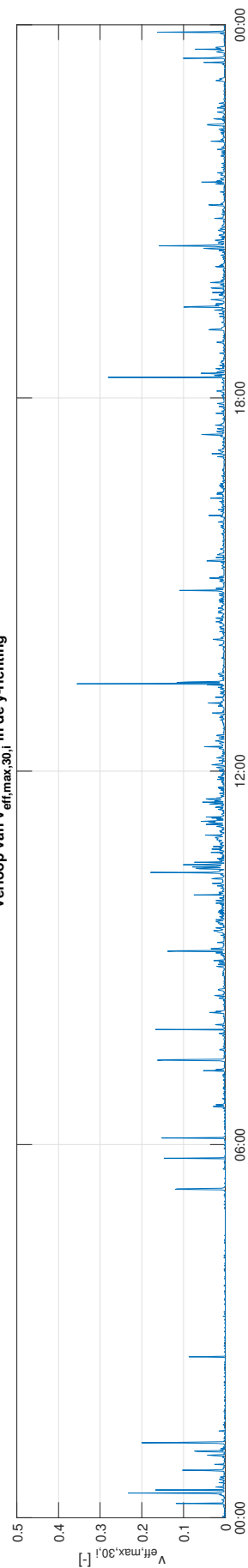


### Verloop van $v_{eff,max,30,i}$ gemeten bij background MT34 EttenLeur op 29-Oct-2022

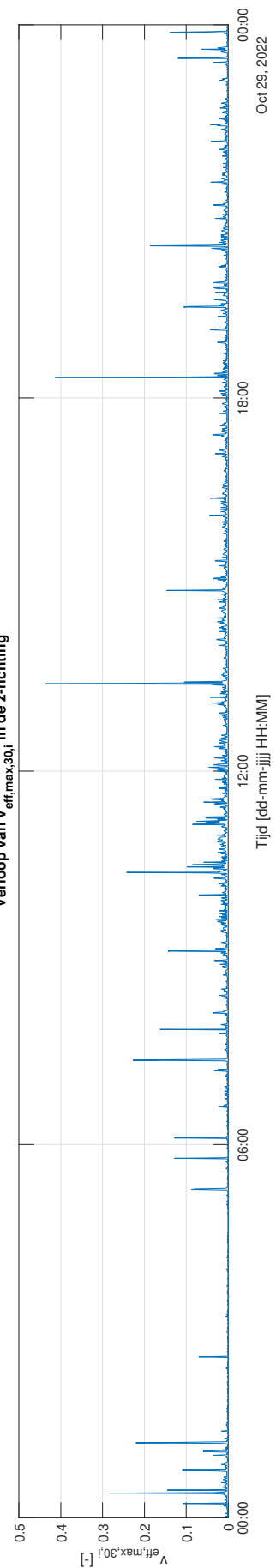
Verloop van  $v_{eff,max,30,i}$  in de x-richting



Verloop van  $v_{eff,max,30,i}$  in de y-richting

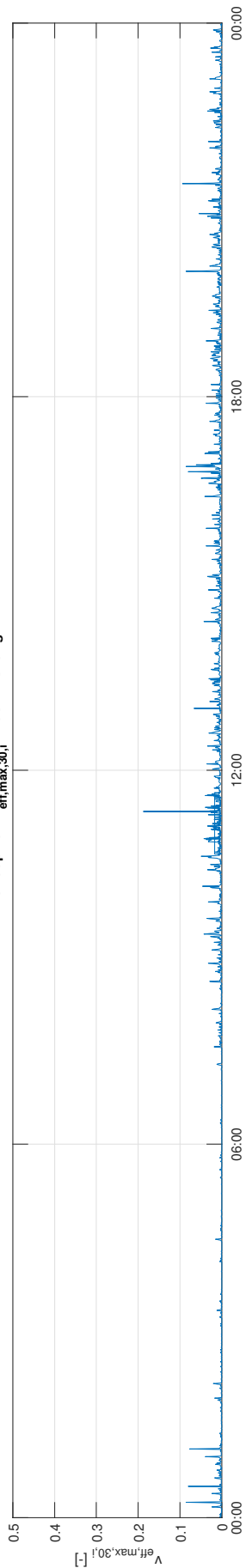


Verloop van  $v_{eff,max,30,i}$  in de z-richting

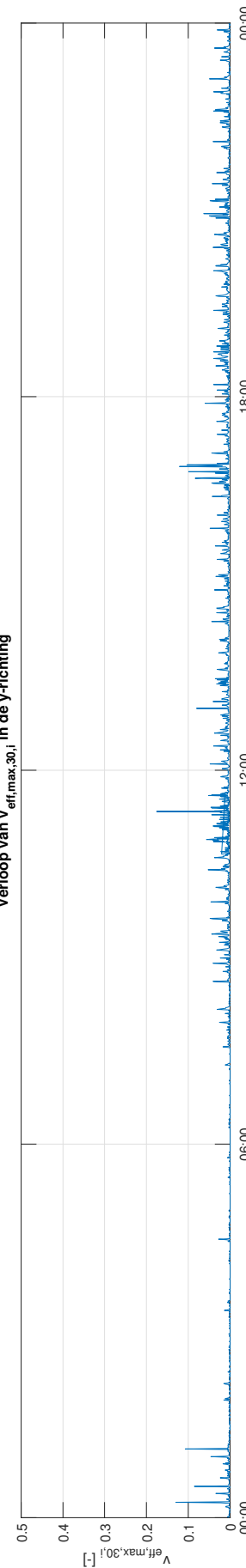


### Verloop van $v_{eff,max,30,i}$ gemeten bij background MT34 EttenLeur op 30-Oct-2022

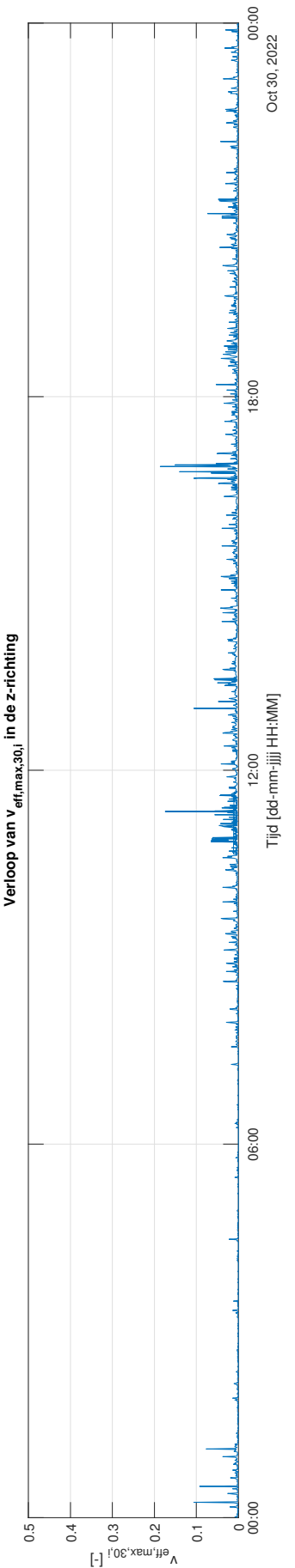
Verloop van  $v_{eff,max,30,i}$  in de x-richting



Verloop van  $v_{eff,max,30,i}$  in de y-richting

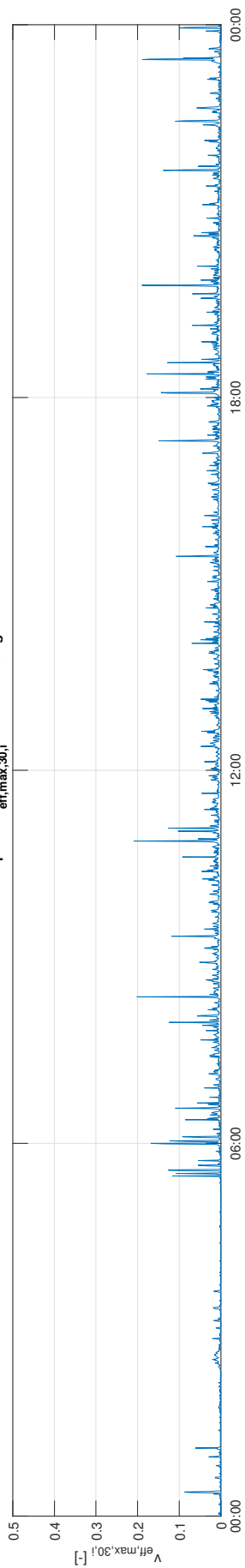


Verloop van  $v_{eff,max,30,i}$  in de z-richting

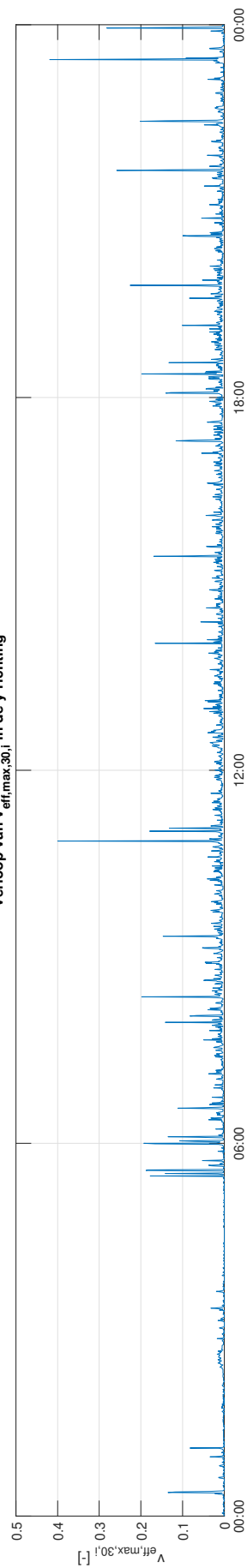


### Verloop van $v_{\text{eff,max},30,i}$ gemeten bij background MT34 EttenLeur op 31-Oct-2022

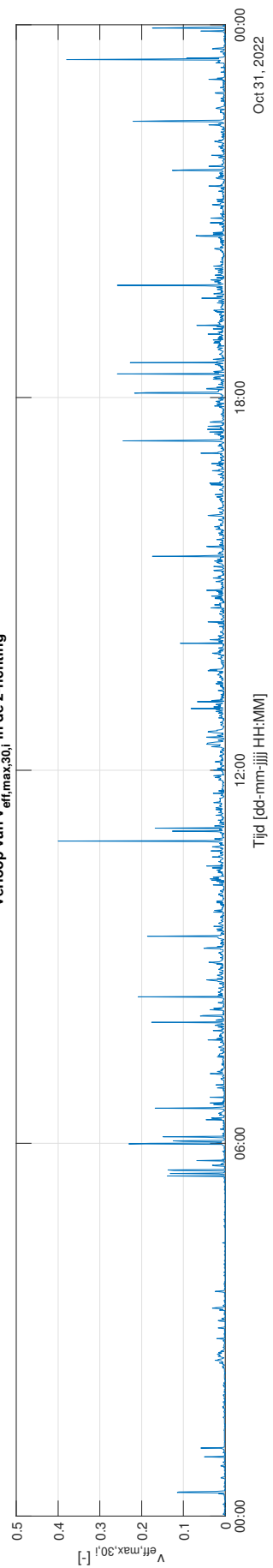
Verloop van  $v_{\text{eff,max},30,i}$  in de x-richting



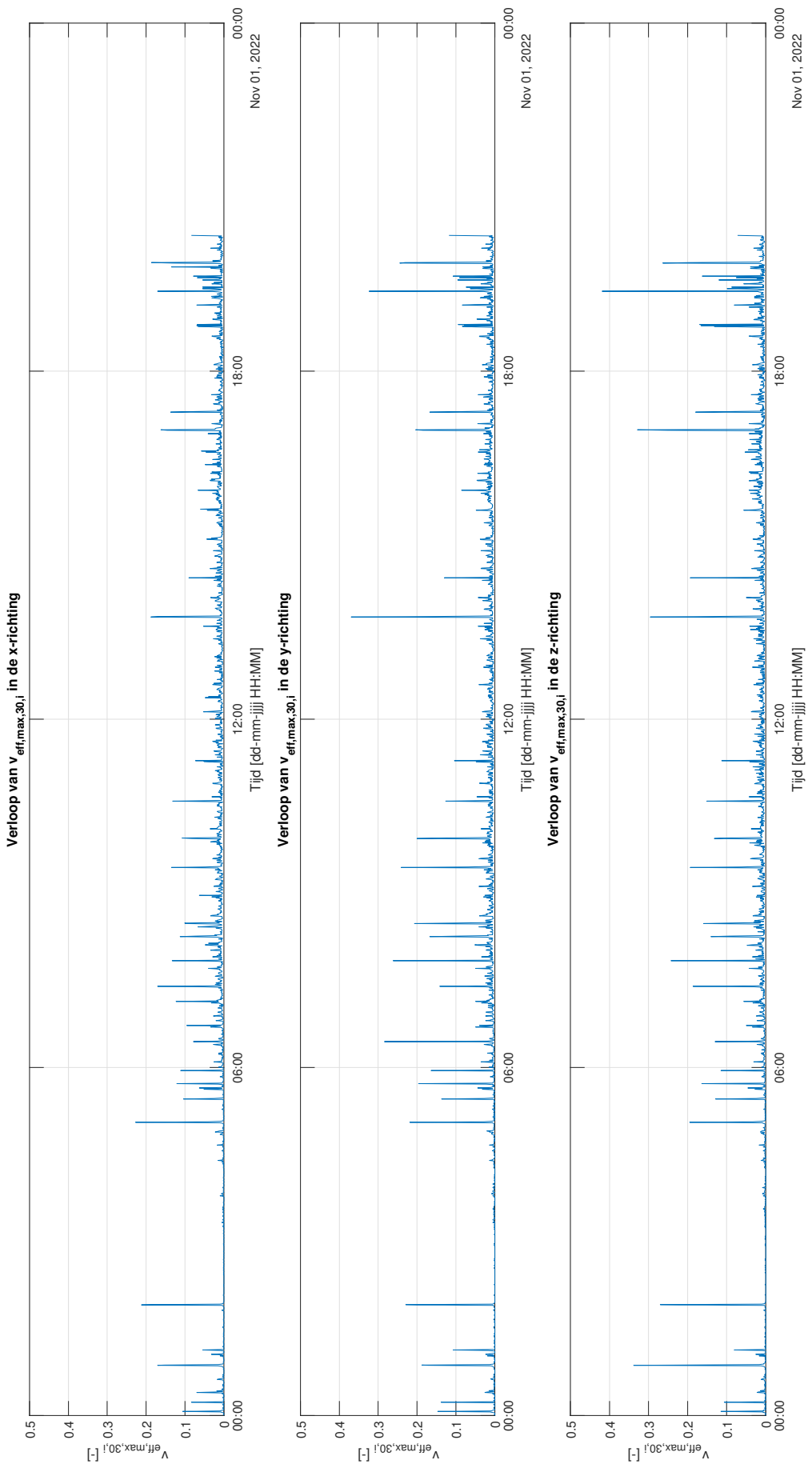
Verloop van  $v_{\text{eff,max},30,i}$  in de y-richting



Verloop van  $v_{\text{eff,max},30,i}$  in de z-richting

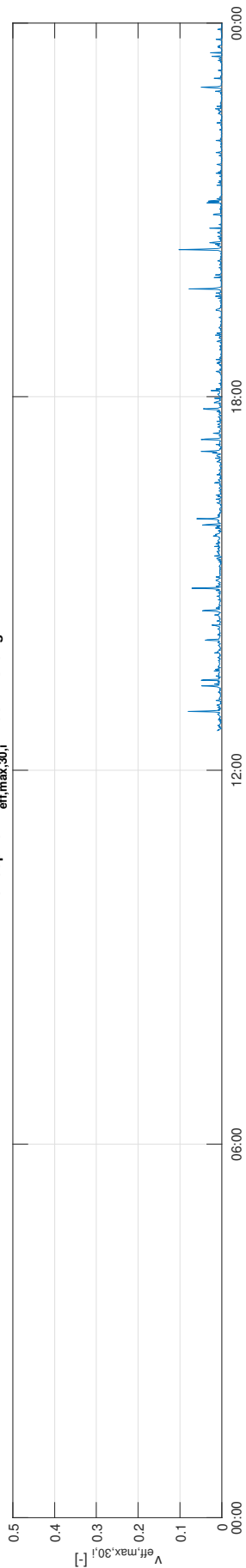


### Verloop van $v_{eff,max,30,i}$ gemeten bij background MT34 EttenLeur op 01-Nov-2022



### Verloop van $v_{eff,max,30,i}$ gemeten bij background MT39 EttenLeur op 25-Oct-2022

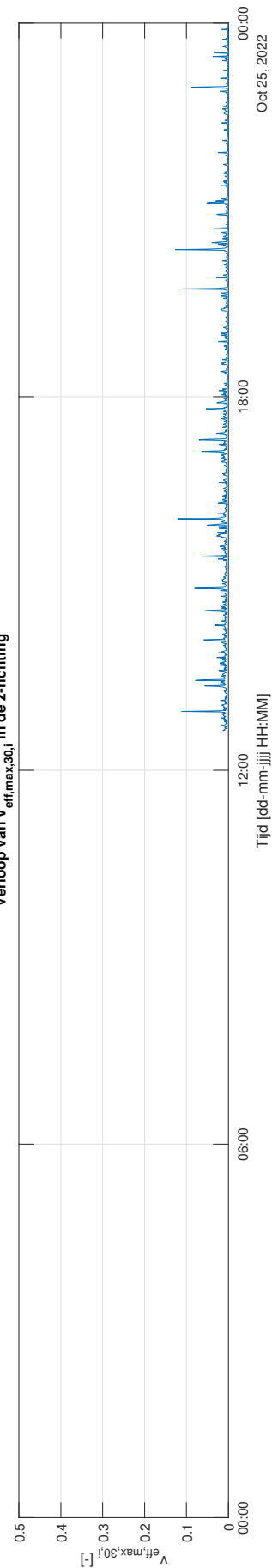
Verloop van  $v_{eff,max,30,i}$  in de x-richting



Verloop van  $v_{eff,max,30,i}$  in de y-richting

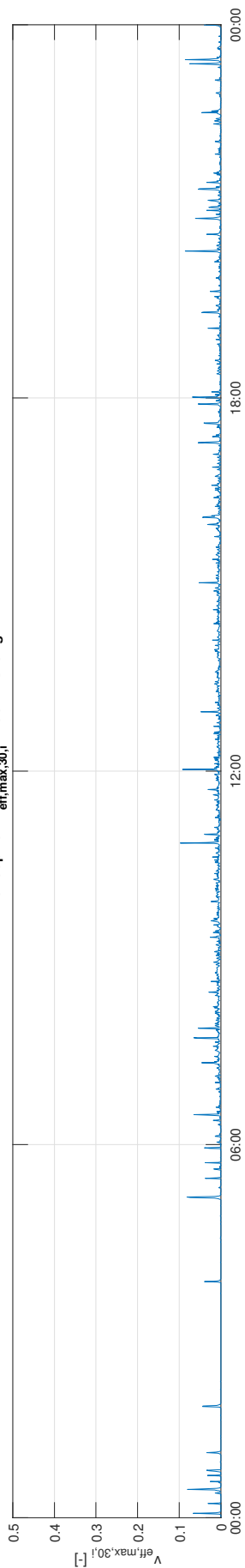


Verloop van  $v_{eff,max,30,i}$  in de z-richting

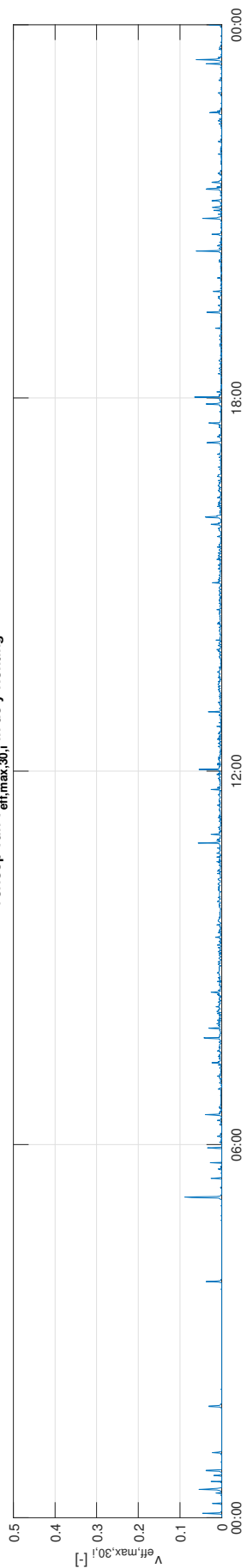


### Verloop van $v_{eff,max,30,i}$ gemeten bij background MT39 EttenLeur op 26-Oct-2022

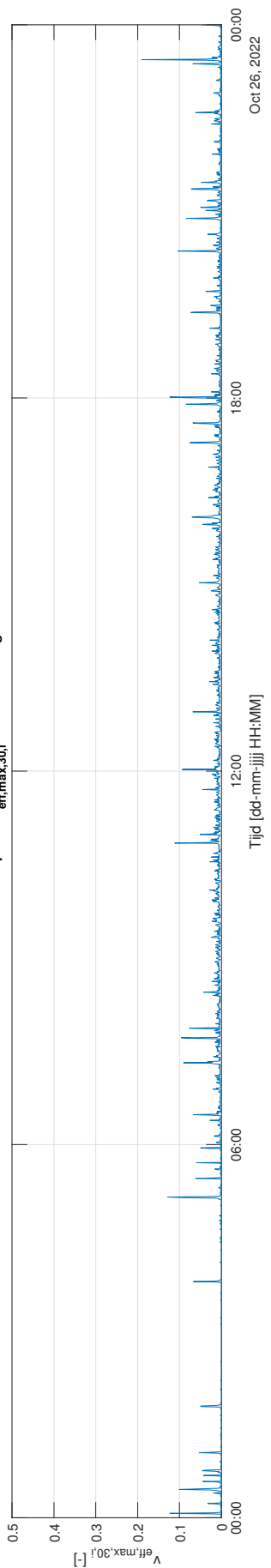
Verloop van  $v_{eff,max,30,i}$  in de x-richting



Verloop van  $v_{eff,max,30,i}$  in de y-richting

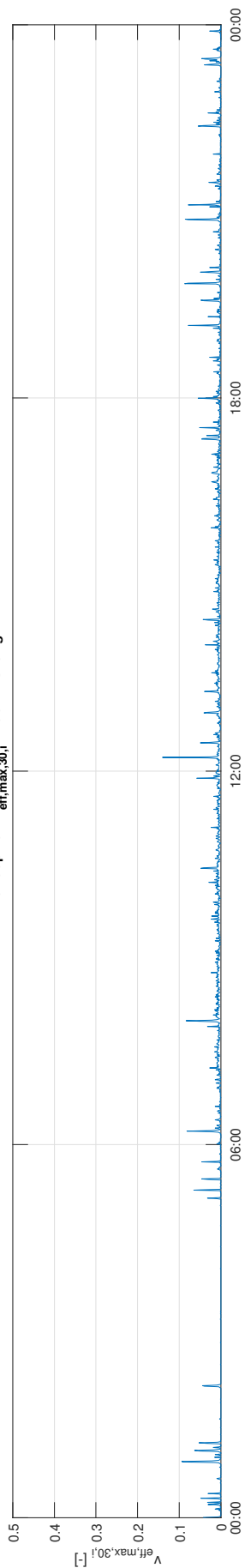


Verloop van  $v_{eff,max,30,i}$  in de z-richting

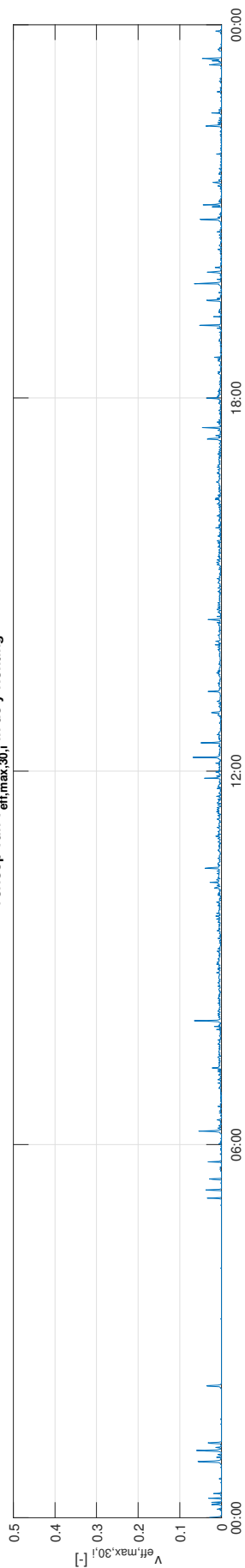


### Verloop van $v_{eff,max,30,i}$ gemeten bij background MT39 EttenLeur op 27-Oct-2022

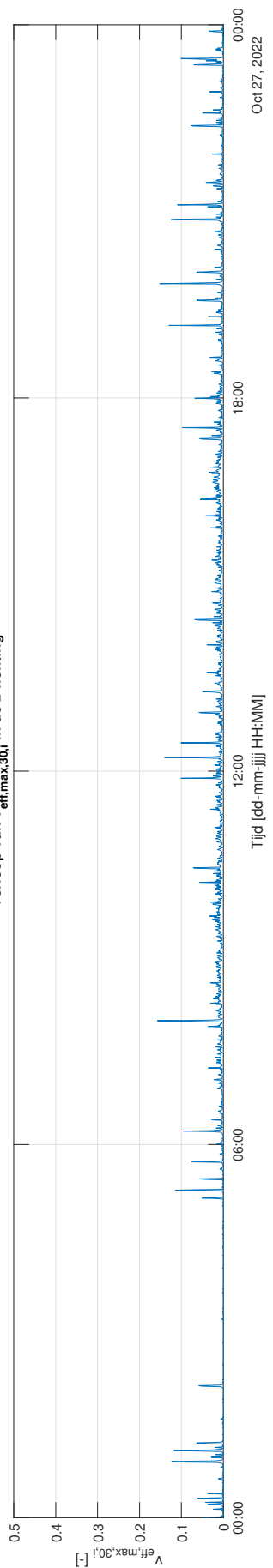
Verloop van  $v_{eff,max,30,i}$  in de x-richting



Verloop van  $v_{eff,max,30,i}$  in de y-richting

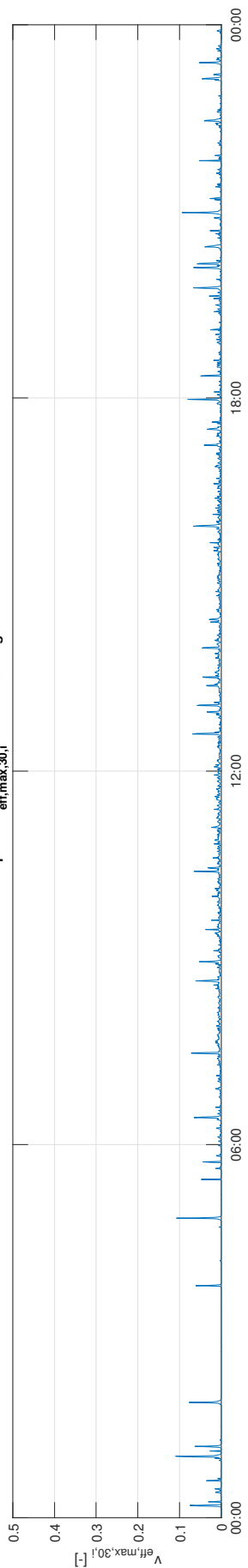


Verloop van  $v_{eff,max,30,i}$  in de z-richting

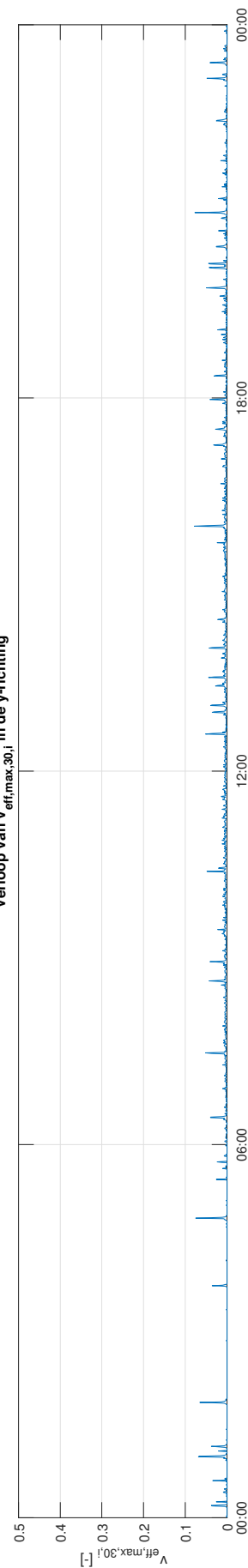


### Verloop van $v_{eff,max,30,i}$ gemeten bij background MT39 EttenLeur op 28-Oct-2022

Verloop van  $v_{eff,max,30,i}$  in de x-richting



Verloop van  $v_{eff,max,30,i}$  in de y-richting

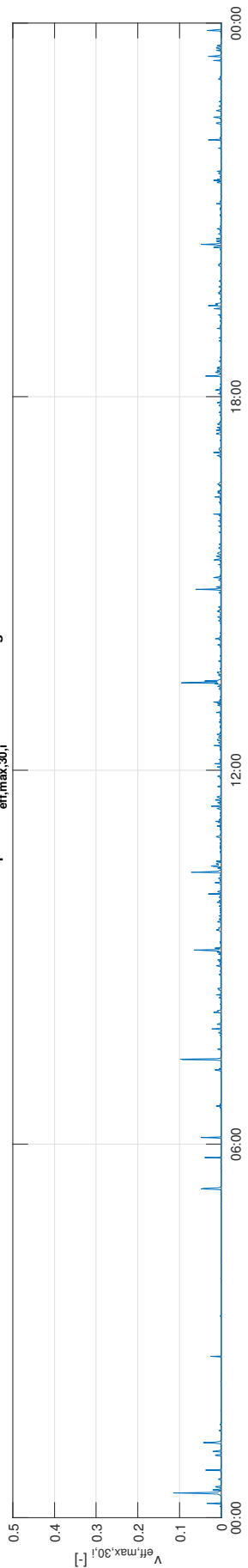


Verloop van  $v_{eff,max,30,i}$  in de z-richting

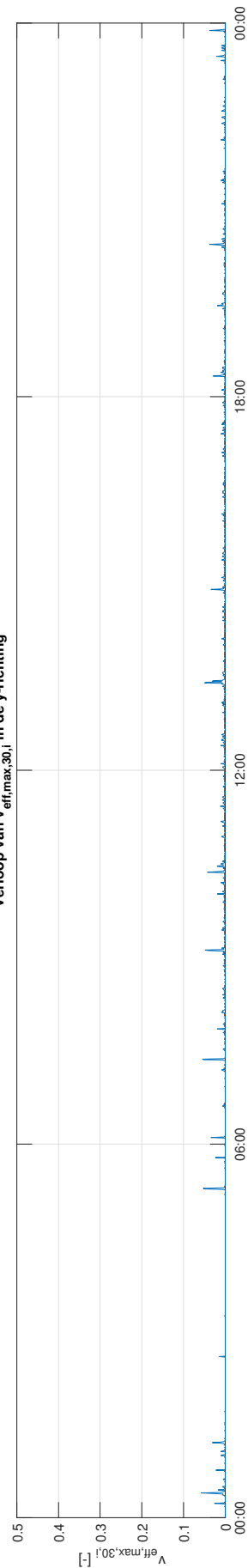


### Verloop van $v_{eff,max,30,i}$ gemeten bij background MT39 EttenLeur op 29-Oct-2022

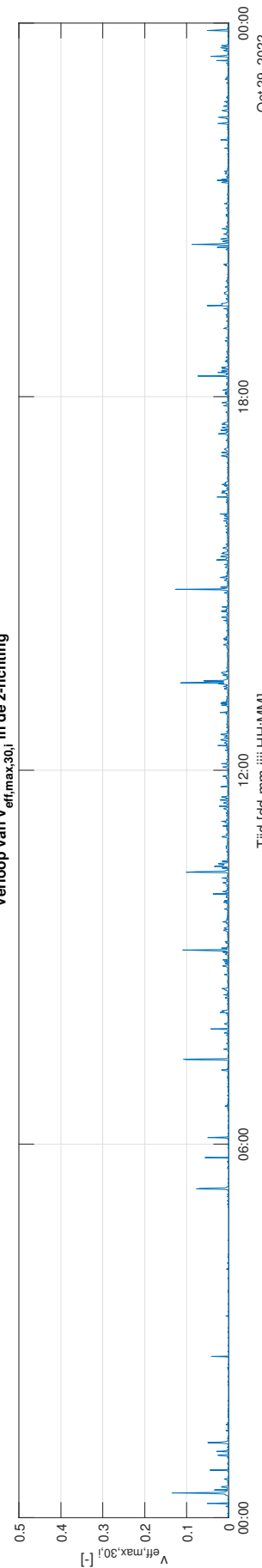
Verloop van  $v_{eff,max,30,i}$  in de x-richting



Verloop van  $v_{eff,max,30,i}$  in de y-richting

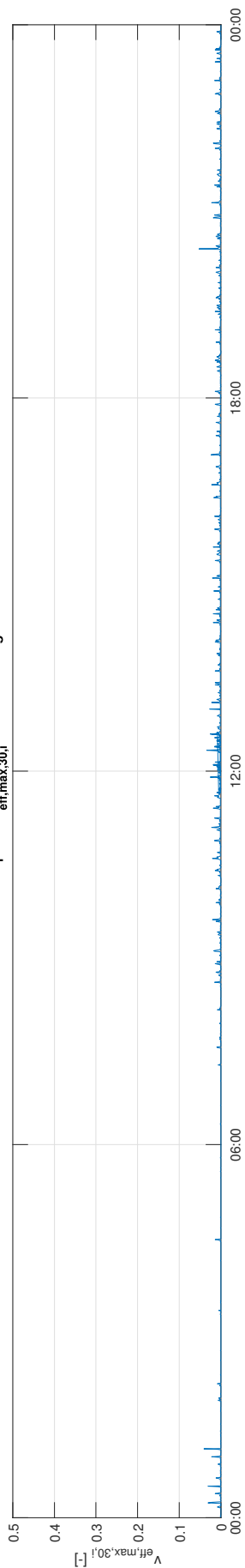


Verloop van  $v_{eff,max,30,i}$  in de z-richting

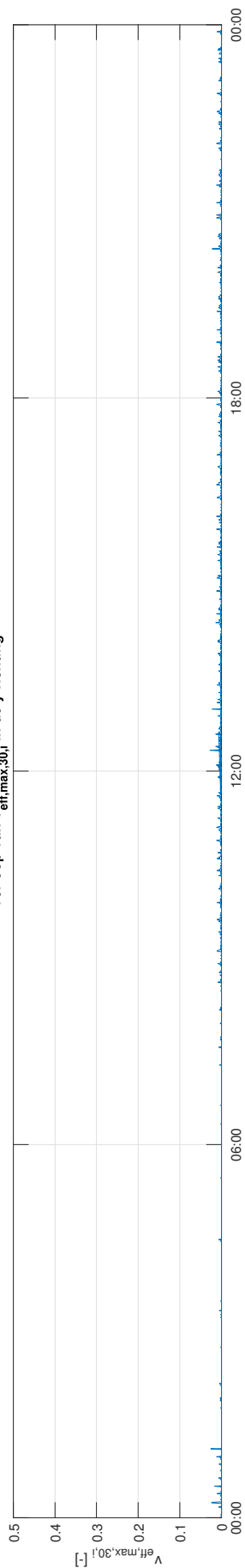


### Verloop van $v_{eff,max,30,i}$ gemeten bij background MT39 EttenLeur op 30-Oct-2022

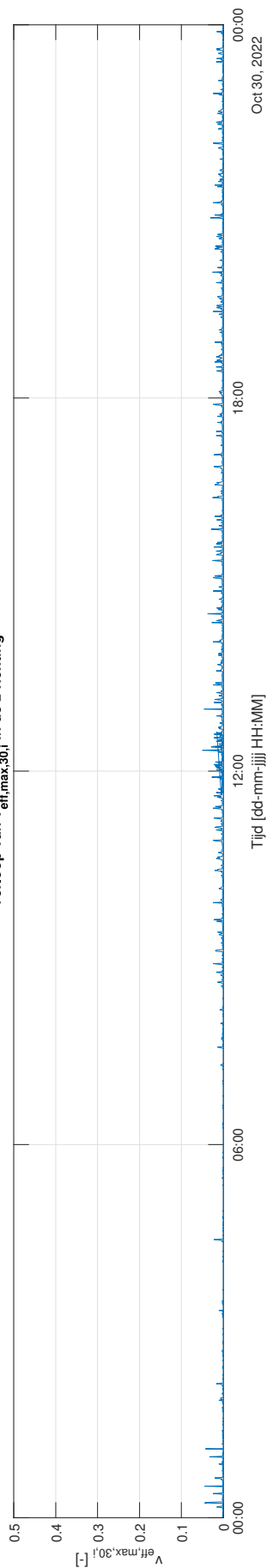
Verloop van  $v_{eff,max,30,i}$  in de x-richting



Verloop van  $v_{eff,max,30,i}$  in de y-richting

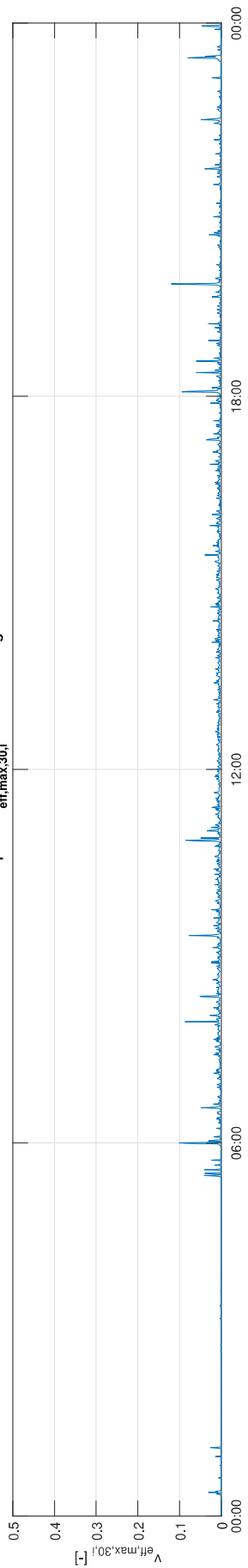


Verloop van  $v_{eff,max,30,i}$  in de z-richting

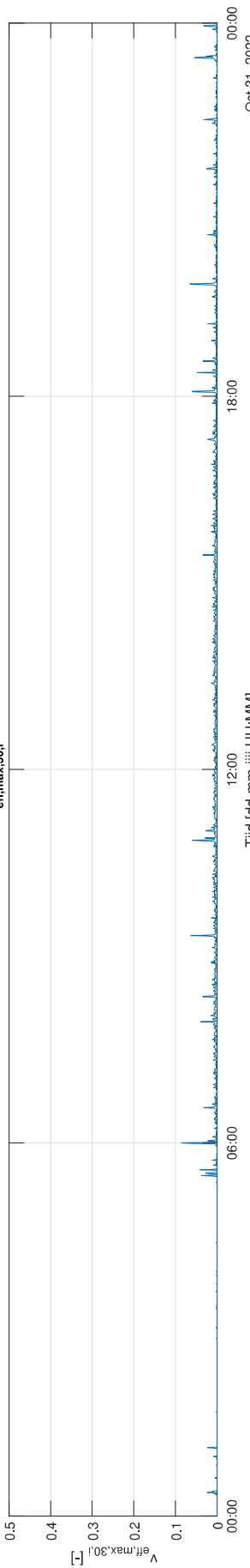


### Verloop van $v_{eff,max,30,i}$ gemeten bij background MT39 EttenLeur op 31-Oct-2022

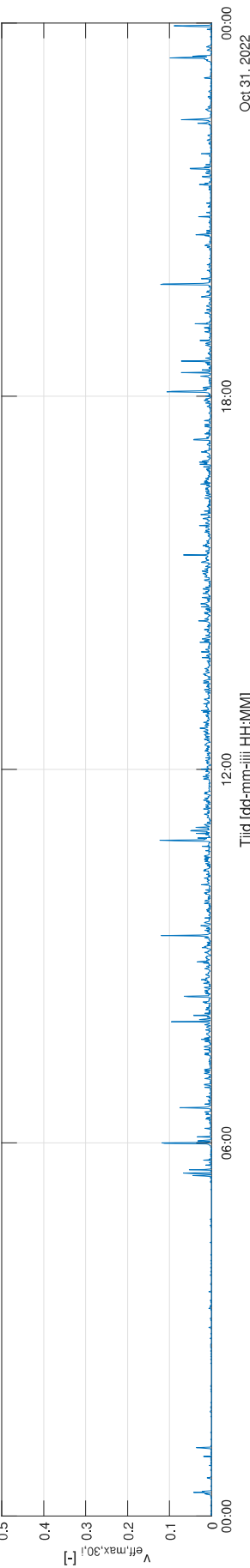
Verloop van  $v_{eff,max,30,i}$  in de x-richting



Verloop van  $v_{eff,max,30,i}$  in de y-richting

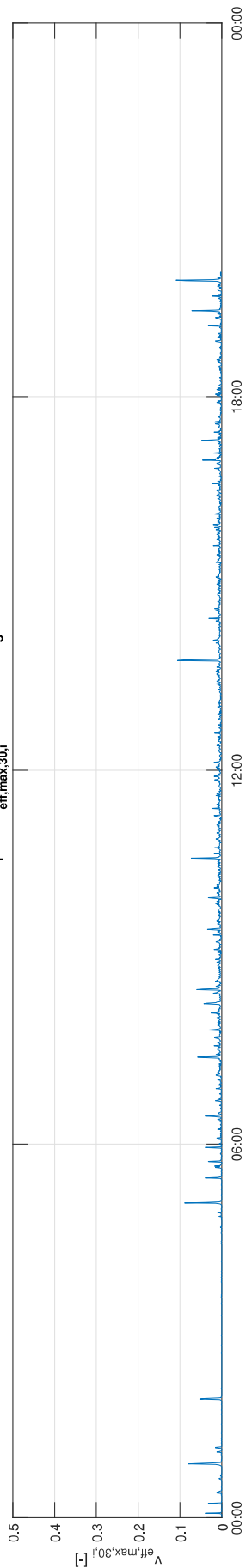


Verloop van  $v_{eff,max,30,i}$  in de z-richting

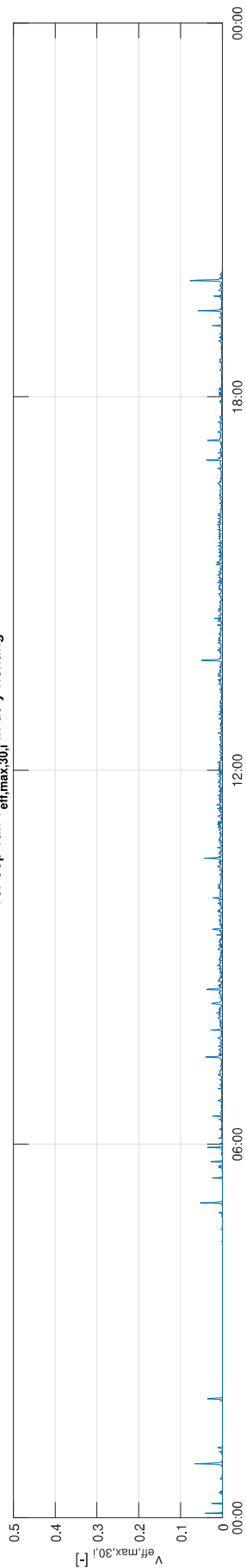


**Verloop van  $v_{eff,max,30,i}$  gemeten bij background MT39 EttenLeur op 01-Nov-2022**

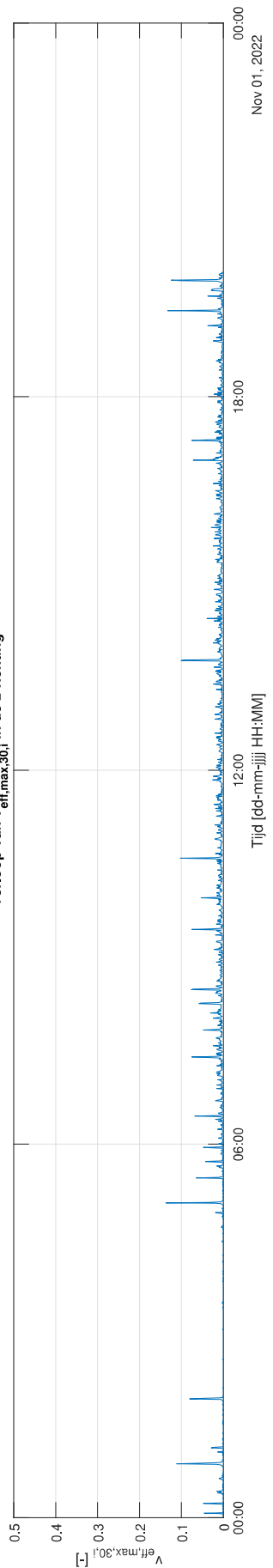
**Verloop van  $v_{eff,max,30,i}$  in de x-richting**



**Verloop van  $v_{eff,max,30,i}$  in de y-richting**

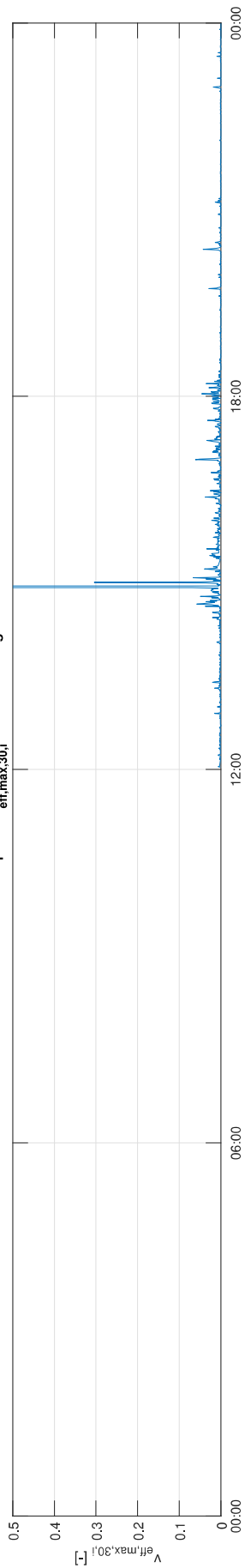


**Verloop van  $v_{eff,max,30,i}$  in de z-richting**

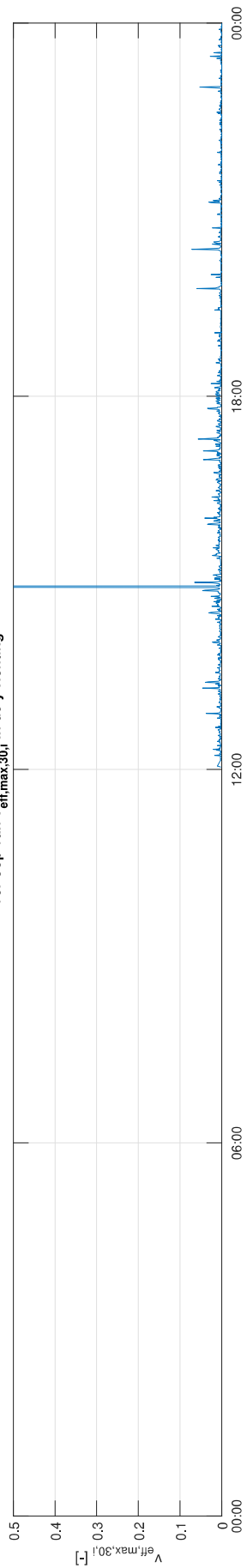


### Verloop van $v_{eff,max,30,i}$ gemeten bij background ZT42 EttenLeur op 25-Oct-2022

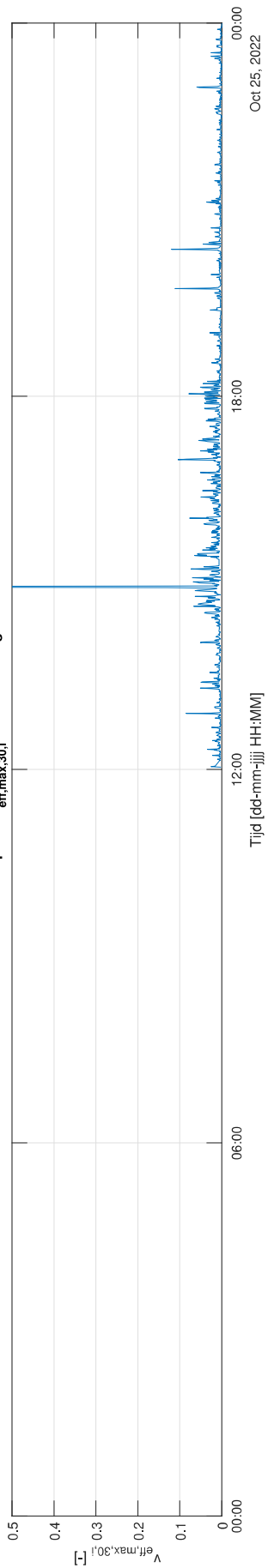
Verloop van  $v_{eff,max,30,i}$  in de x-richting



Verloop van  $v_{eff,max,30,i}$  in de y-richting

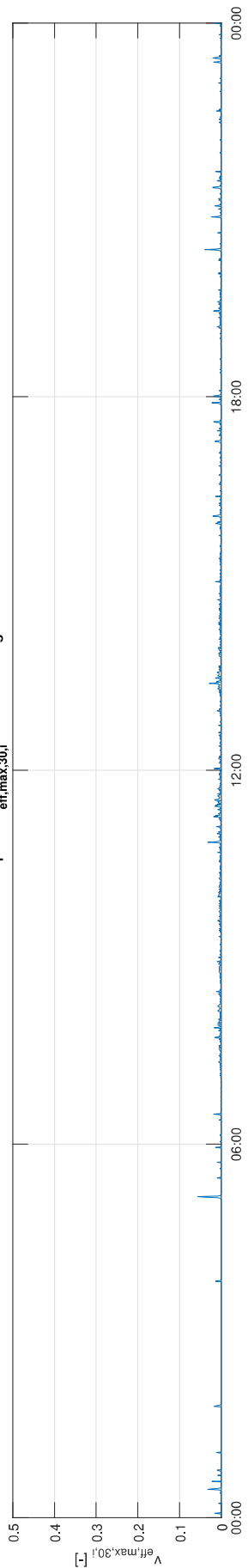


Verloop van  $v_{eff,max,30,i}$  in de z-richting

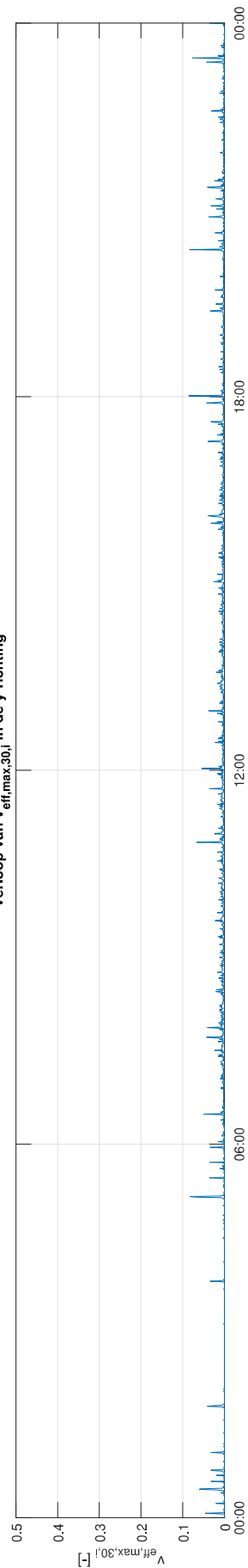


**Verloop van  $v_{eff,max,30,i}$  gemeten bij background ZT42 EttenLeur op 26-Oct-2022**

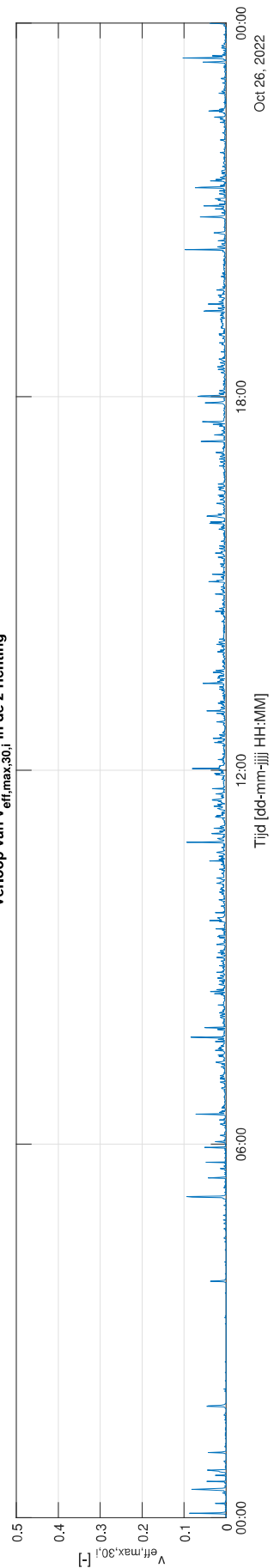
**Verloop van  $v_{eff,max,30,i}$  in de x-richting**



**Verloop van  $v_{eff,max,30,i}$  in de y-richting**

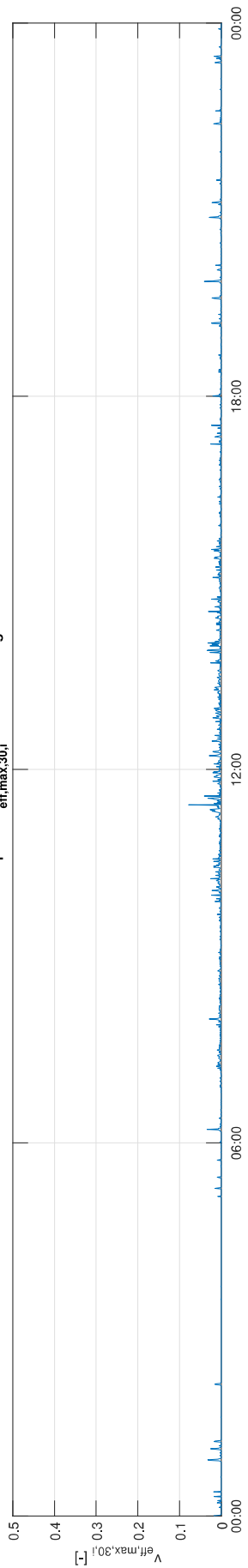


**Verloop van  $v_{eff,max,30,i}$  in de z-richting**

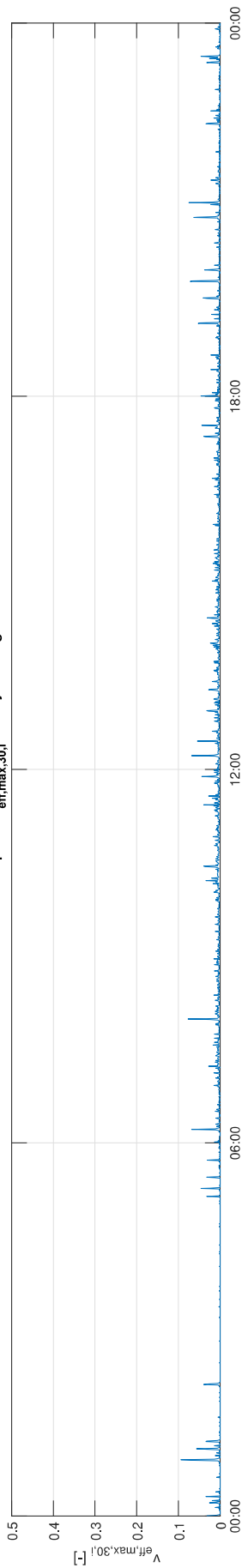


### Verloop van $v_{eff,max,30,i}$ gemeten bij background ZT42 EttenLeur op 27-Oct-2022

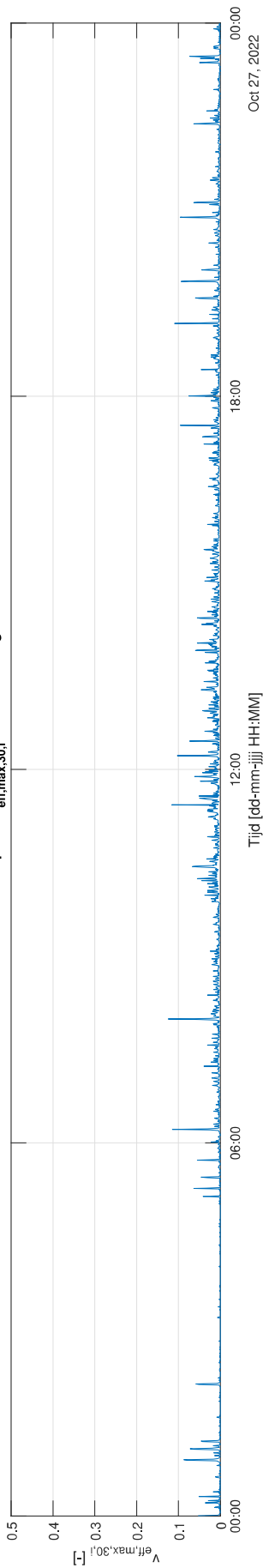
Verloop van  $v_{eff,max,30,i}$  in de x-richting



Verloop van  $v_{eff,max,30,i}$  in de y-richting

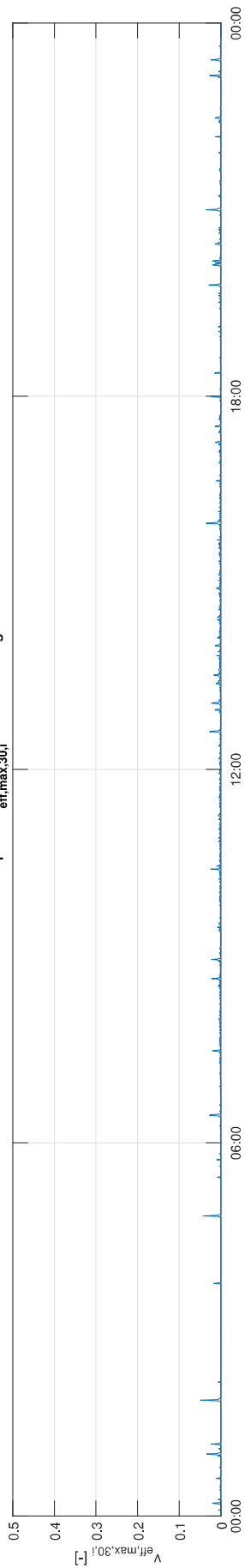


Verloop van  $v_{eff,max,30,i}$  in de z-richting

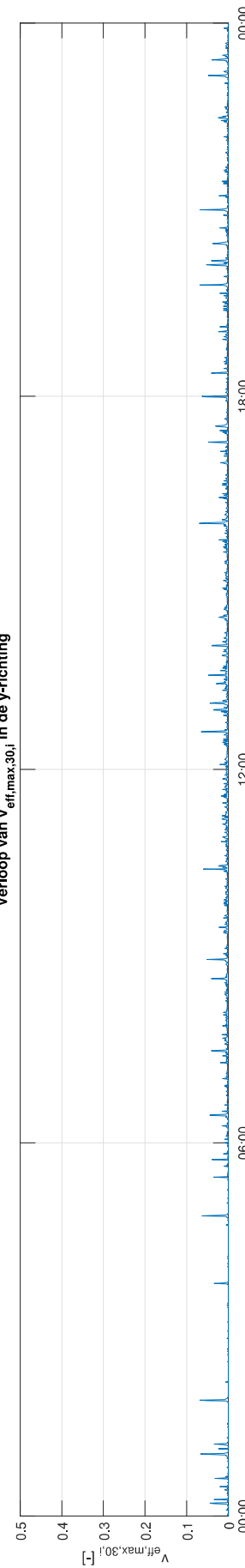


### Verloop van $v_{eff,max,30,i}$ gemeten bij background ZT42 EttenLeur op 28-Oct-2022

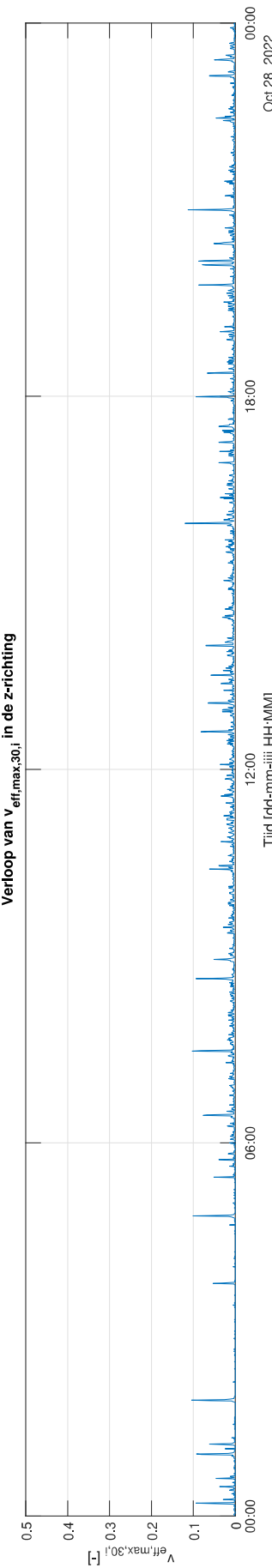
Verloop van  $v_{eff,max,30,i}$  in de x-richting



Verloop van  $v_{eff,max,30,i}$  in de y-richting

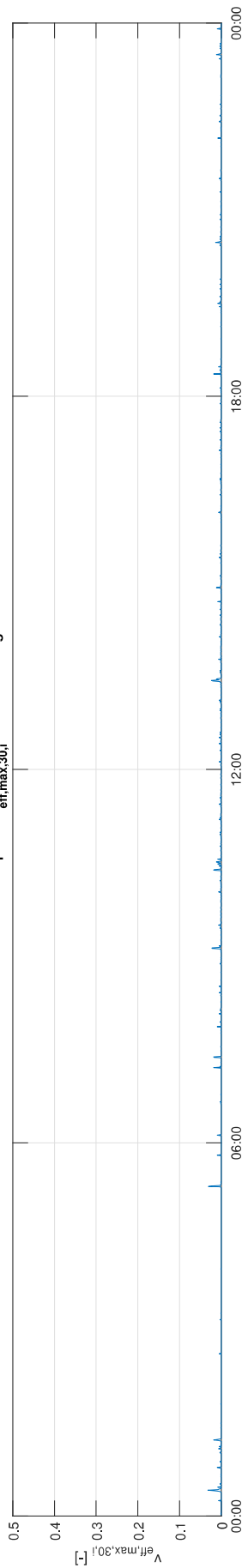


Verloop van  $v_{eff,max,30,i}$  in de z-richting

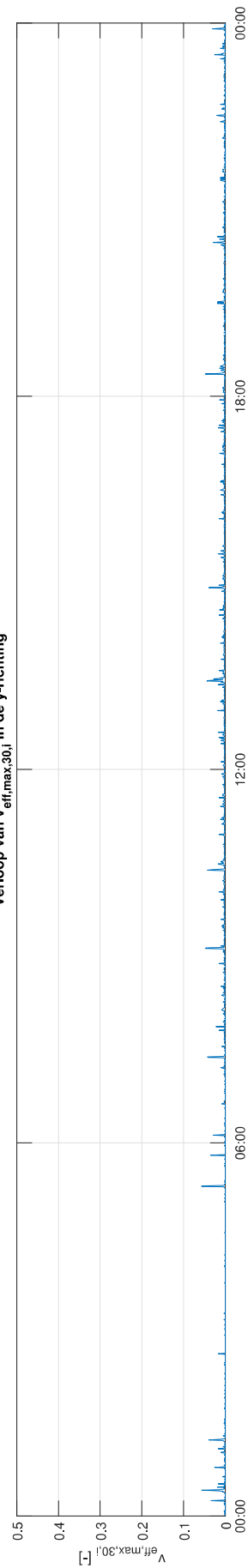


**Verloop van  $v_{eff,max,30,i}$  gemeten bij background ZT42 EttenLeur op 29-Oct-2022**

**Verloop van  $v_{eff,max,30,i}$  in de x-richting**



**Verloop van  $v_{eff,max,30,i}$  in de y-richting**

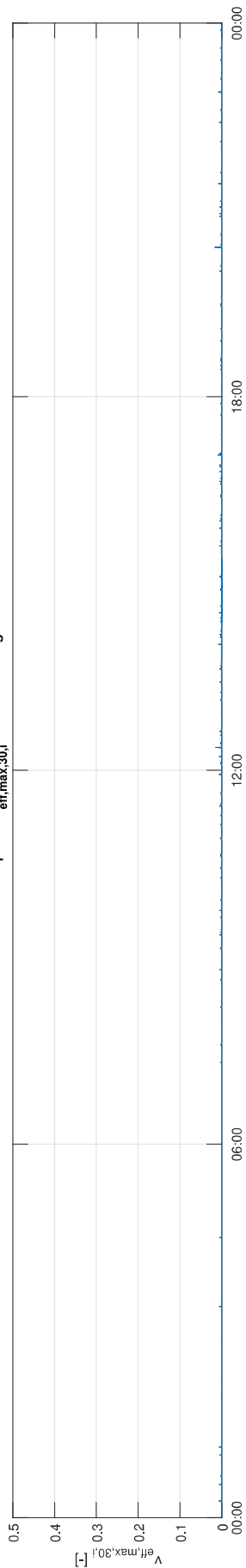


**Verloop van  $v_{eff,max,30,i}$  in de z-richting**

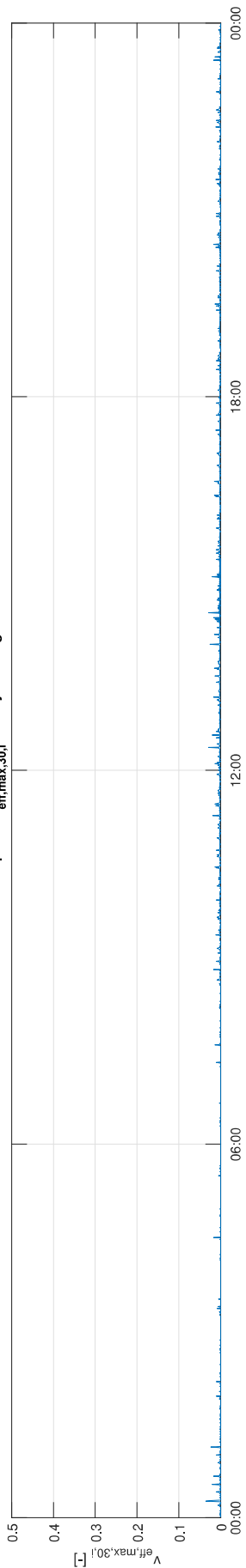


### Verloop van $v_{eff,max,30,i}$ gemeten bij background ZT42 EttenLeur op 30-Oct-2022

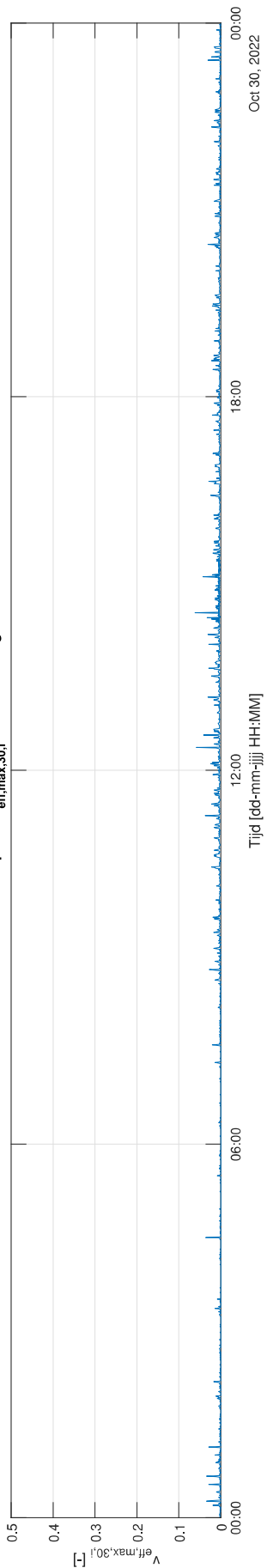
Verloop van  $v_{eff,max,30,i}$  in de x-richting



Verloop van  $v_{eff,max,30,i}$  in de y-richting

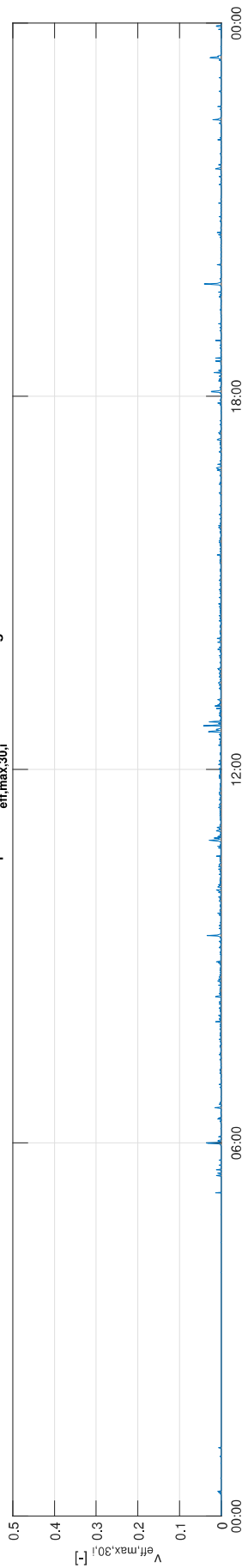


Verloop van  $v_{eff,max,30,i}$  in de z-richting

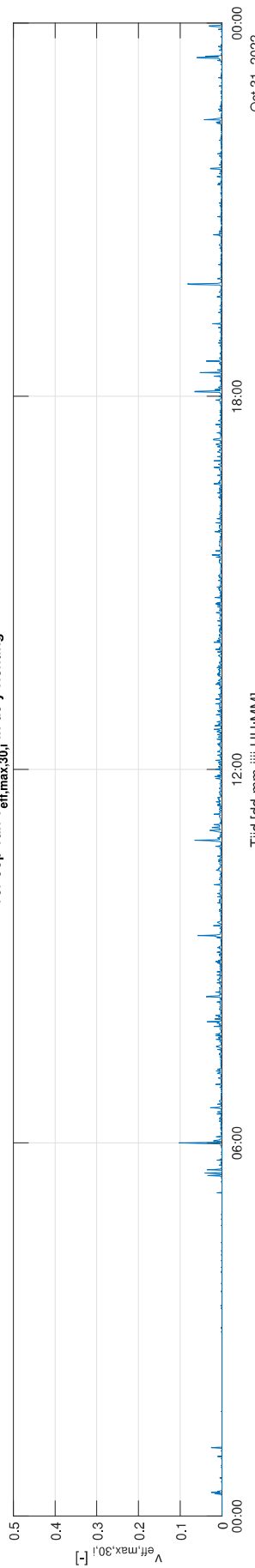


### Verloop van $v_{eff,max,30,i}$ gemeten bij background ZT42 EttenLeur op 31-Oct-2022

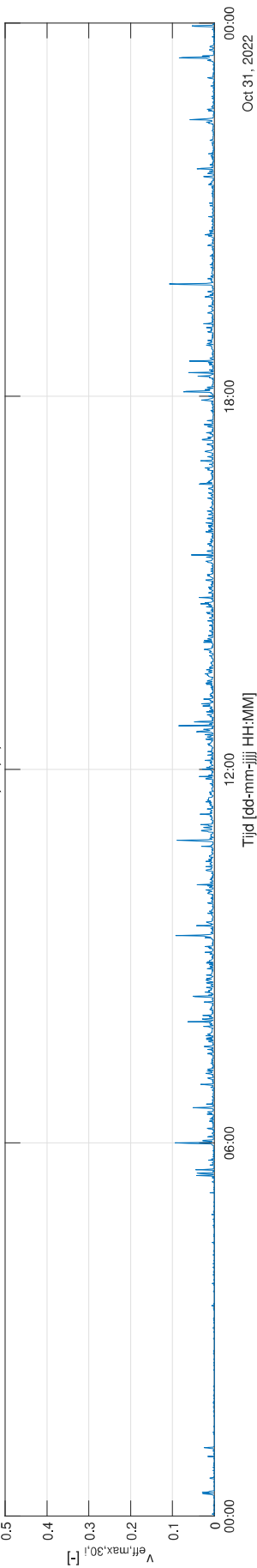
Verloop van  $v_{eff,max,30,i}$  in de x-richting



Verloop van  $v_{eff,max,30,i}$  in de y-richting

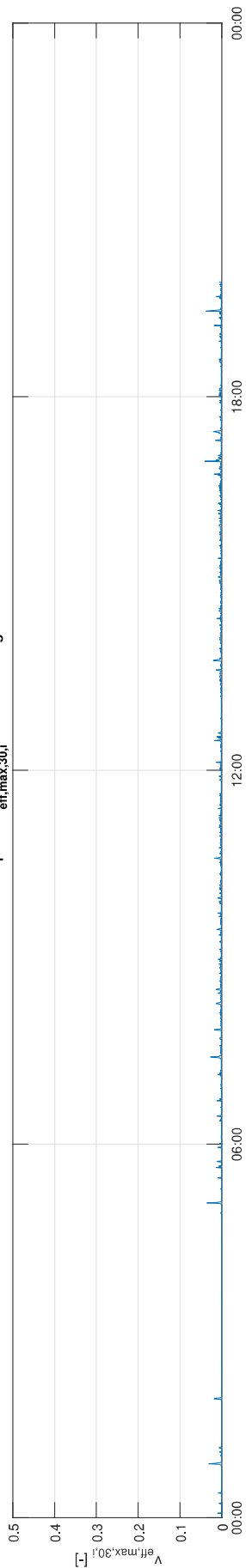


Verloop van  $v_{eff,max,30,i}$  in de z-richting

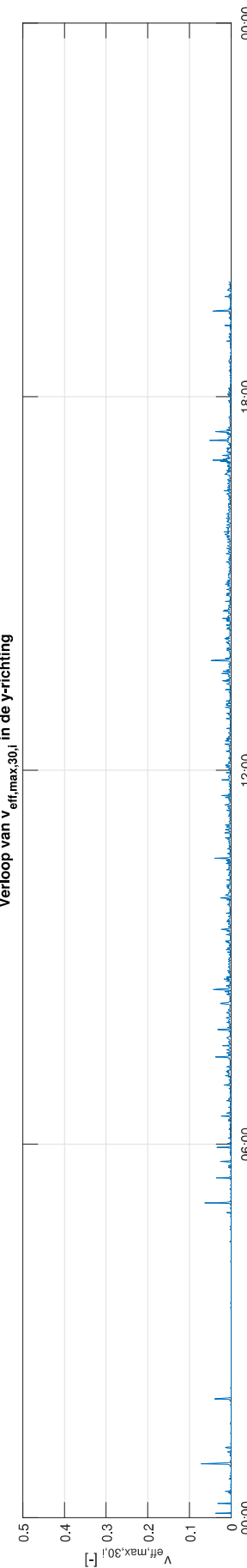


### Verloop van $v_{eff,max,30,i}$ gemeten bij background ZT42 EttenLeur op 01-Nov-2022

Verloop van  $v_{eff,max,30,i}$  in de x-richting

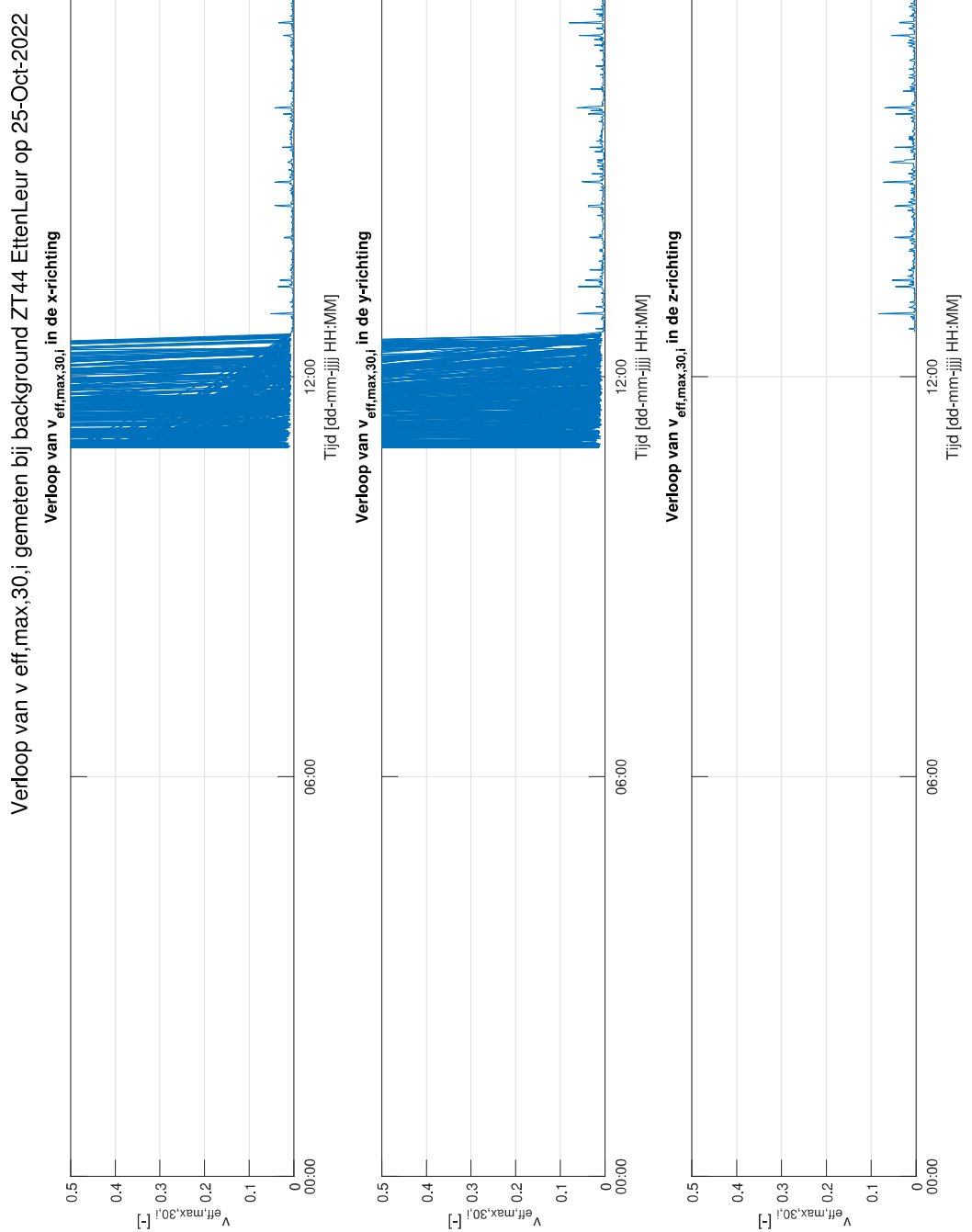


Verloop van  $v_{eff,max,30,i}$  in de y-richting



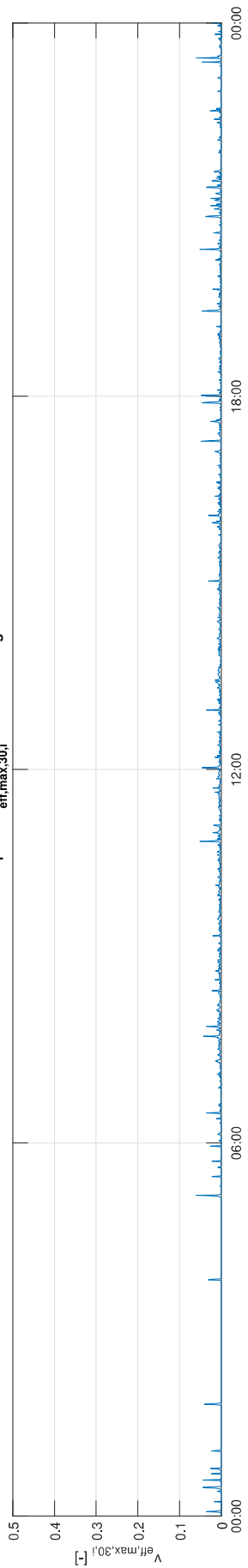
Verloop van  $v_{eff,max,30,i}$  in de z-richting



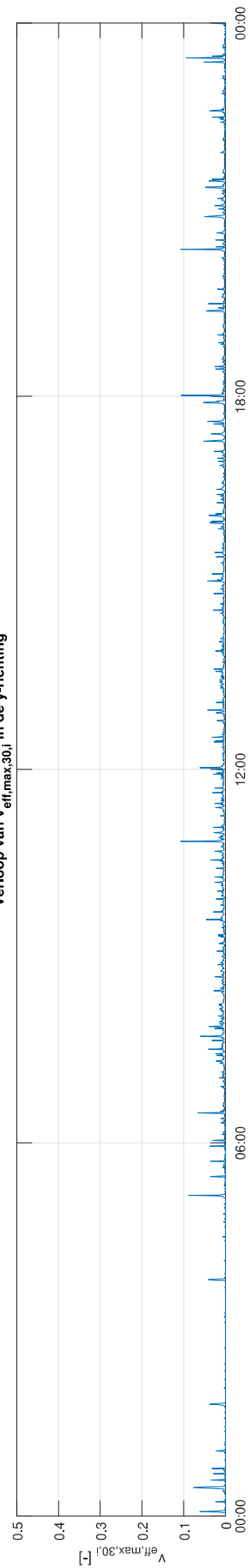


**Verloop van  $v_{eff,max,30,i}$  gemeten bij background ZT44 EttenLeur op 26-Oct-2022**

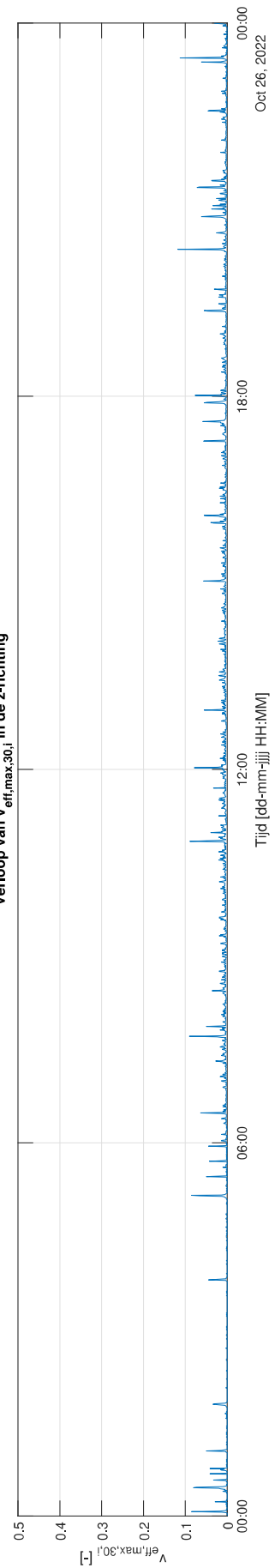
**Verloop van  $v_{eff,max,30,i}$  in de x-richting**



**Verloop van  $v_{eff,max,30,i}$  in de y-richting**

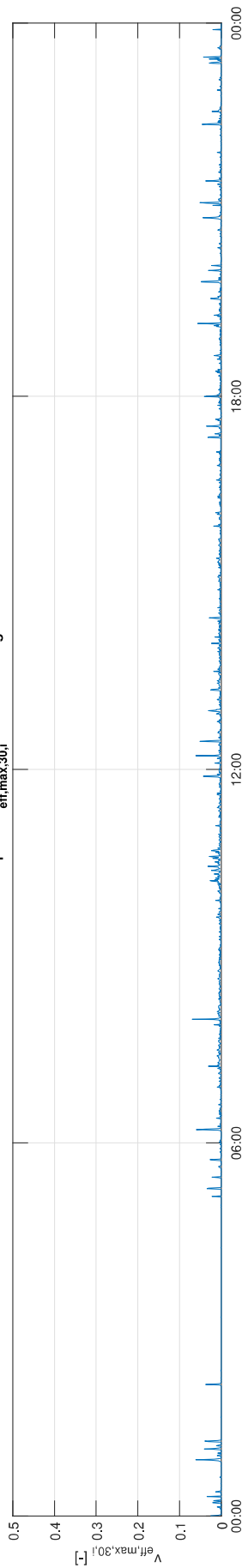


**Verloop van  $v_{eff,max,30,i}$  in de z-richting**

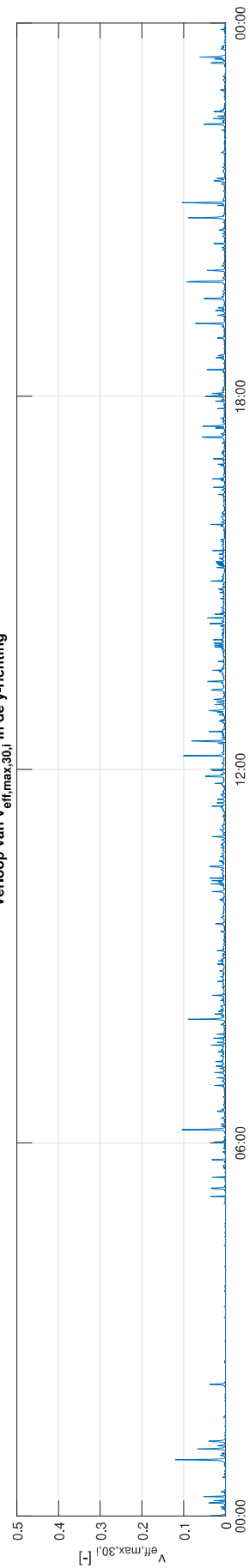


**Verloop van  $v_{eff,max,30,i}$  gemeten bij background ZT44 EttenLeur op 27-Oct-2022**

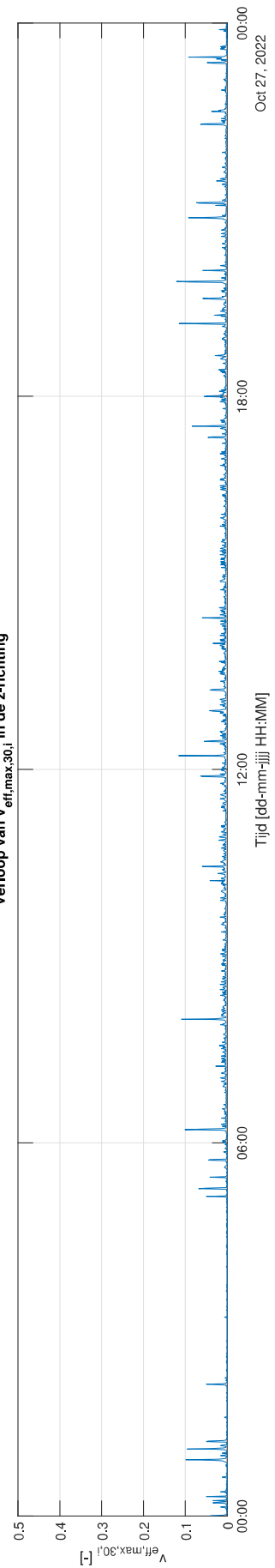
**Verloop van  $v_{eff,max,30,i}$  in de x-richting**



**Verloop van  $v_{eff,max,30,i}$  in de y-richting**

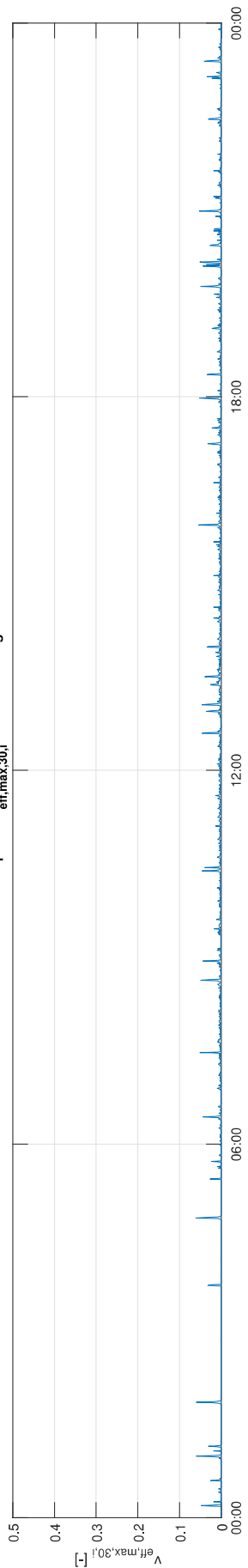


**Verloop van  $v_{eff,max,30,i}$  in de z-richting**

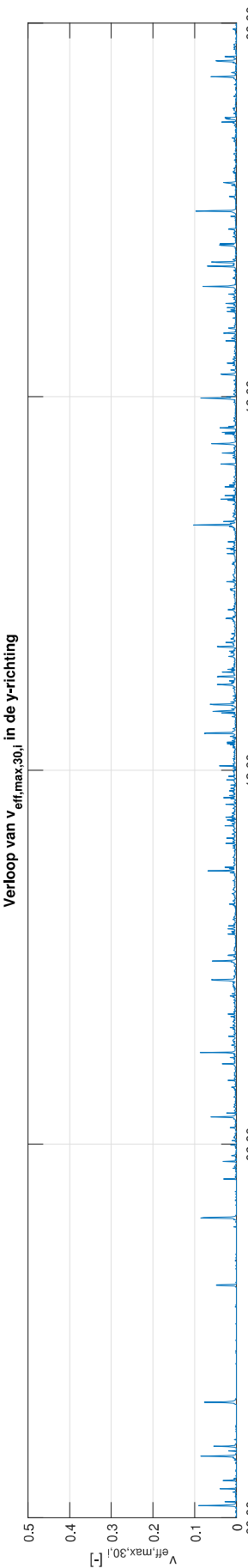


**Verloop van  $v_{eff,max,30,i}$  gemeten bij background ZT44 EttenLeur op 28-Oct-2022**

**Verloop van  $v_{eff,max,30,i}$  in de x-richting**



**Verloop van  $v_{eff,max,30,i}$  in de y-richting**

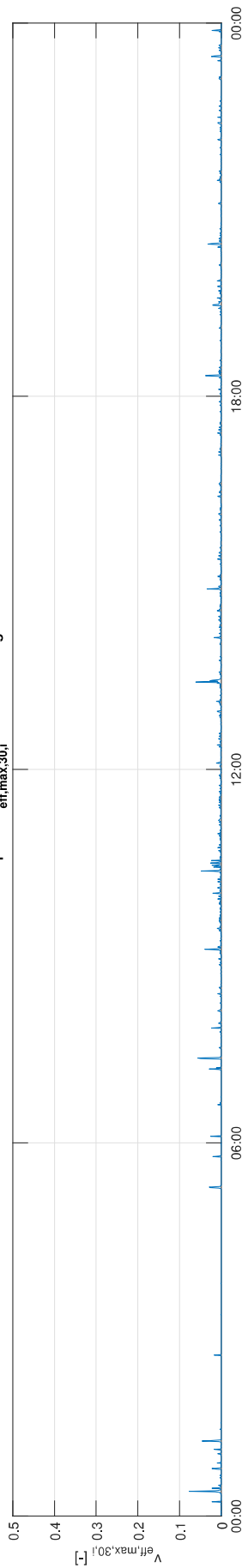


**Verloop van  $v_{eff,max,30,i}$  in de z-richting**

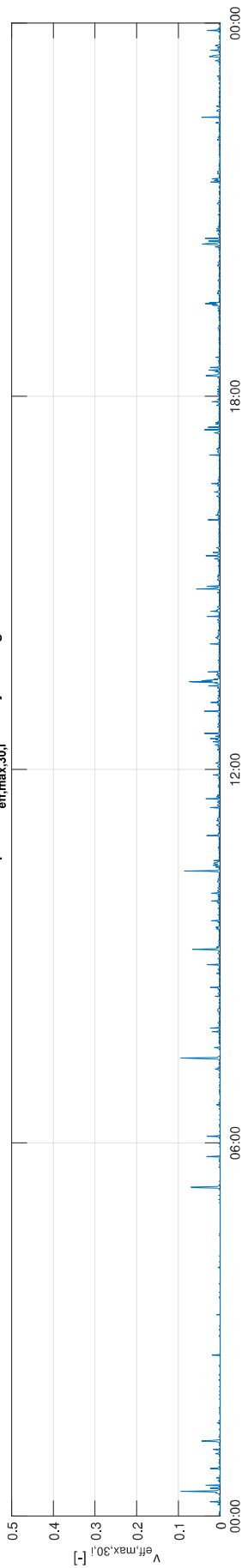


**Verloop van  $v_{eff,max,30,i}$  gemeten bij background ZT44 EttenLeur op 29-Oct-2022**

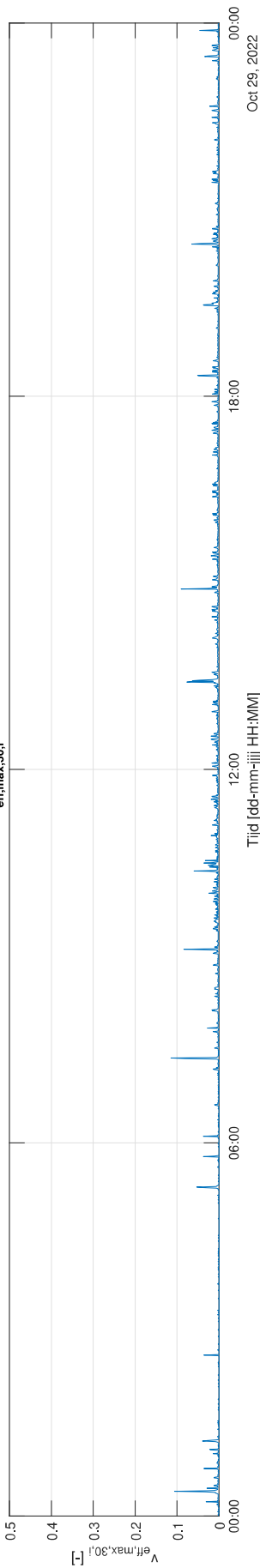
**Verloop van  $v_{eff,max,30,i}$  in de x-richting**



**Verloop van  $v_{eff,max,30,i}$  in de y-richting**

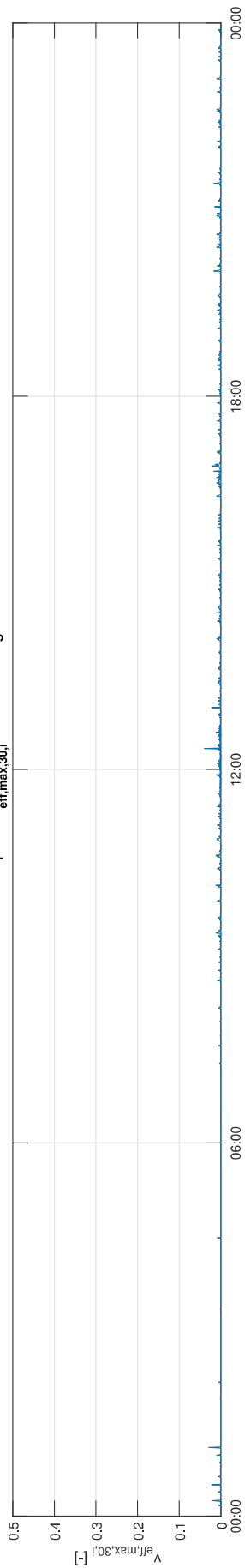


**Verloop van  $v_{eff,max,30,i}$  in de z-richting**

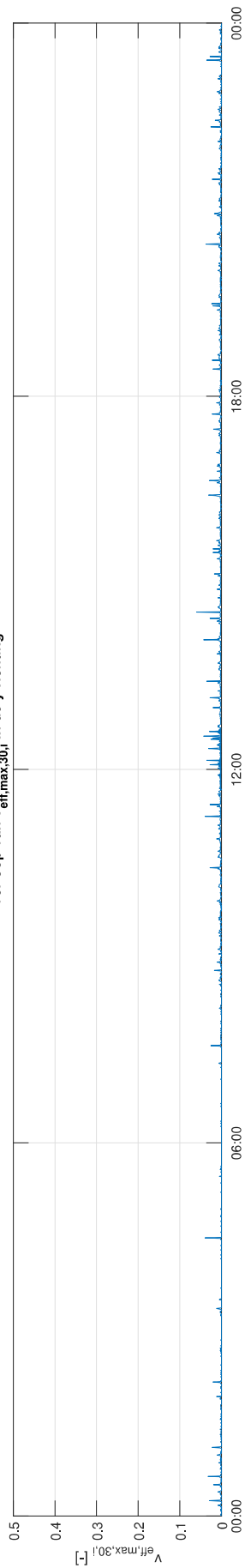


**Verloop van  $v_{eff,max,30,i}$  gemeten bij background ZT44 EttenLeur op 30-Oct-2022**

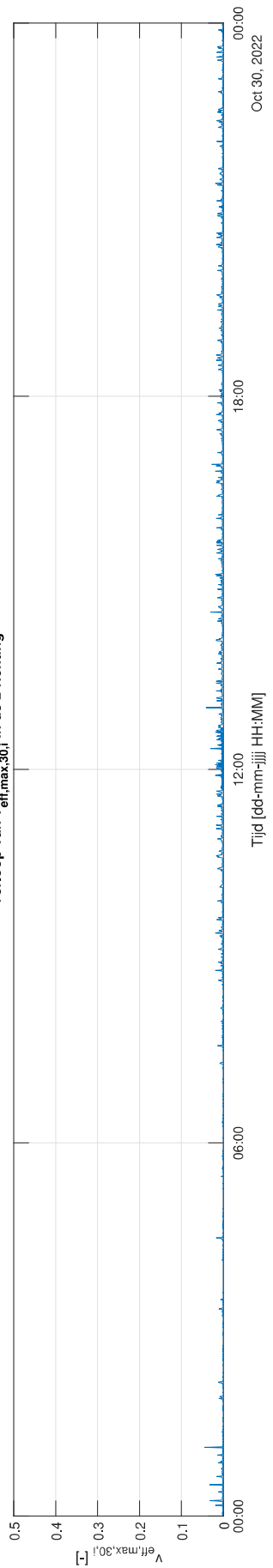
**Verloop van  $v_{eff,max,30,i}$  in de x-richting**



**Verloop van  $v_{eff,max,30,i}$  in de y-richting**

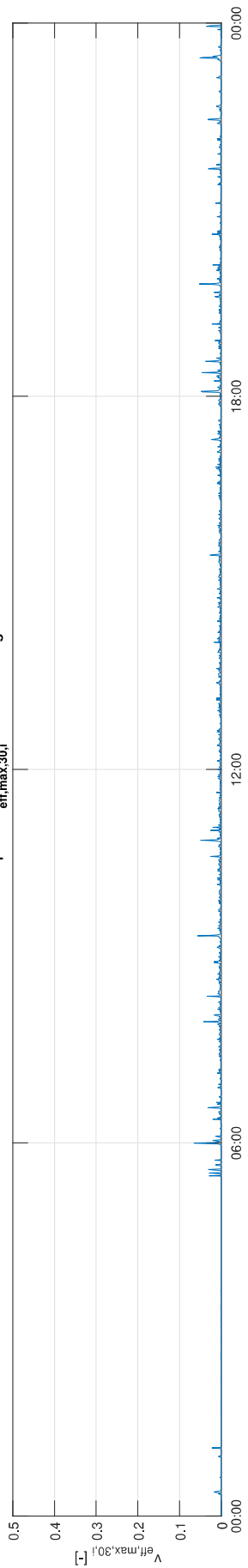


**Verloop van  $v_{eff,max,30,i}$  in de z-richting**

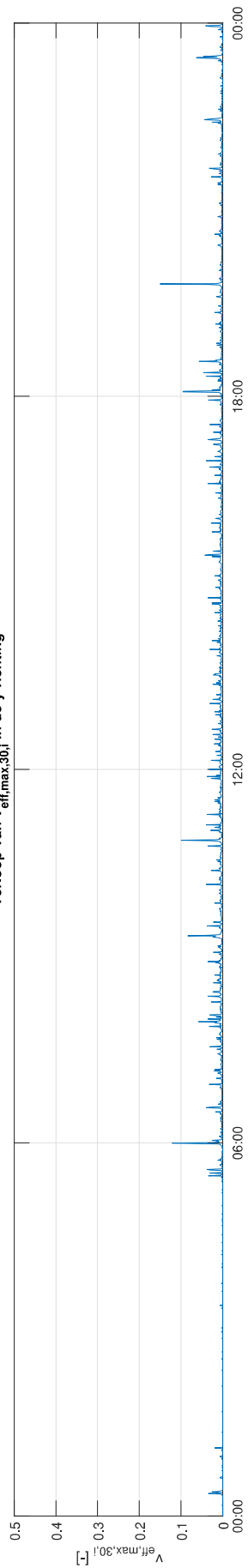


### Verloop van $v_{eff,max,30,i}$ gemeten bij background ZT44 EttenLeur op 31-Oct-2022

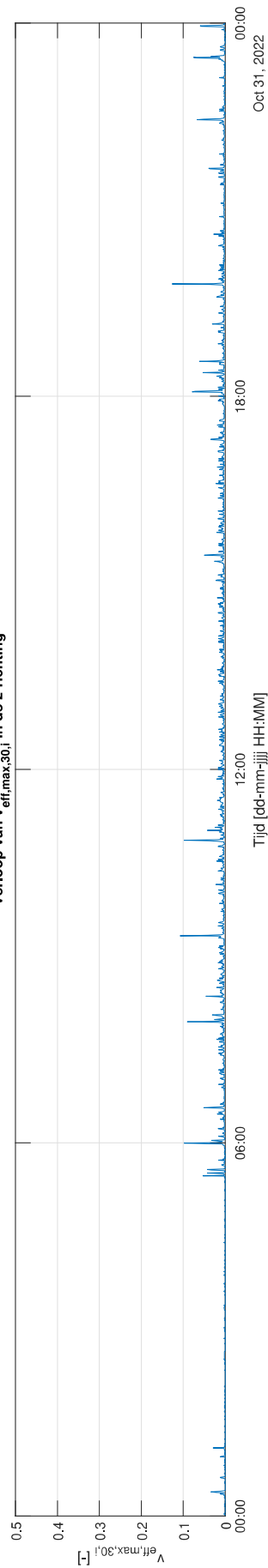
Verloop van  $v_{eff,max,30,i}$  in de x-richting



Verloop van  $v_{eff,max,30,i}$  in de y-richting

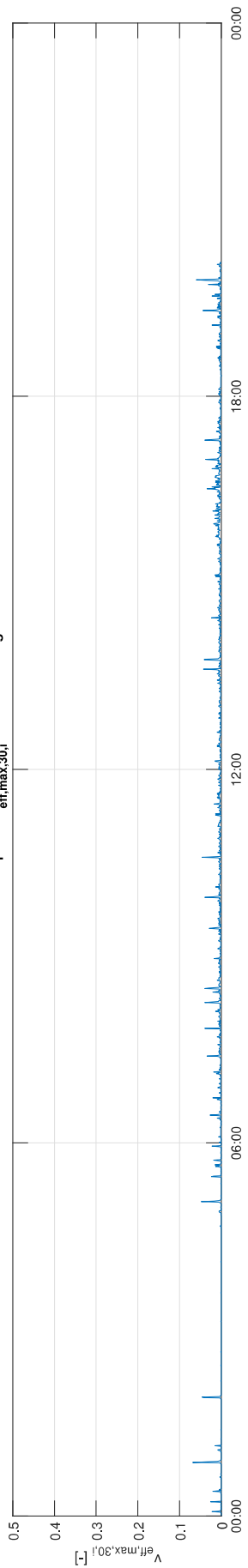


Verloop van  $v_{eff,max,30,i}$  in de z-richting

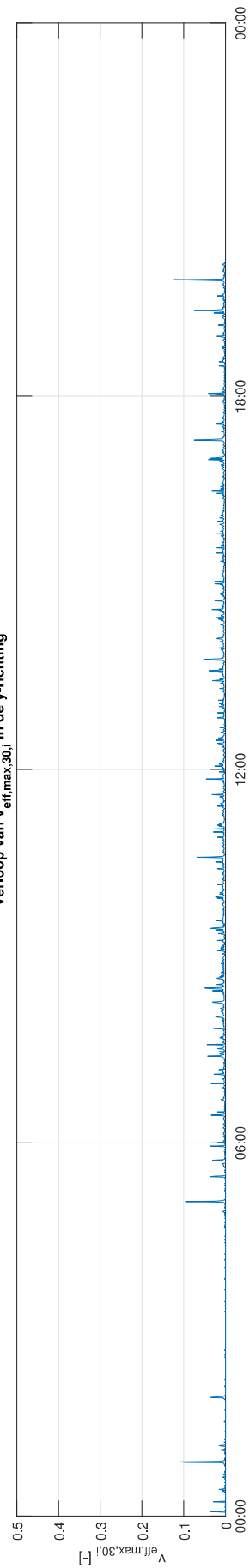


### Verloop van $v_{eff,max,30,i}$ gemeten bij background ZT44 EttenLeur op 01-Nov-2022

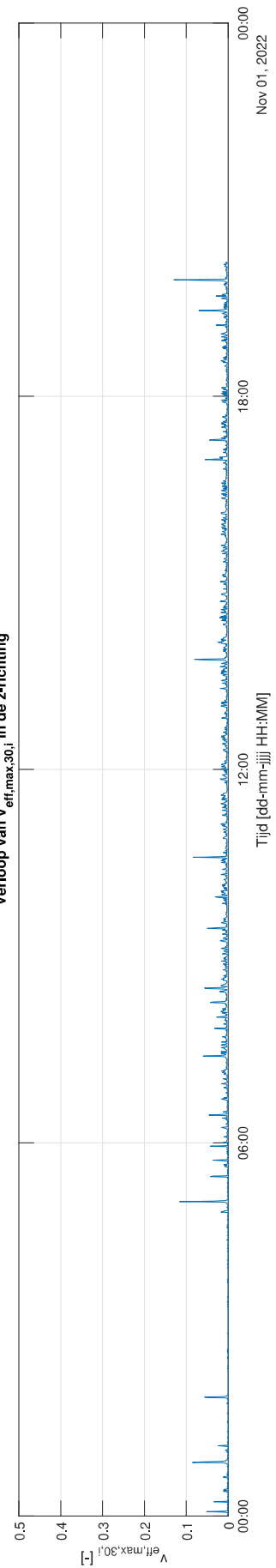
Verloop van  $v_{eff,max,30,i}$  in de x-richting

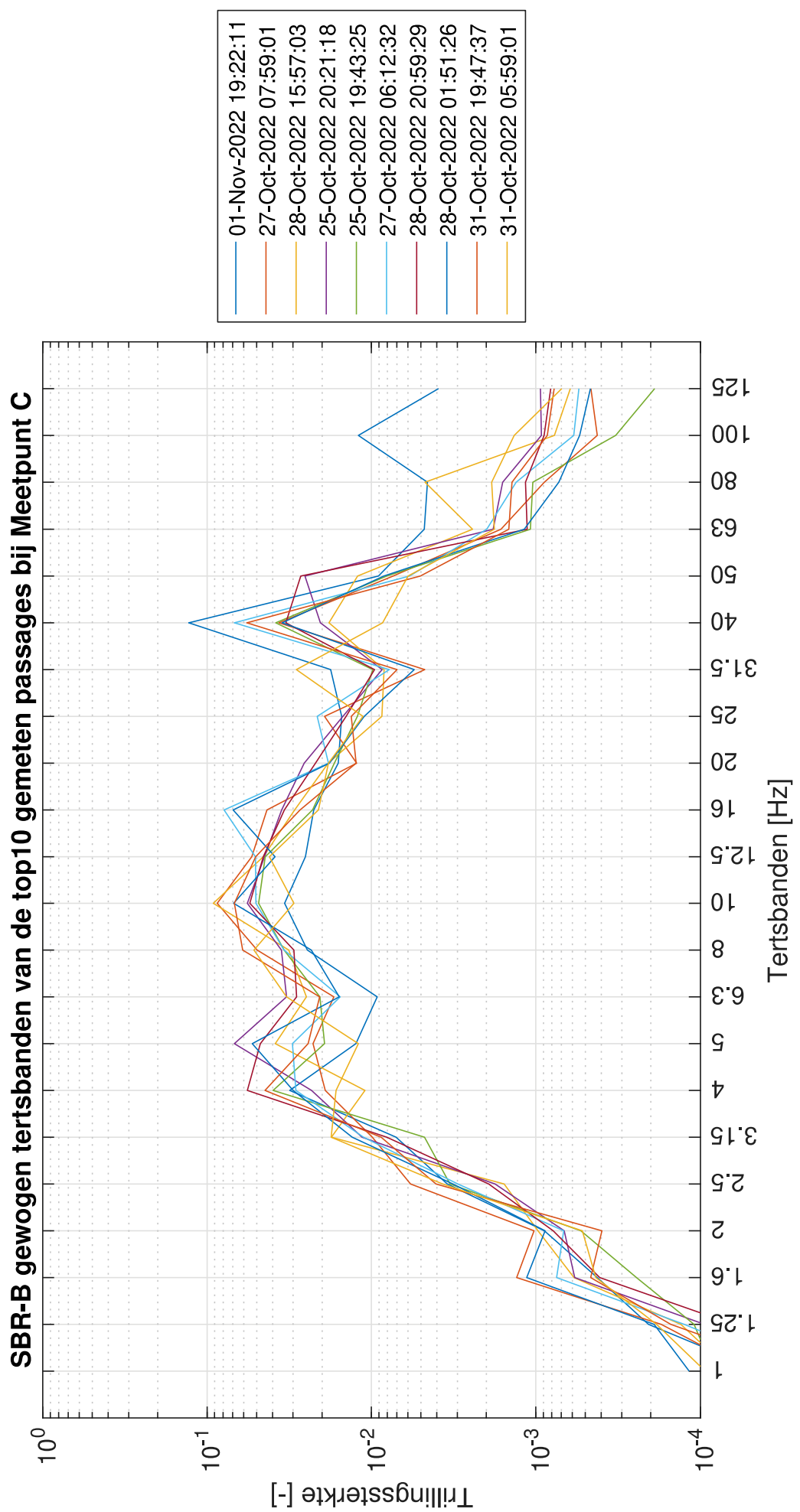


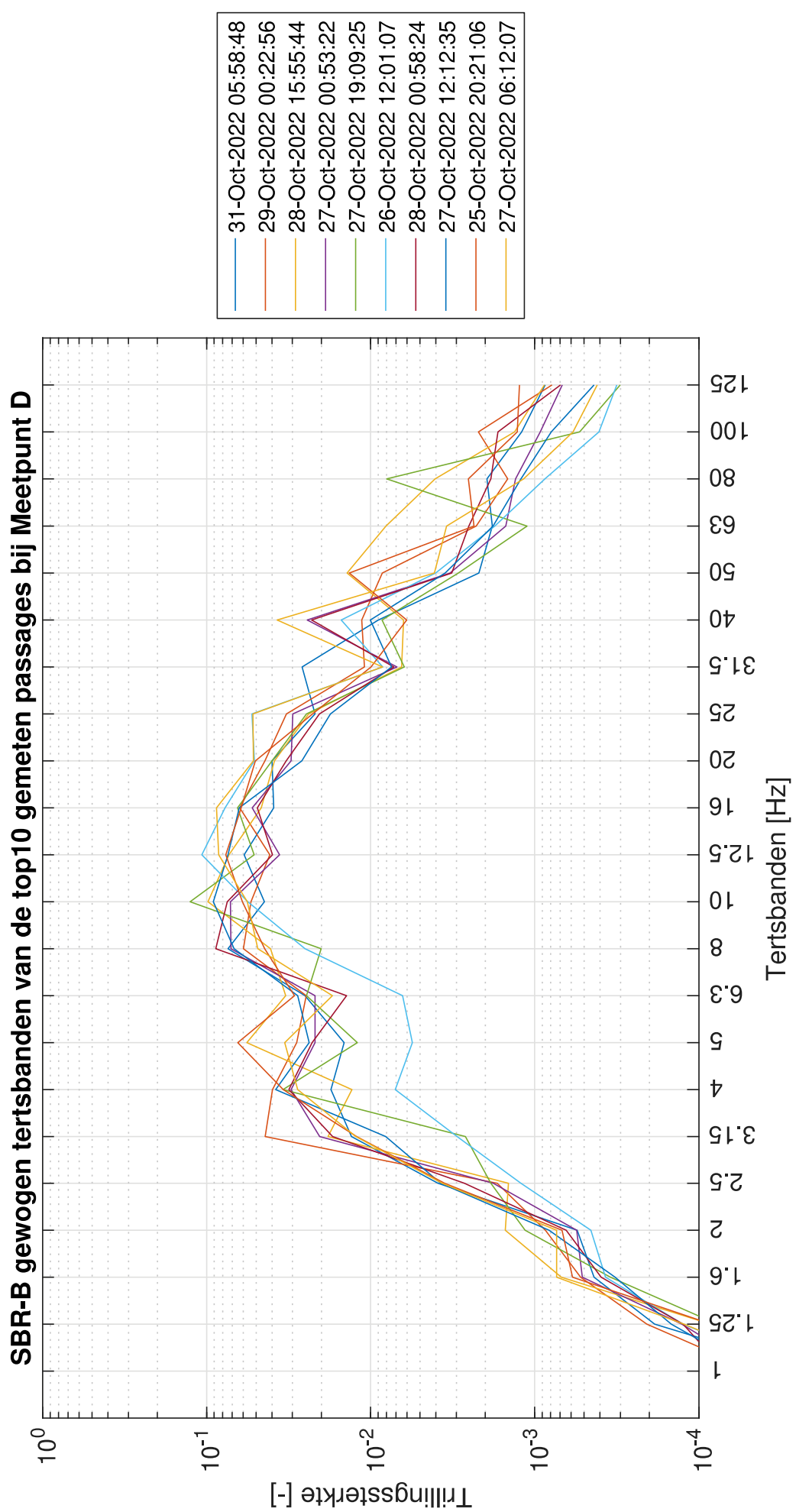
Verloop van  $v_{eff,max,30,i}$  in de y-richting



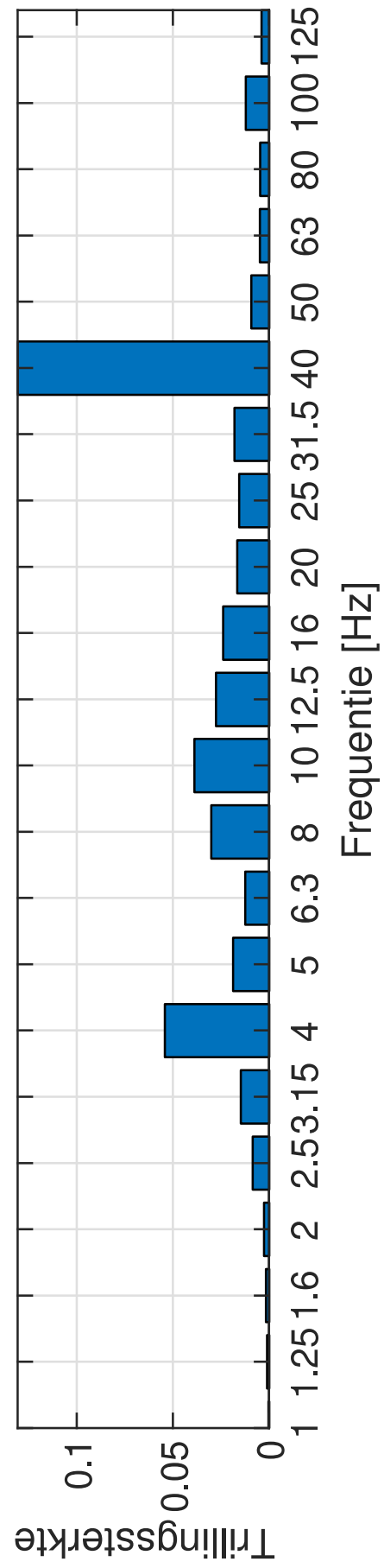
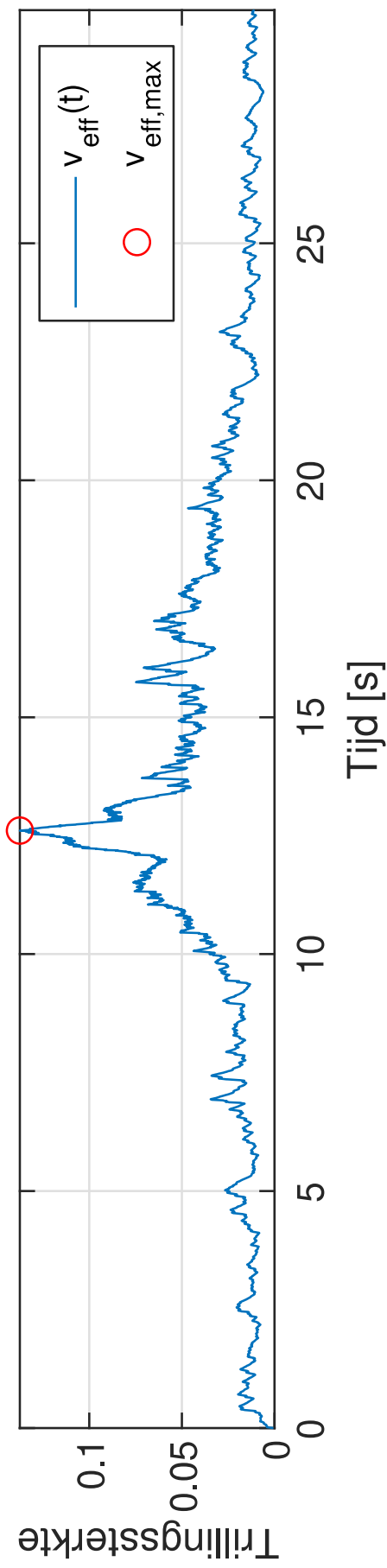
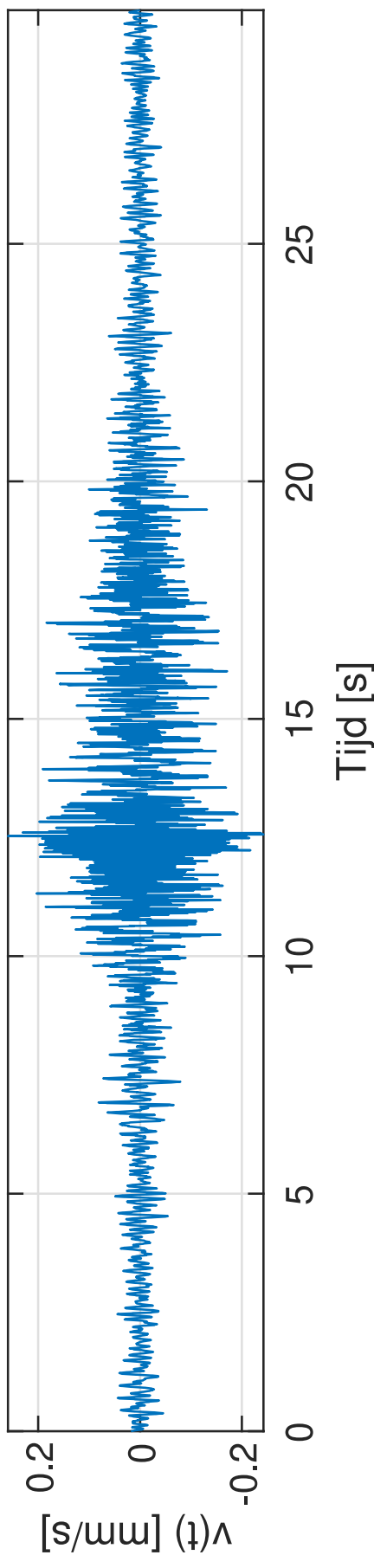
Verloop van  $v_{eff,max,30,i}$  in de z-richting



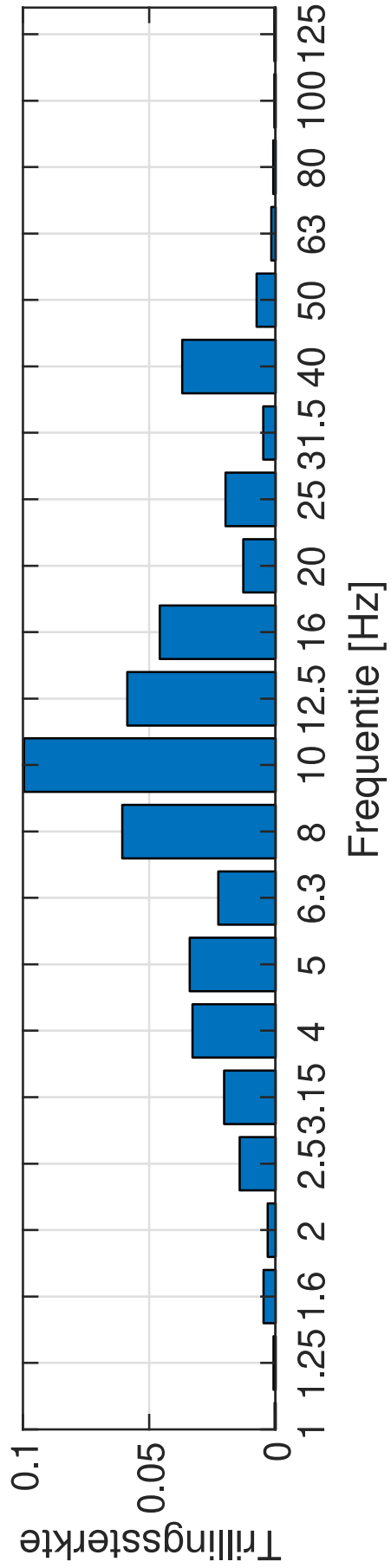
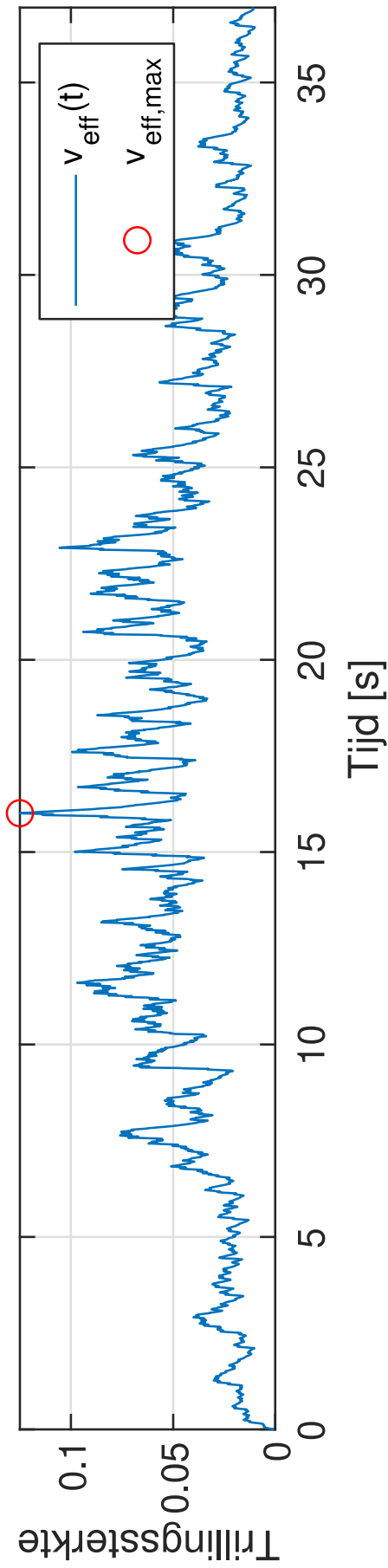
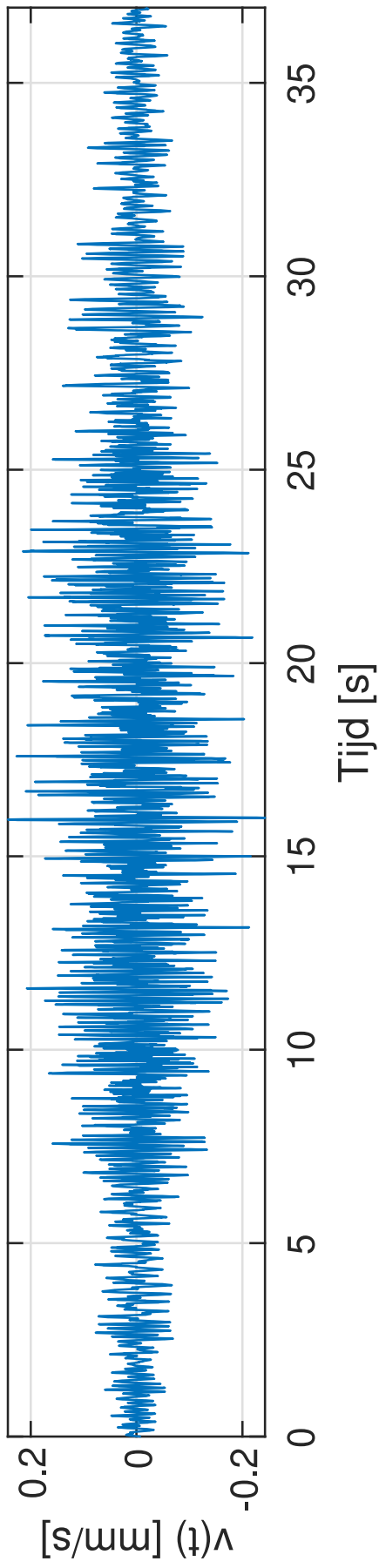




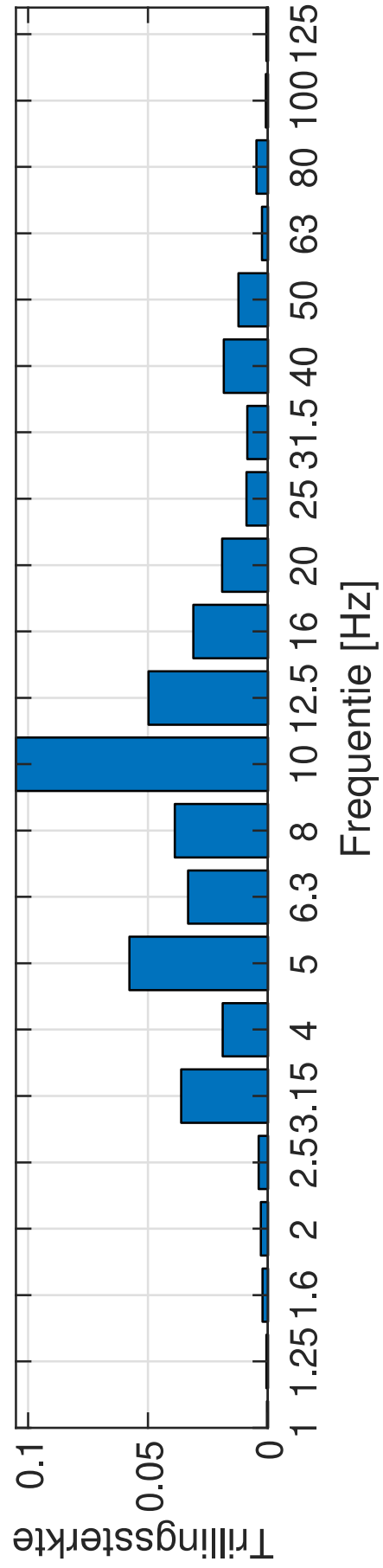
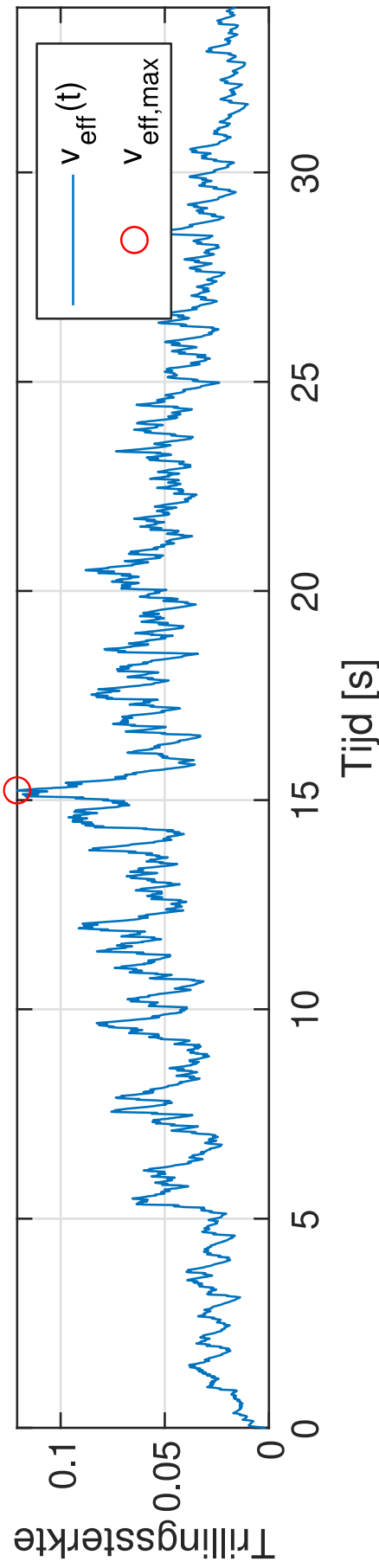
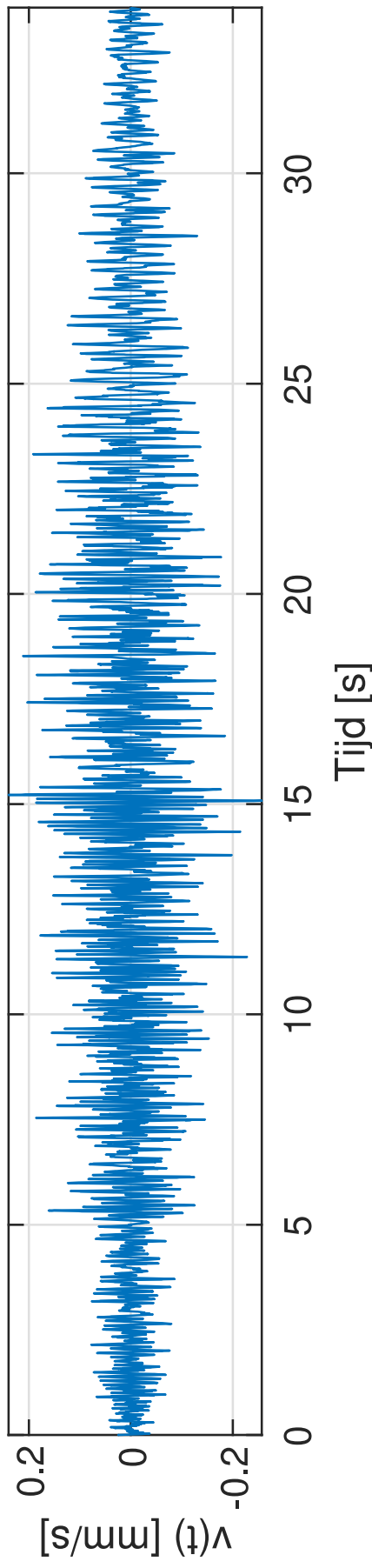
# Treinpassage gemeten bij Meetpunt C om 2022-11-01 19:22



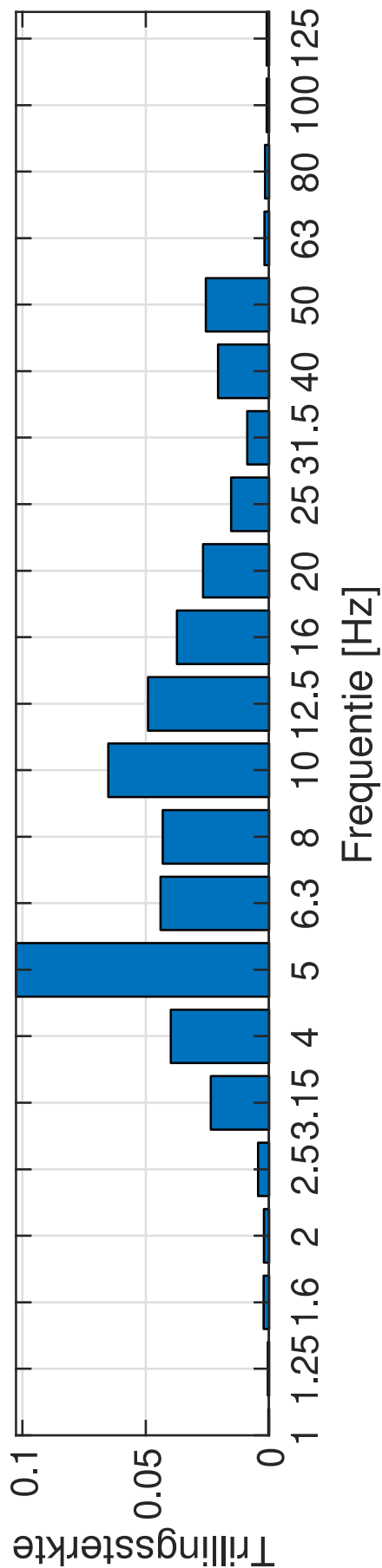
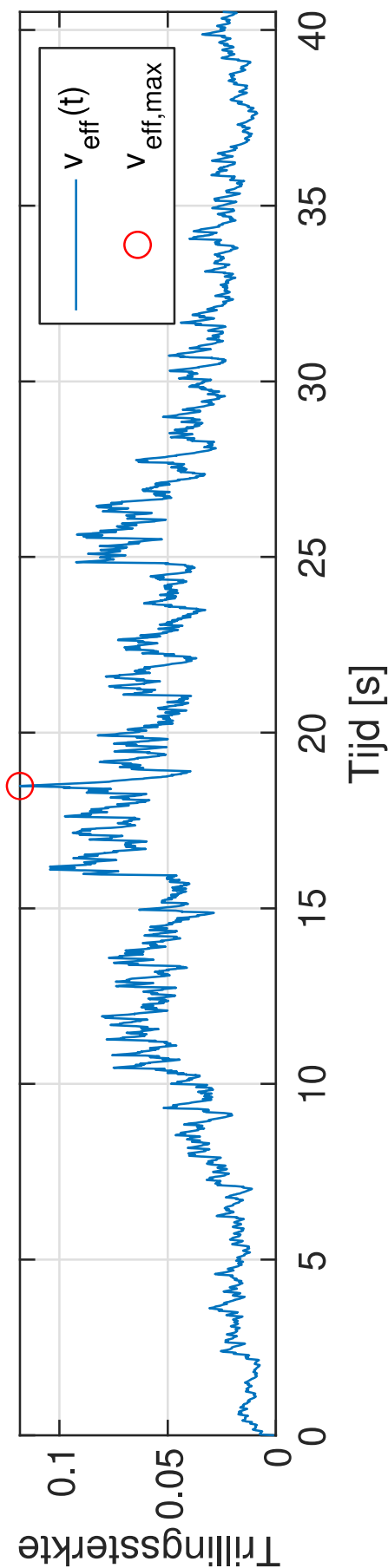
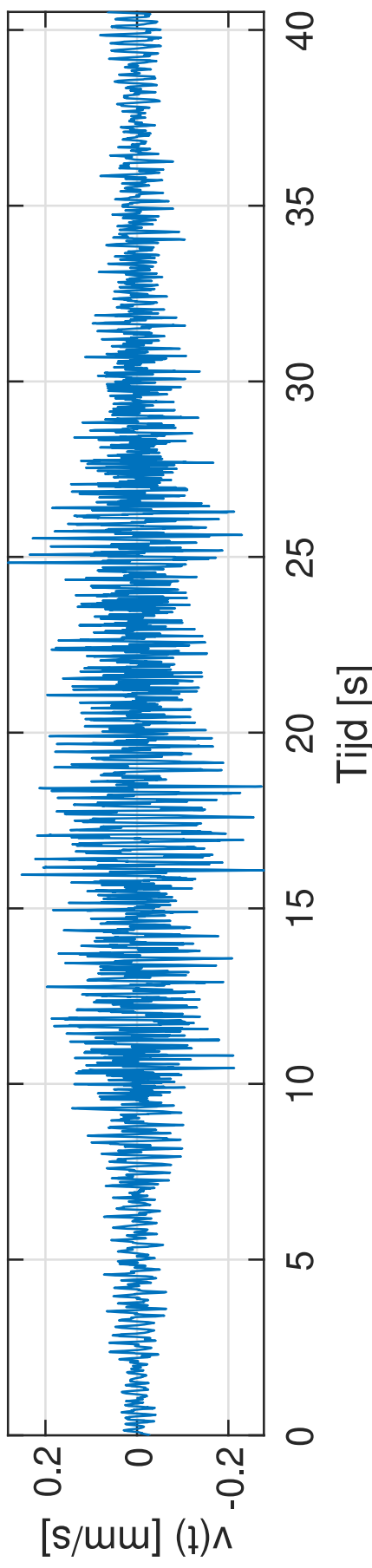
# Treinpassage gemeten bij Meetpunt C om 2022-10-27 07:59



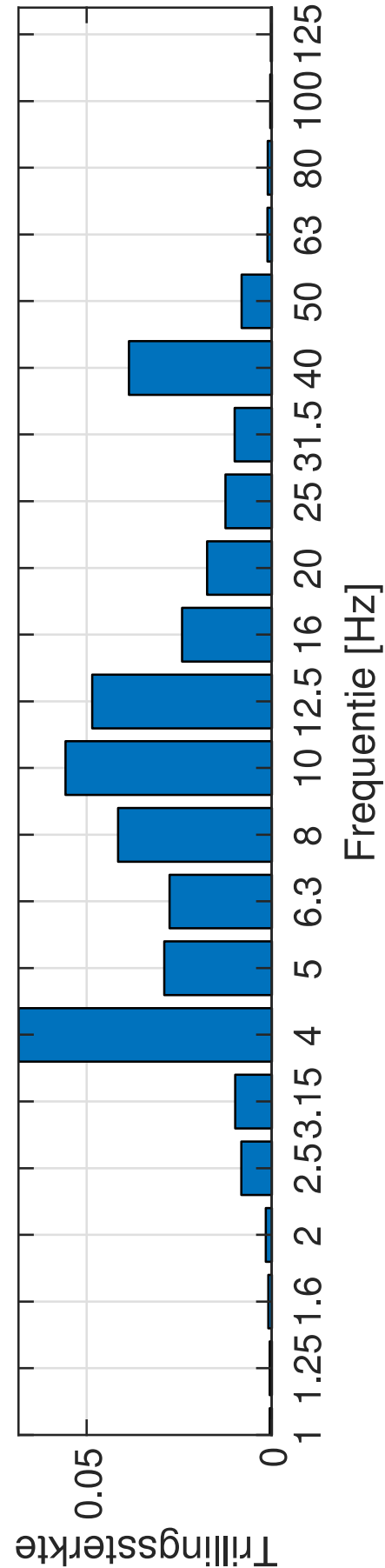
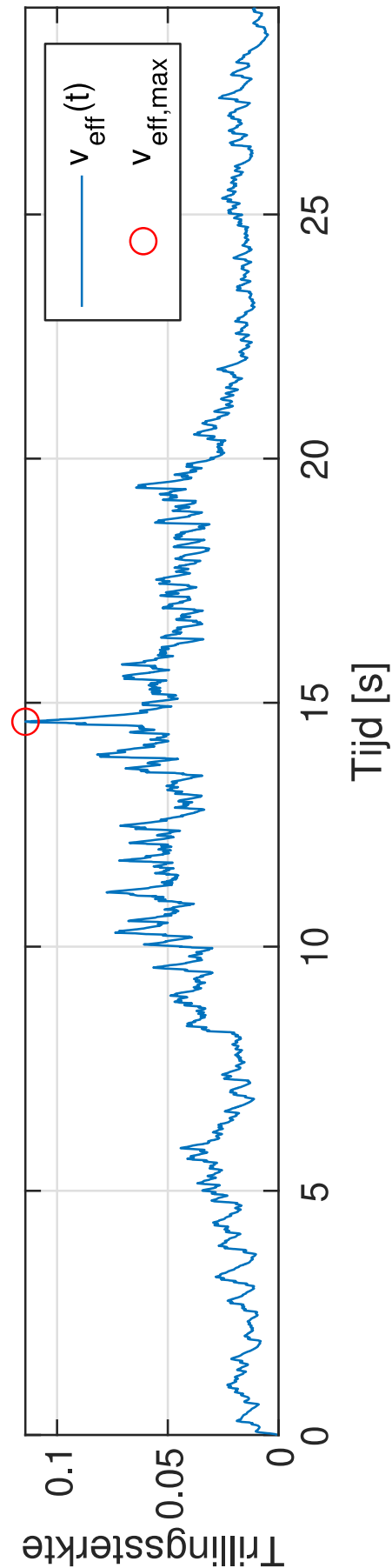
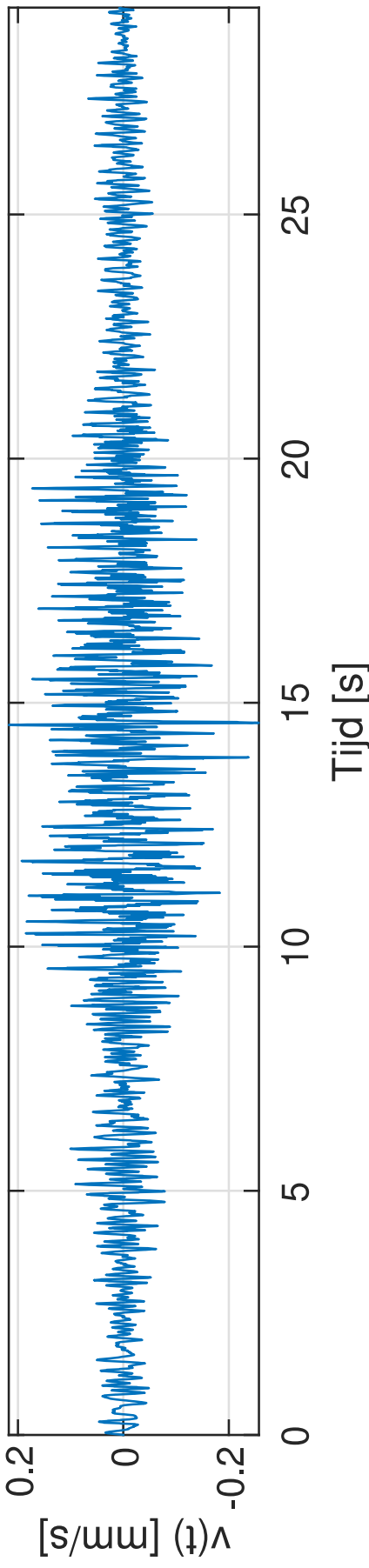
# Treinpassage gemeten bij Meetpunt C om 2022-10-28 15:57



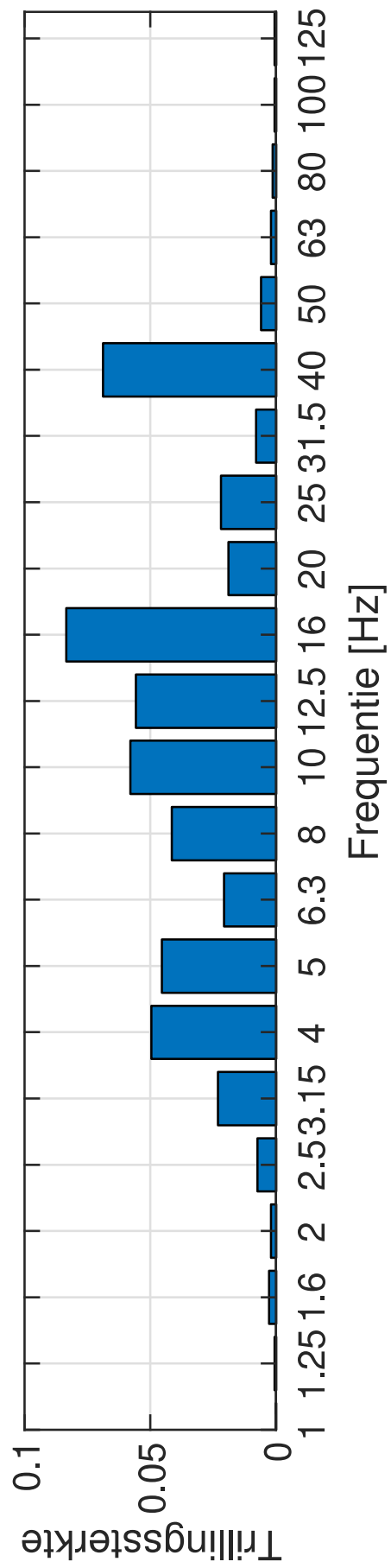
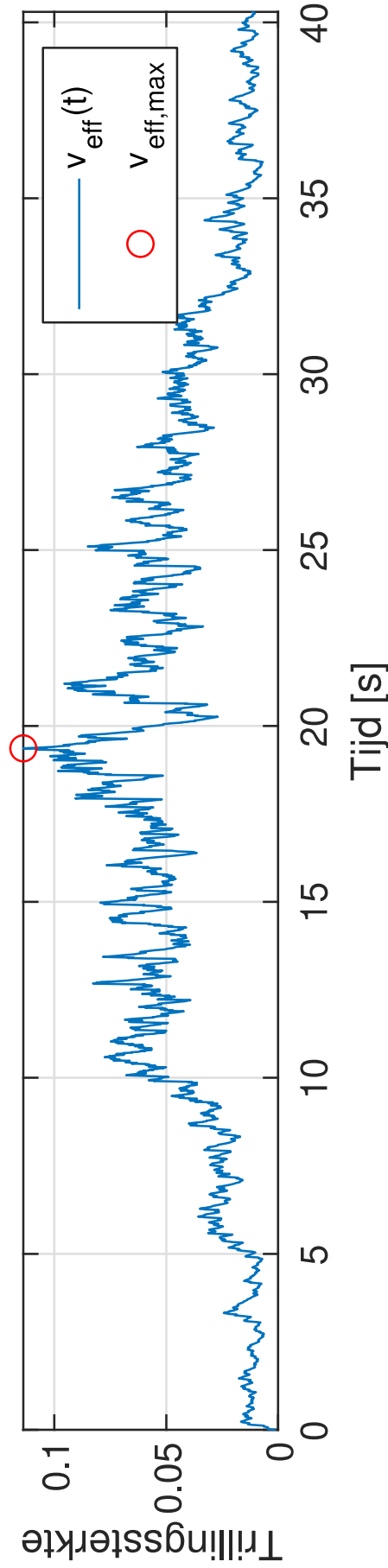
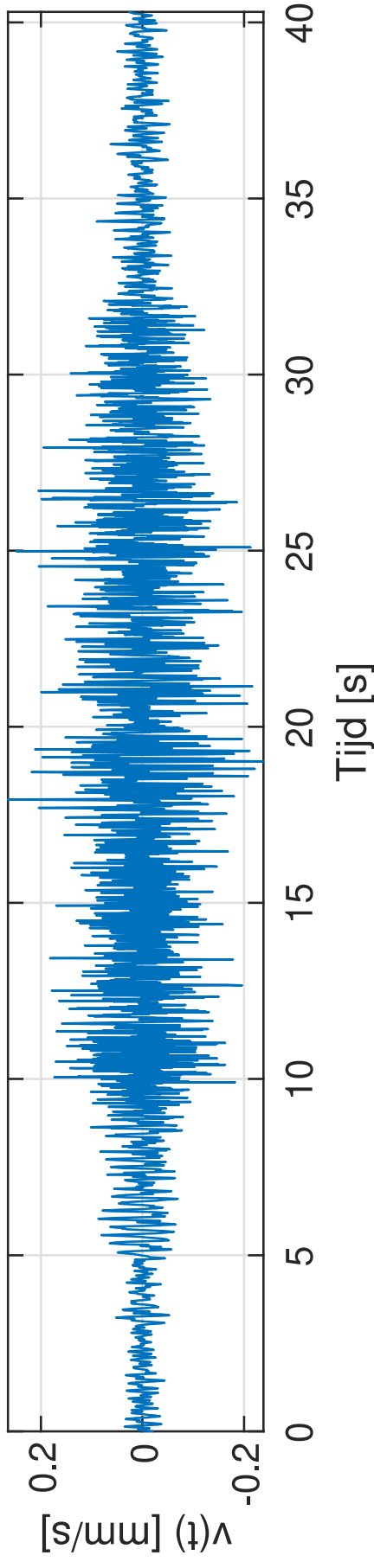
# Treinpassage gemeten bij Meetpunt C om 2022-10-25 20:21



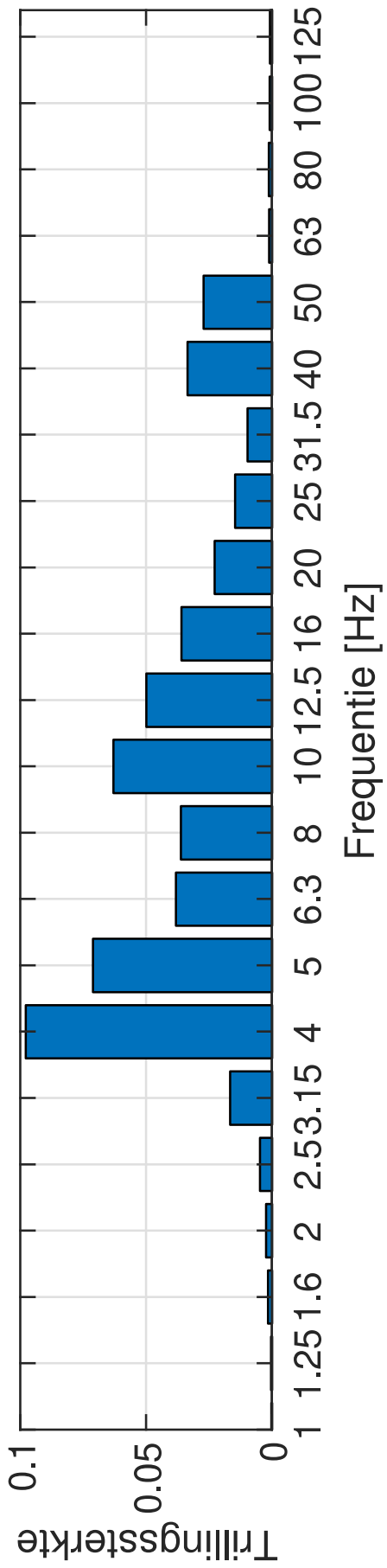
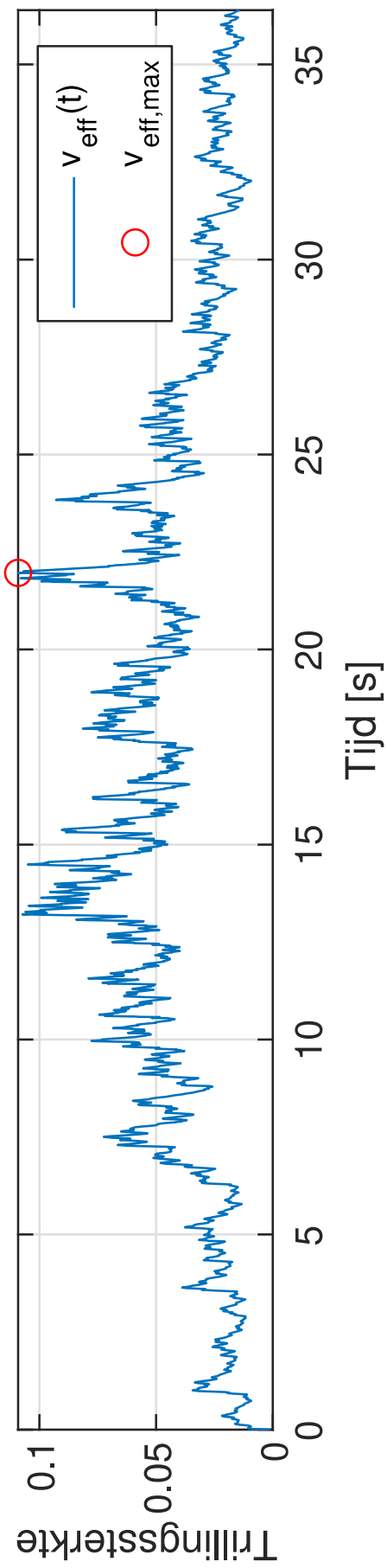
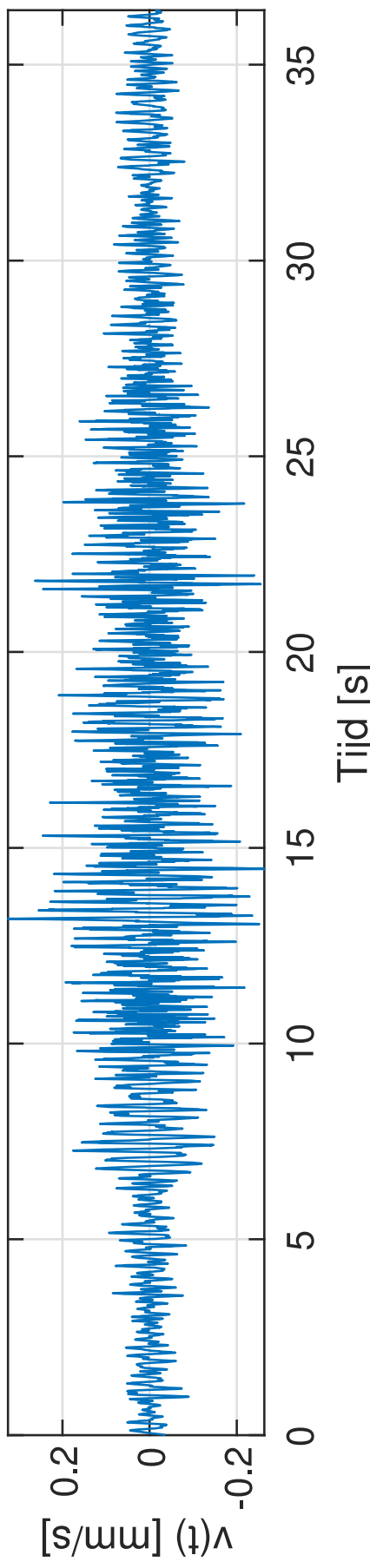
# Treinpassage gemeten bij Meetpunt C om 2022-10-25 19:43



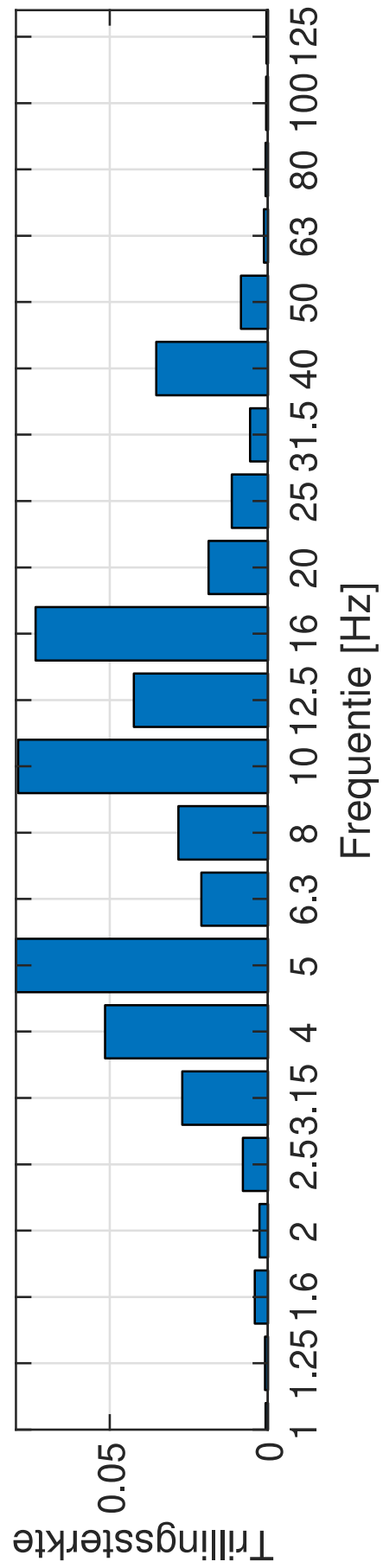
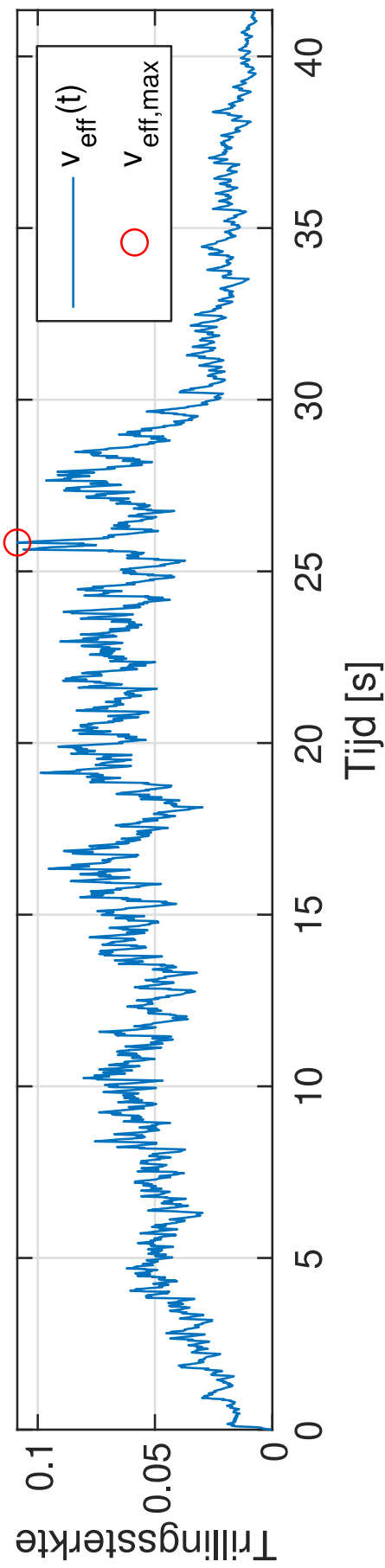
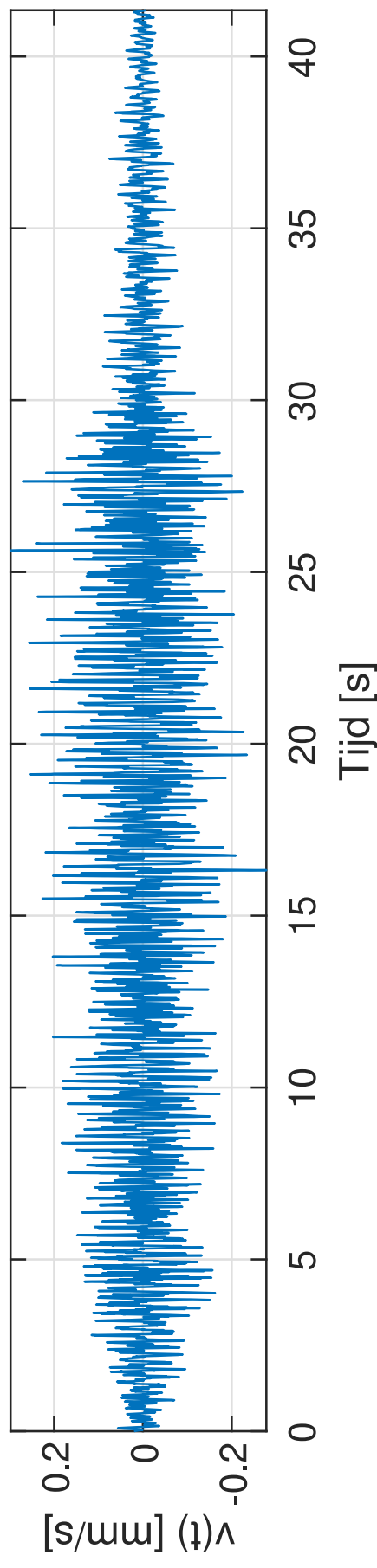
# Treinpassage gemeten bij Meetpunt C om 2022-10-27 06:12



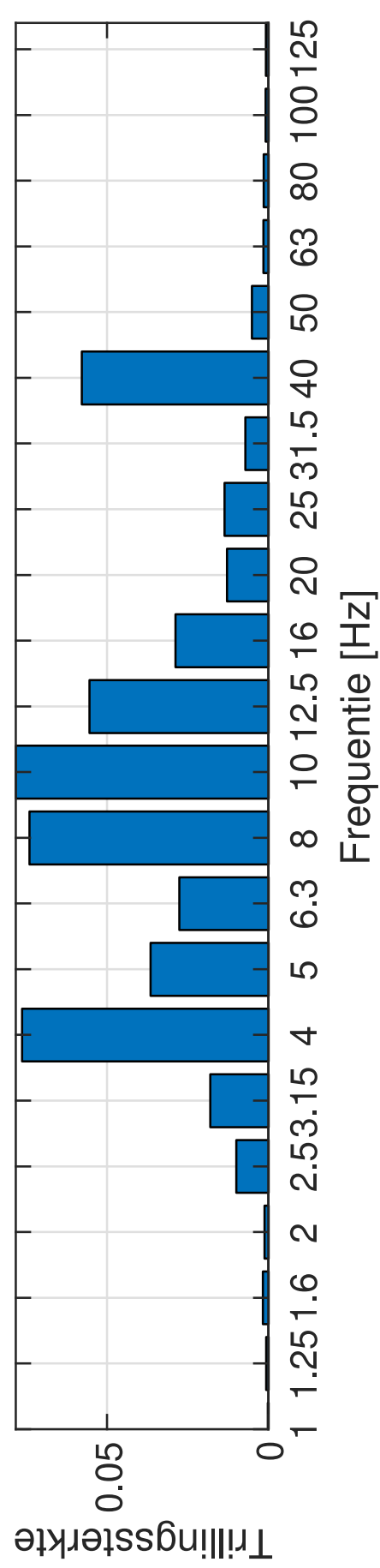
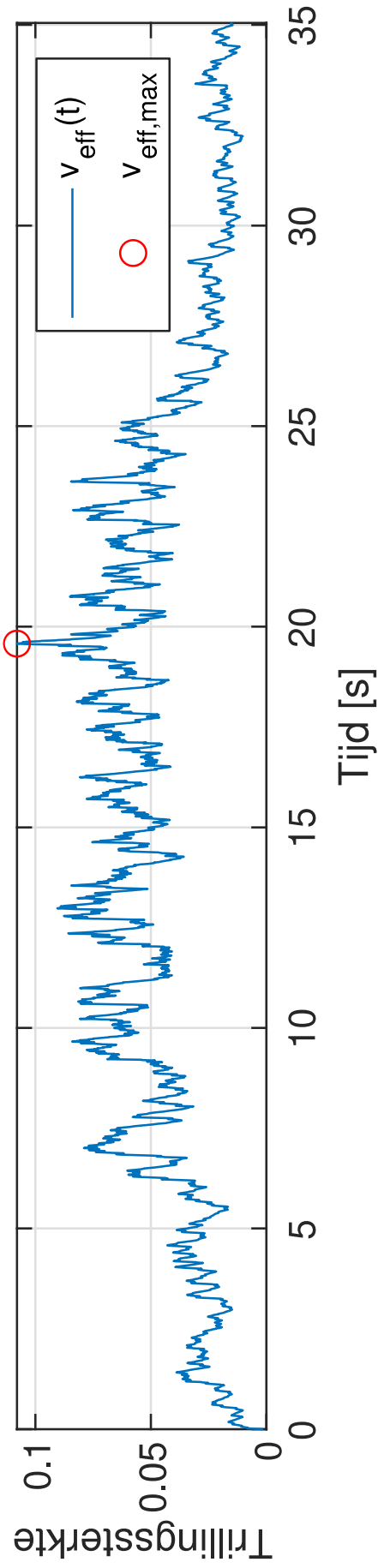
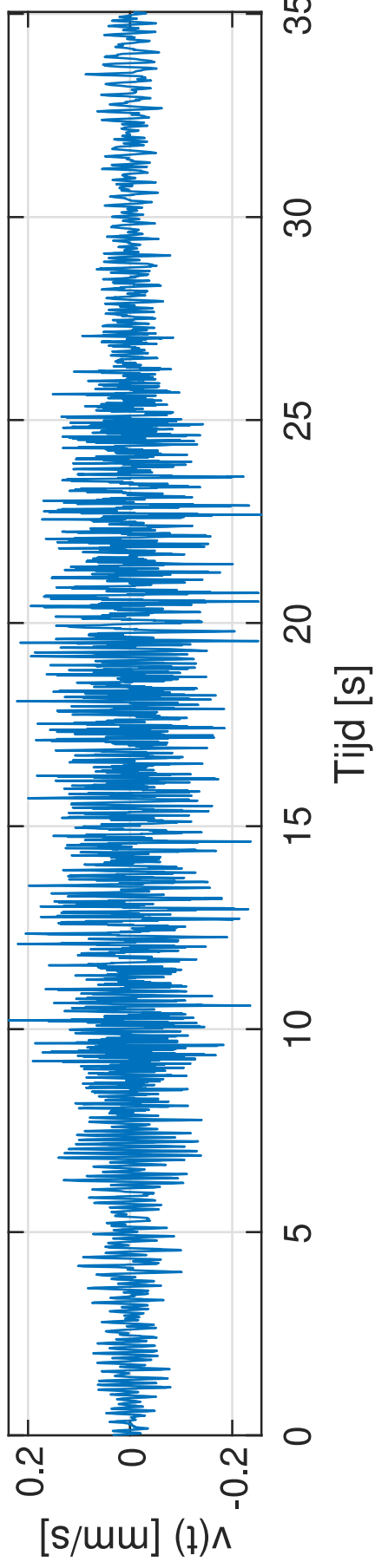
# Treinpassage gemeten bij Meetpunt C om 2022-10-28 20:59



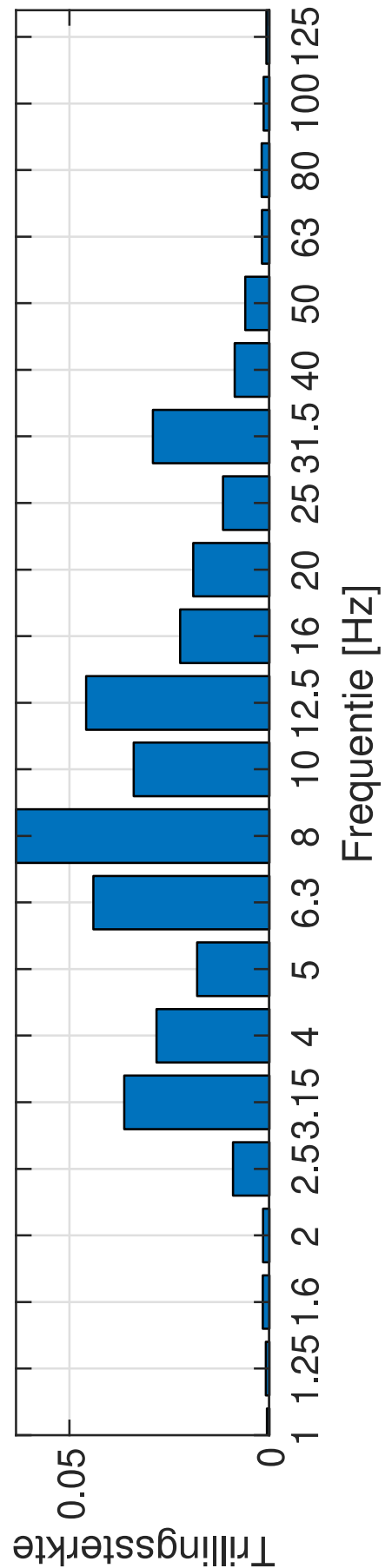
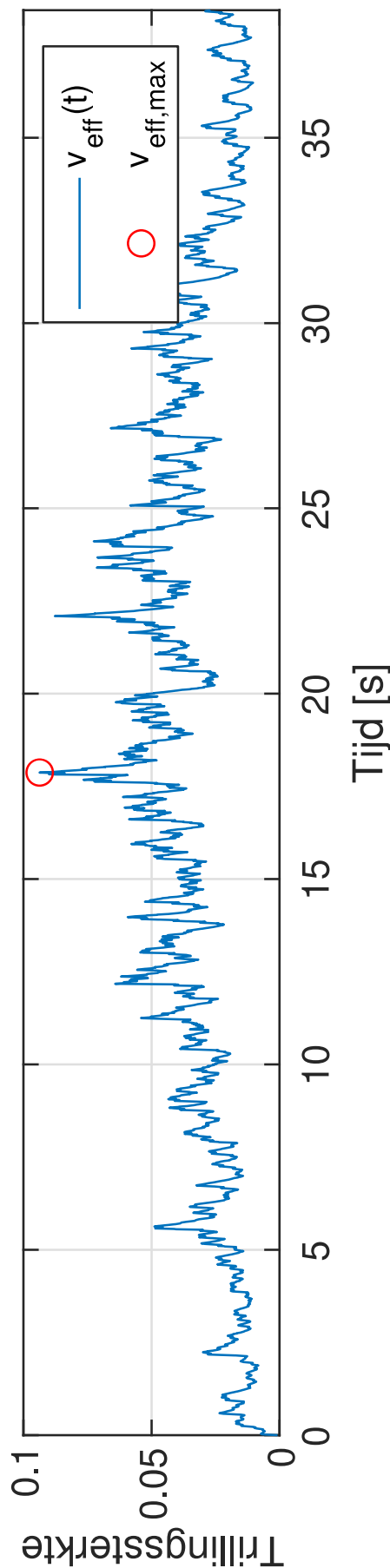
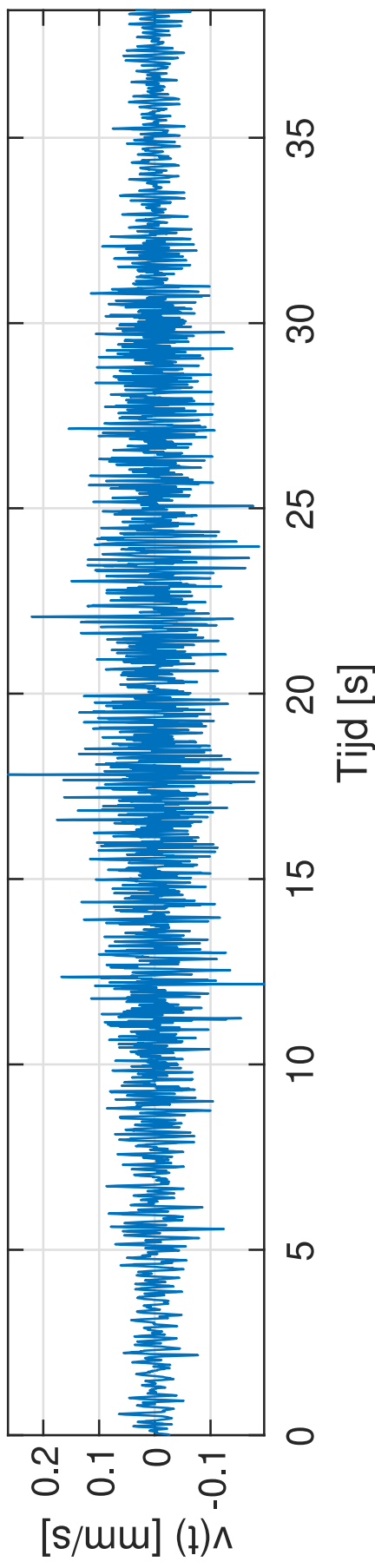
# Treinpassage gemeten bij Meetpunt C om 2022-10-28 01:51



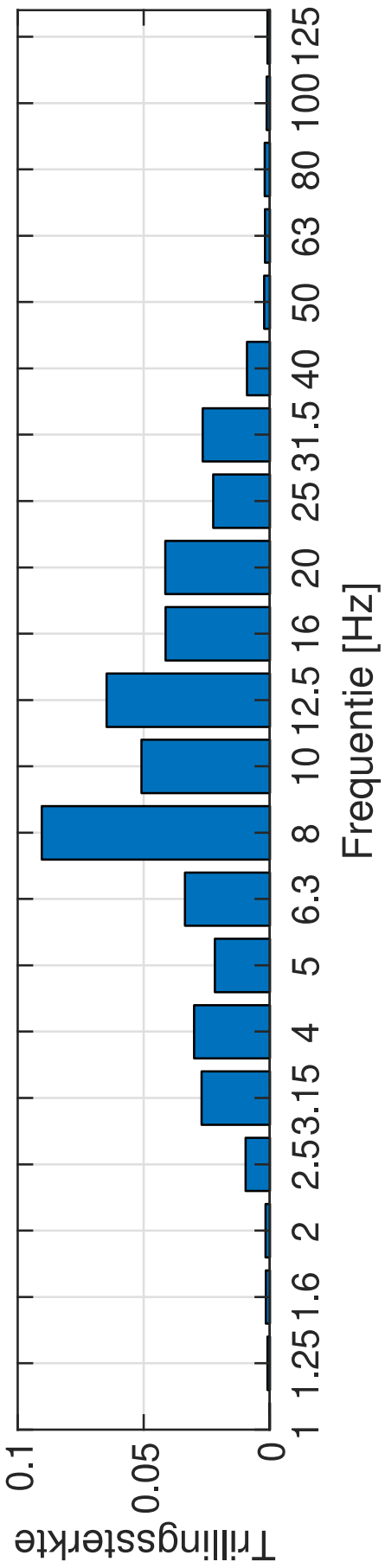
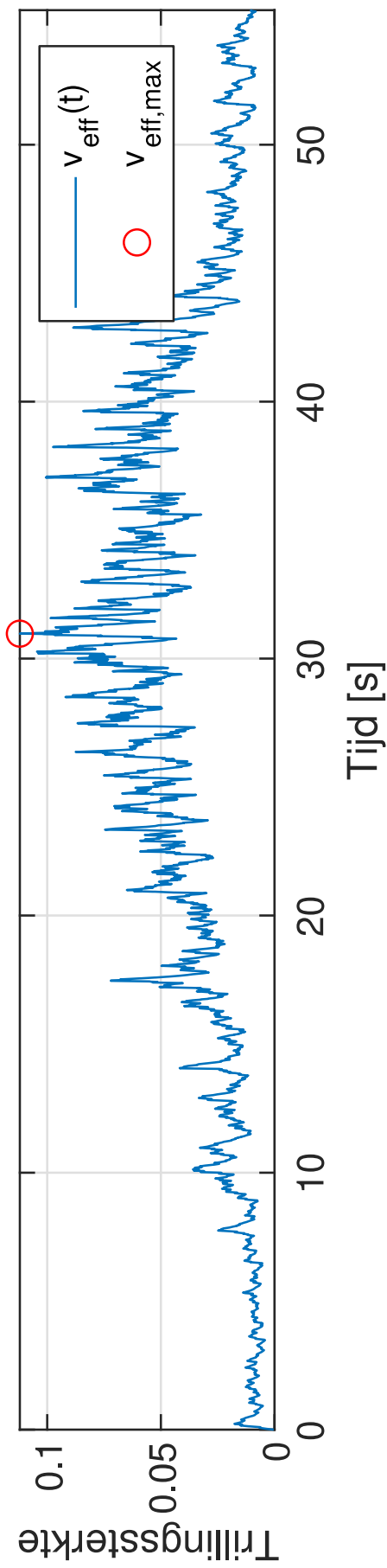
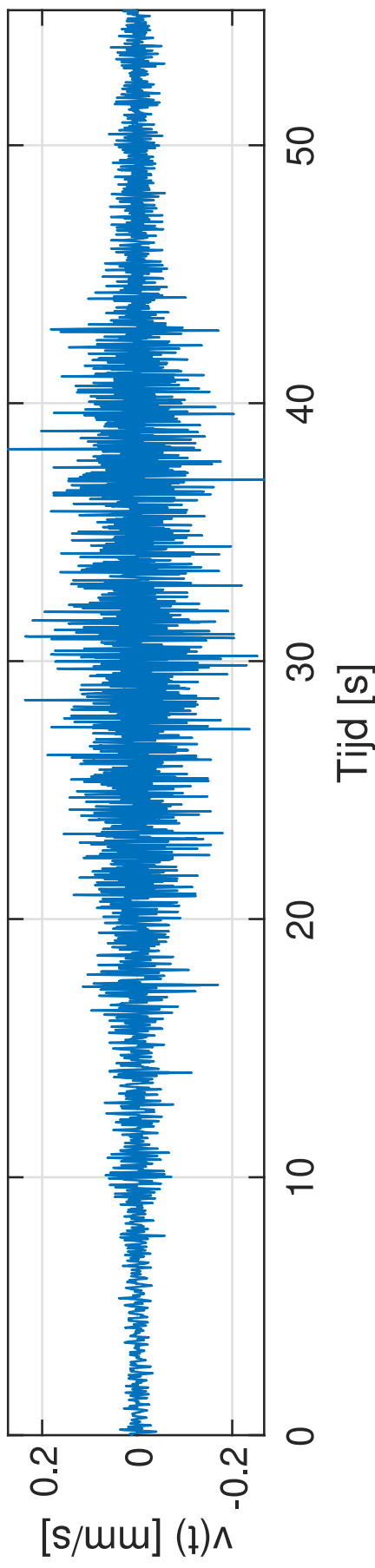
# Treinpassage gemeten bij Meetpunt C om 2022-10-31 19:47



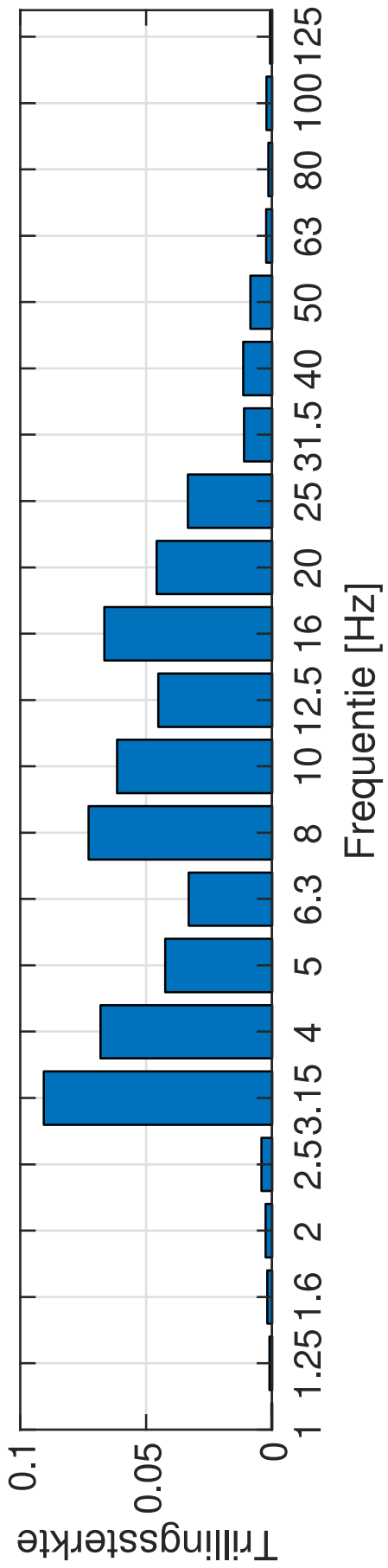
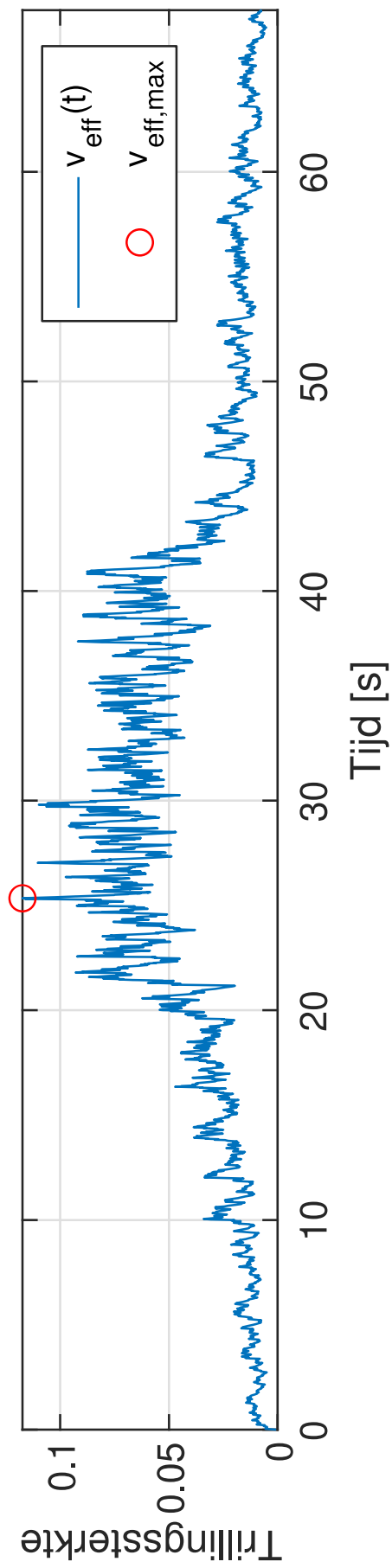
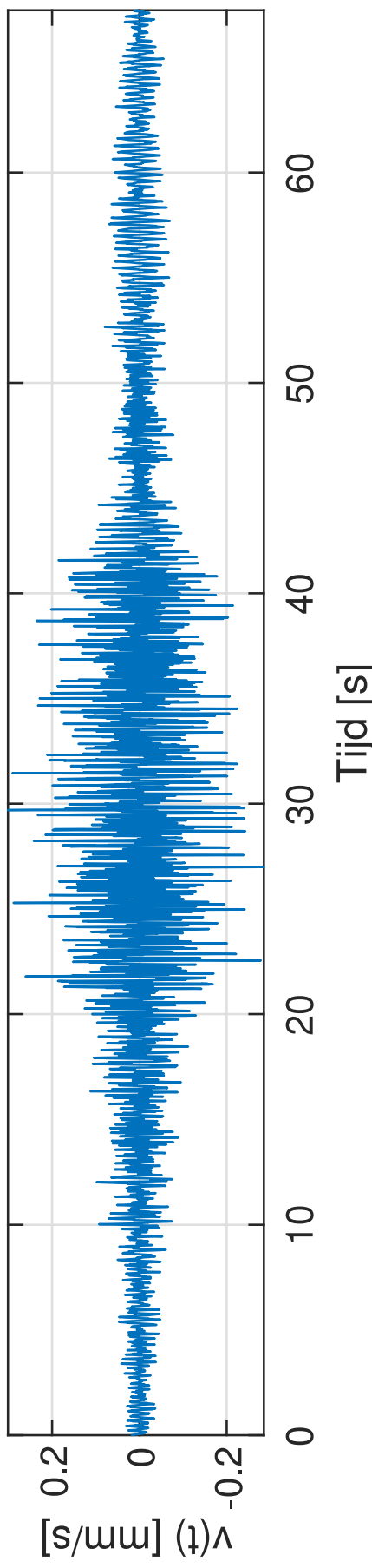
# Treinpassage gemeten bij Meetpunt C om 2022-10-31 05:59



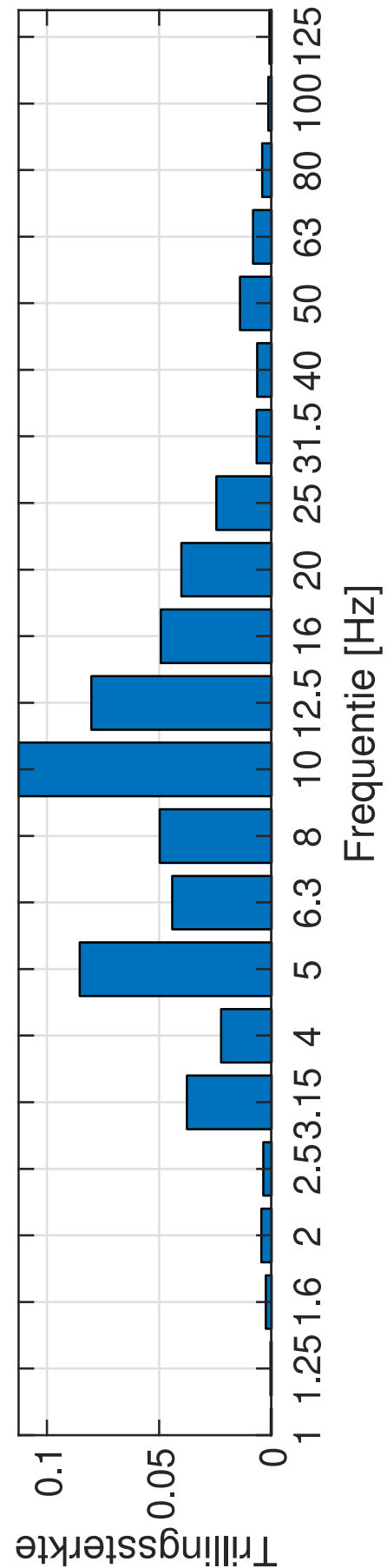
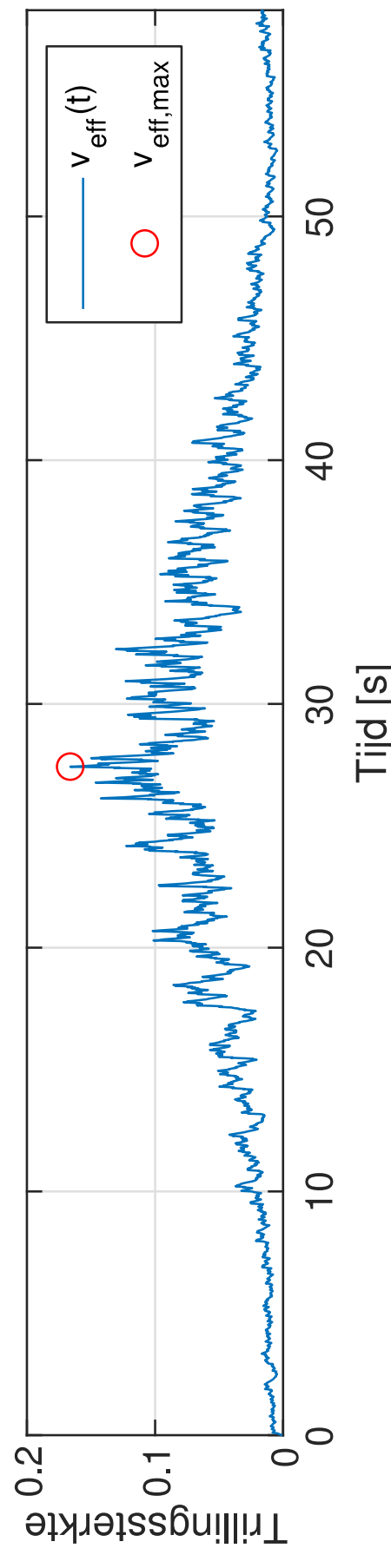
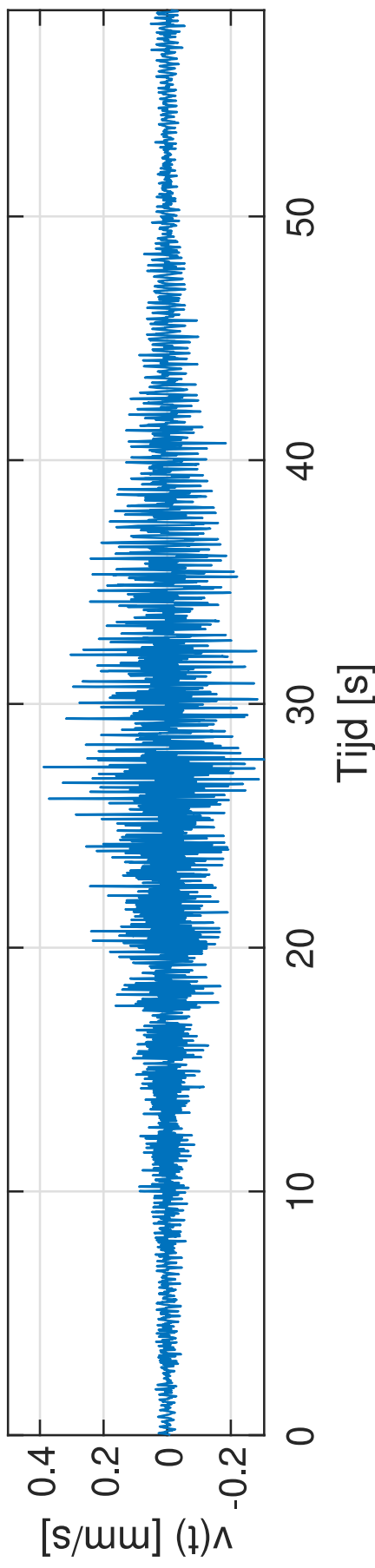
# Treinpassage gemeten bij Meetpunt Dom 2022-10-31 05:58



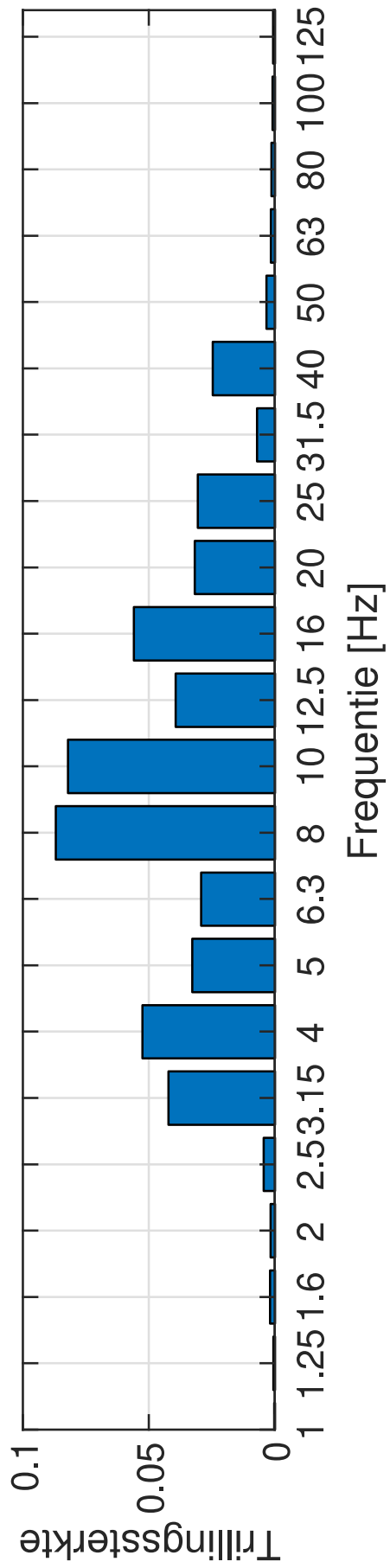
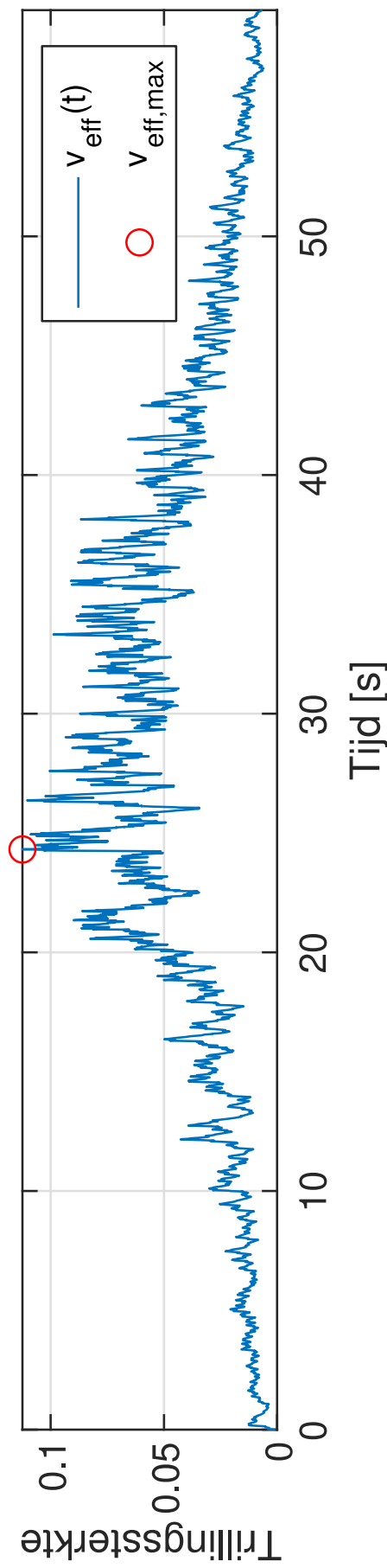
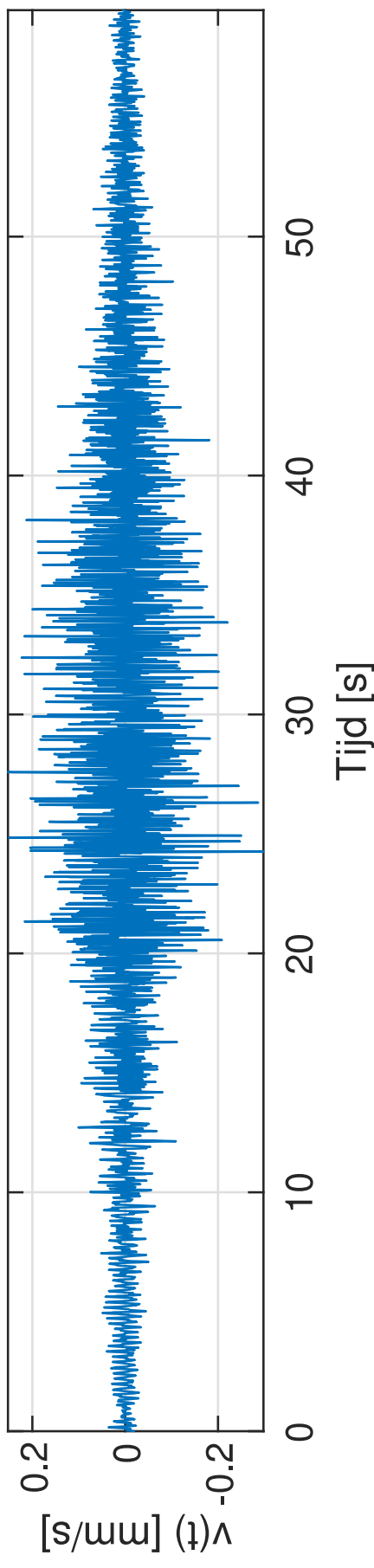
# Treinpassage gemeten bij Meetpunt Dom 2022-10-29 00:22



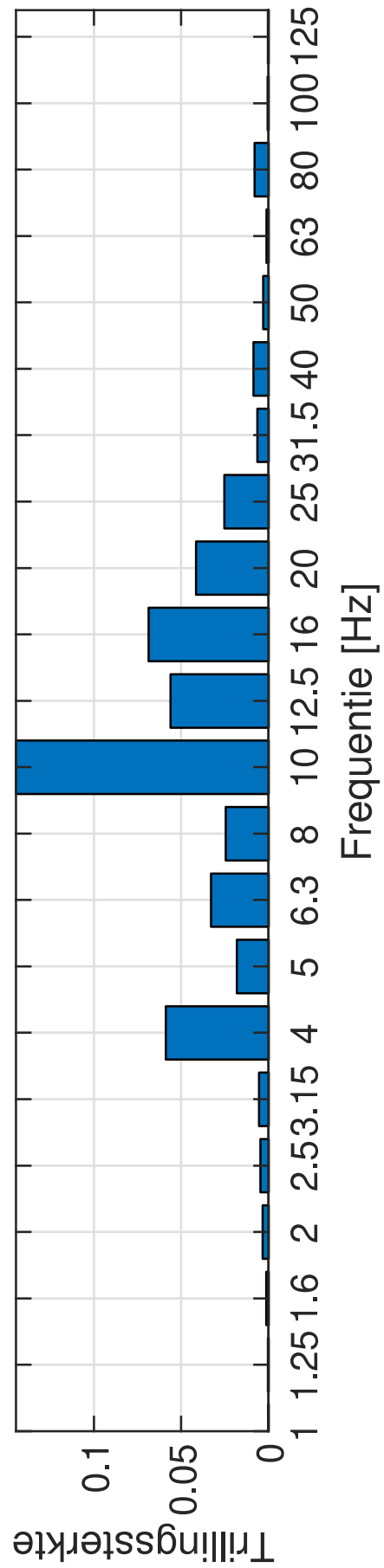
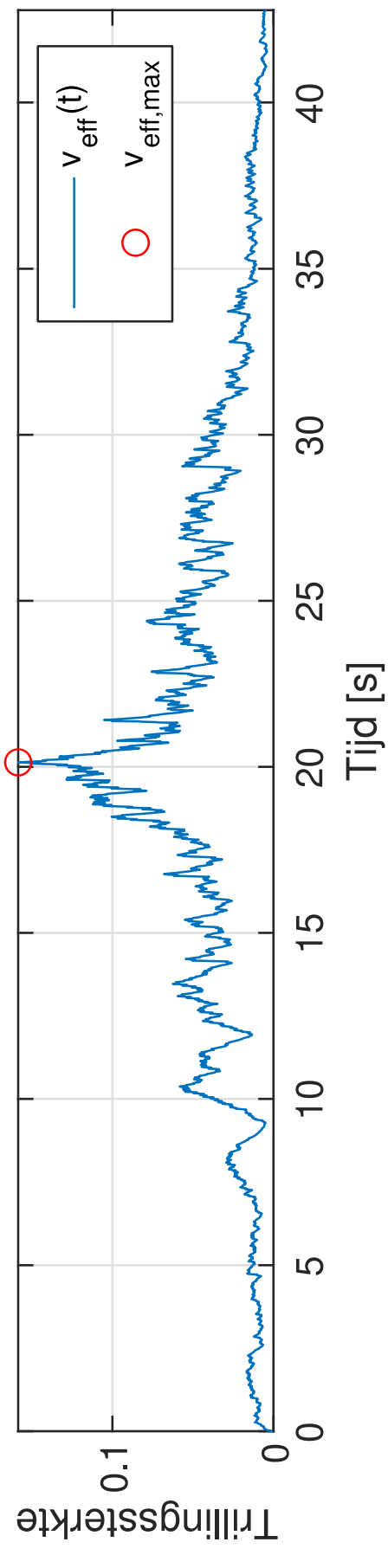
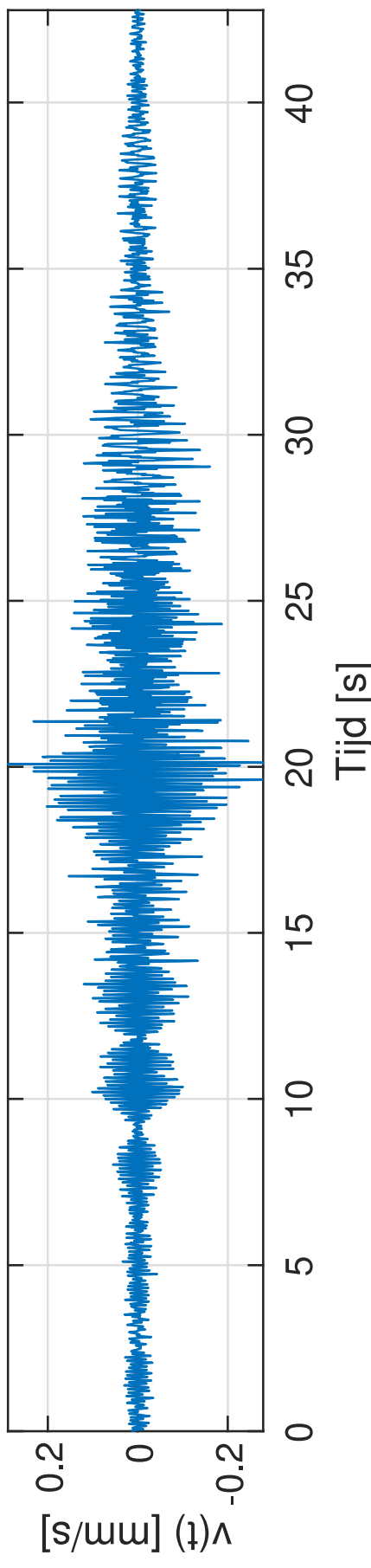
# Treinpassage gemeten bij Meetpunt Dom 2022-10-28 15:55



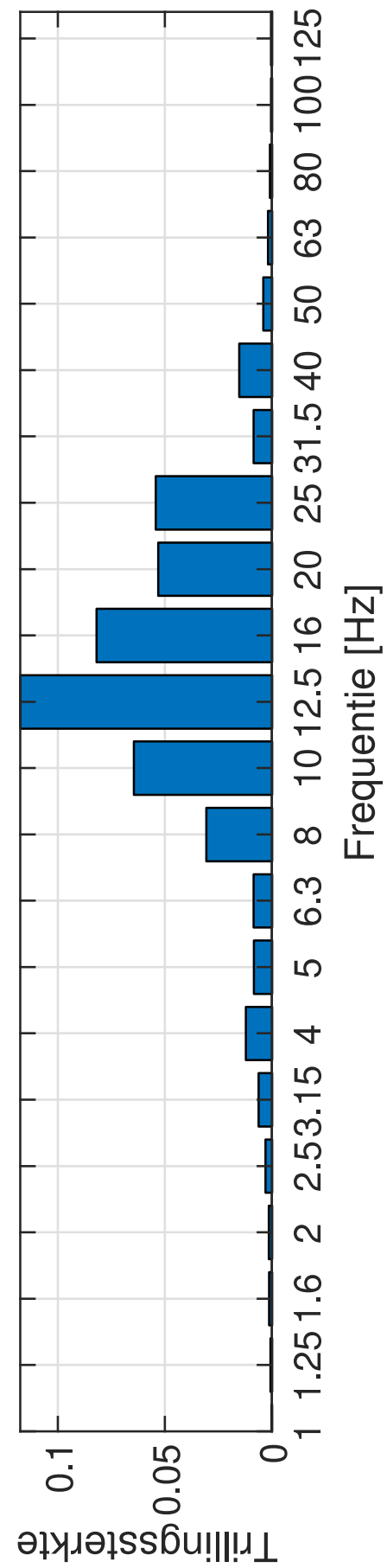
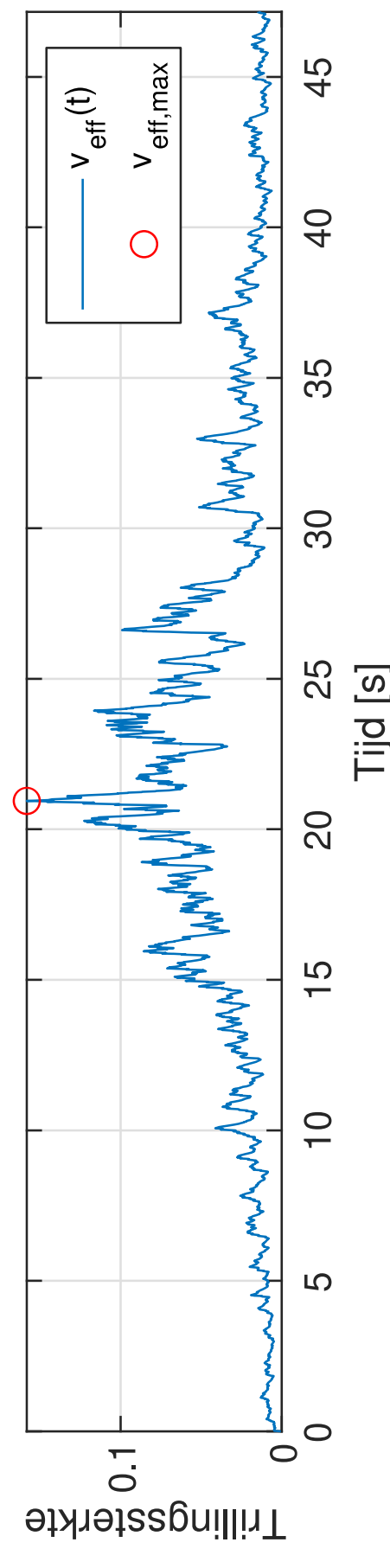
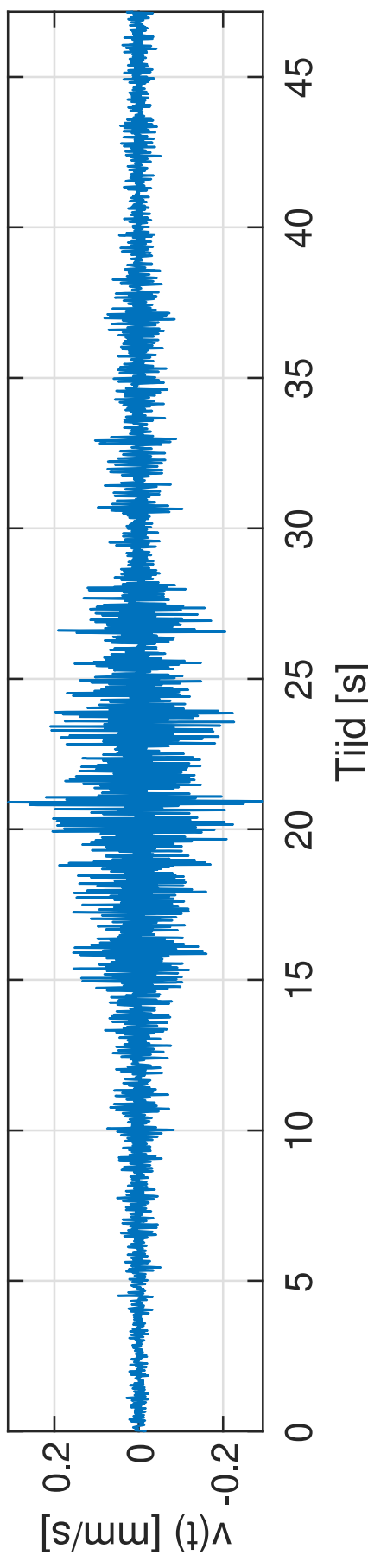
# Treinpassage gemeten bij Meetpunt Dom 2022-10-27 00:53



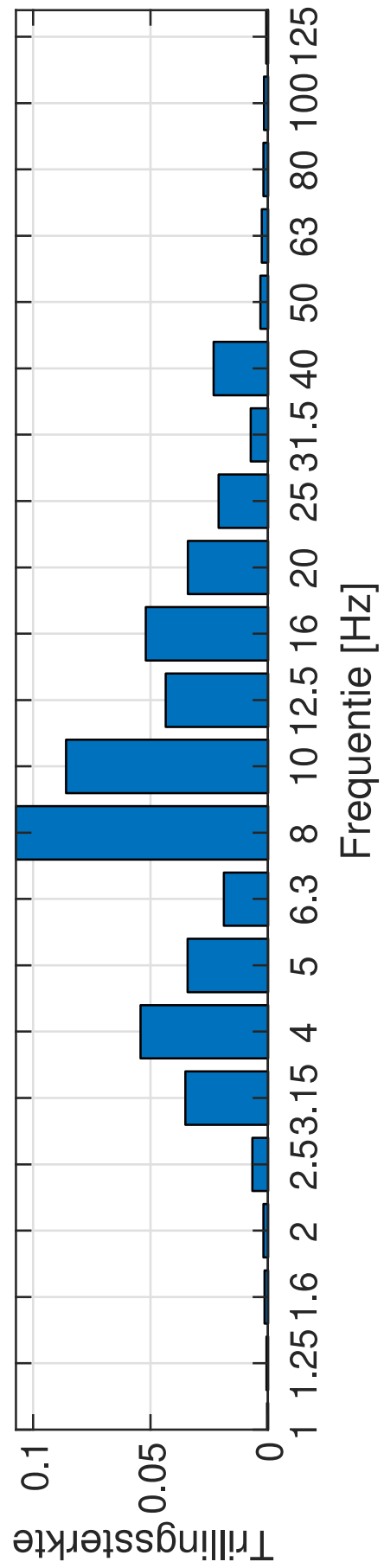
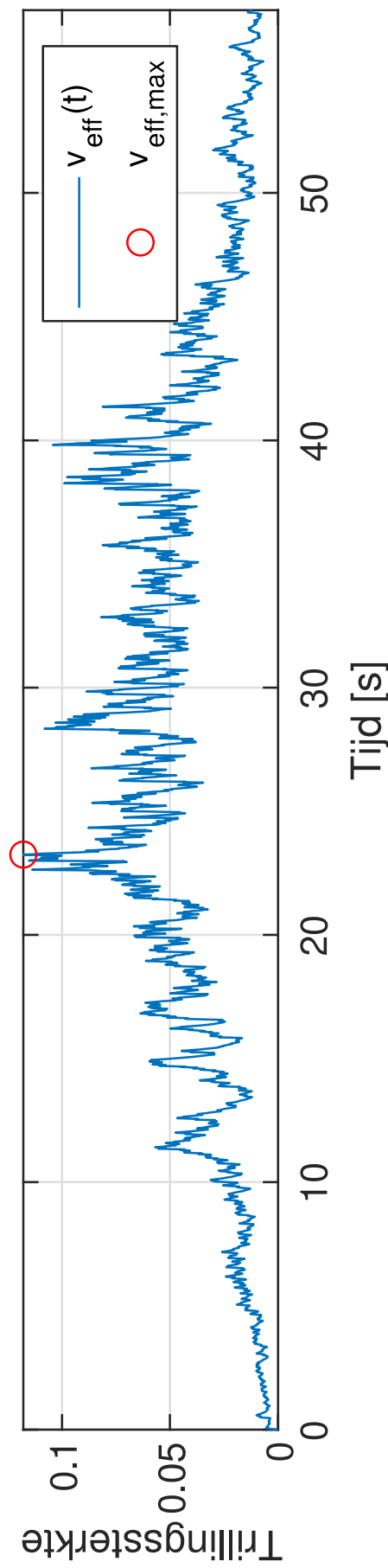
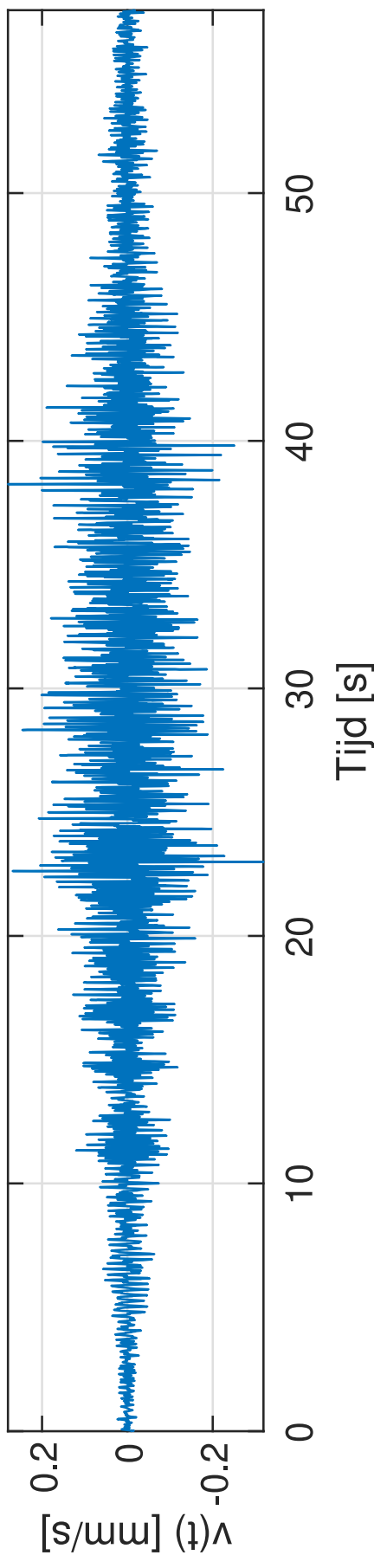
# Treinpassage gemeten bij Meetpunt Dom 2022-10-27 19:09



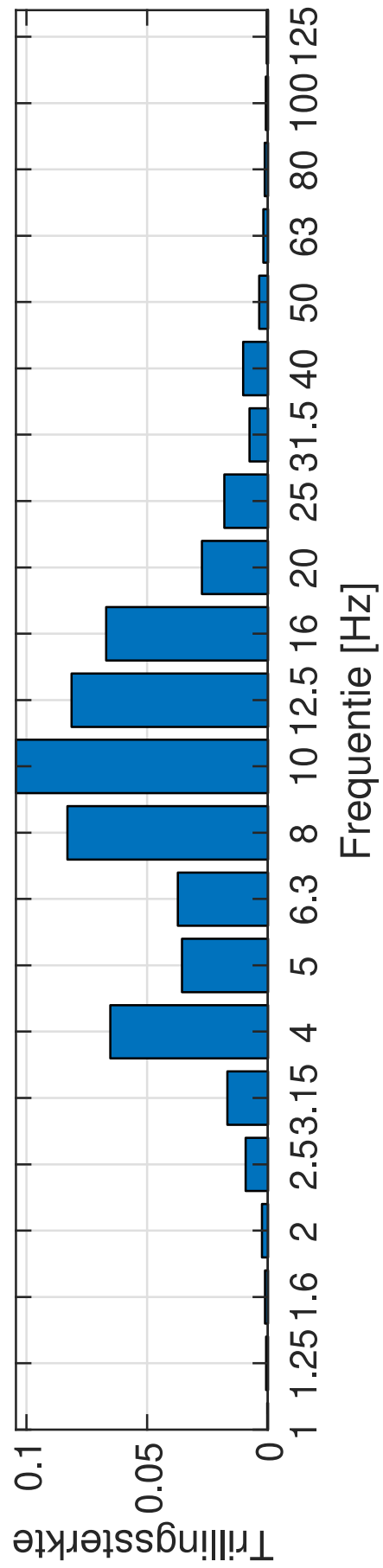
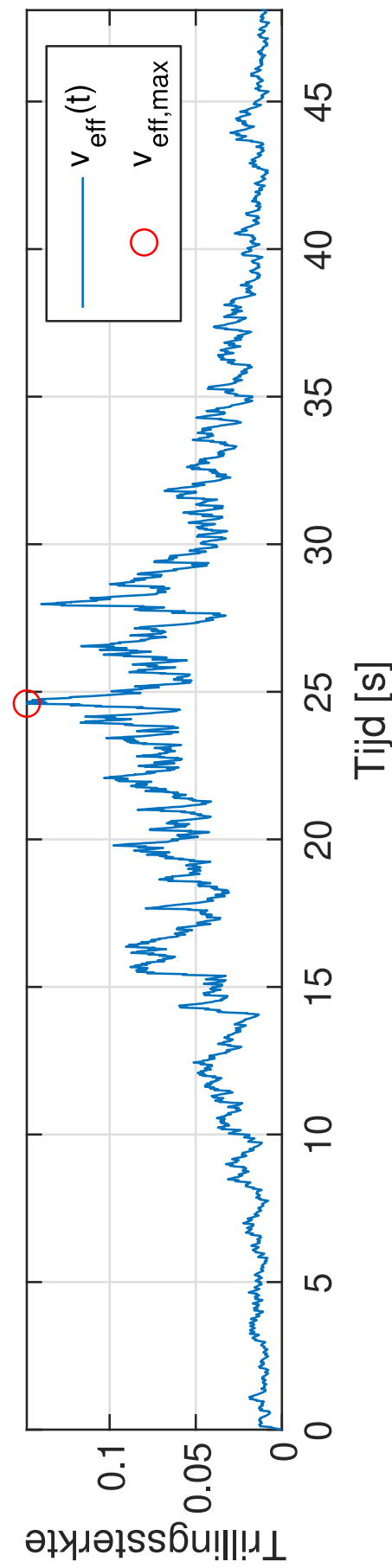
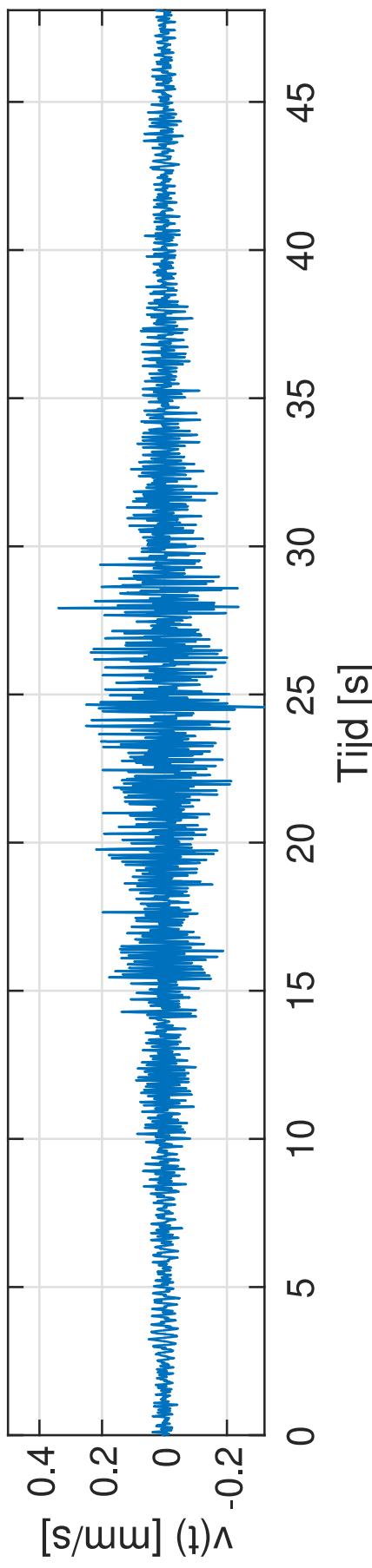
# Treinpassage gemeten bij Meetpunt Dom 2022-10-26 12:01



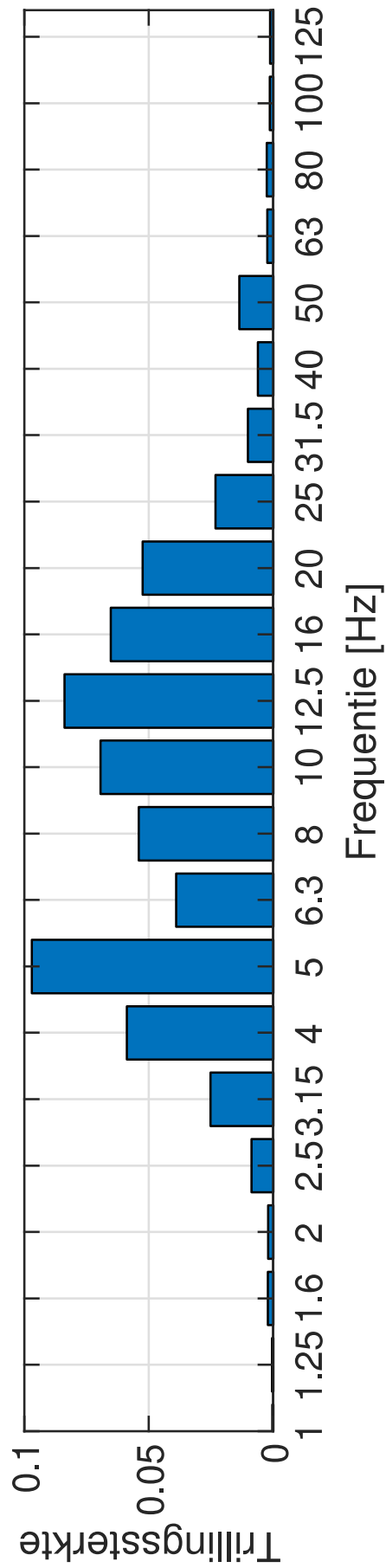
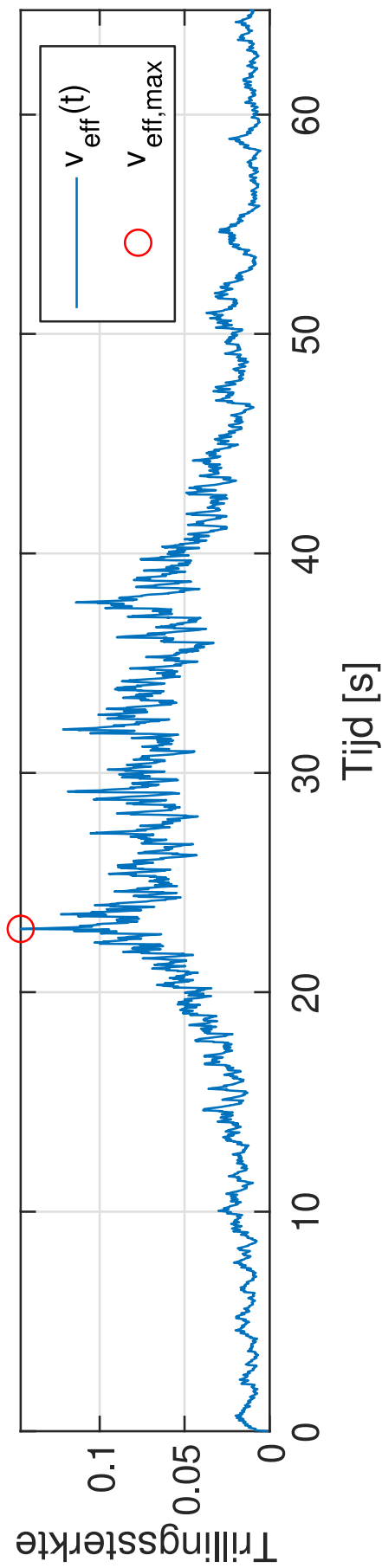
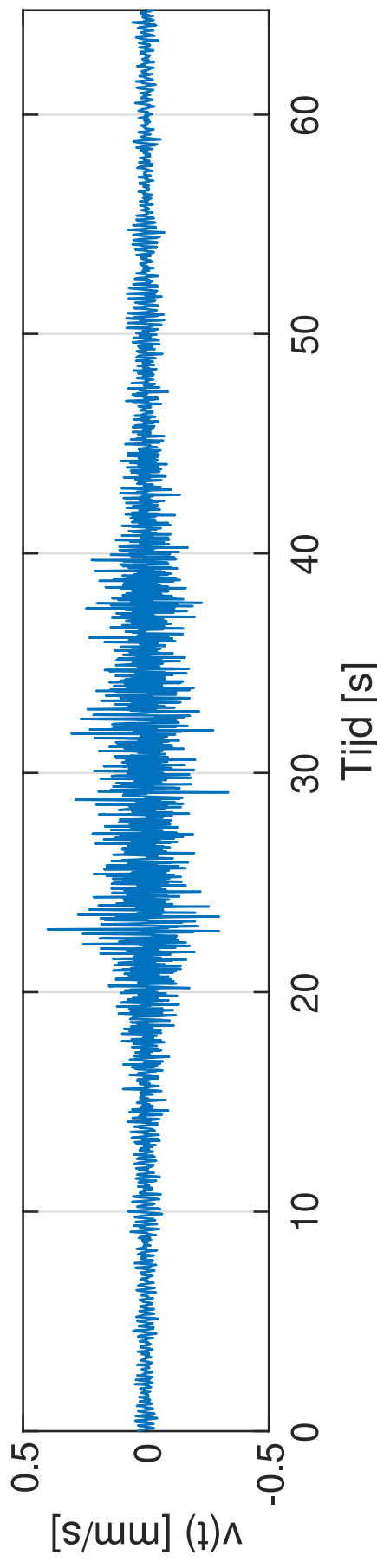
# Treinpassage gemeten bij Meetpunt Dom 2022-10-28 00:58



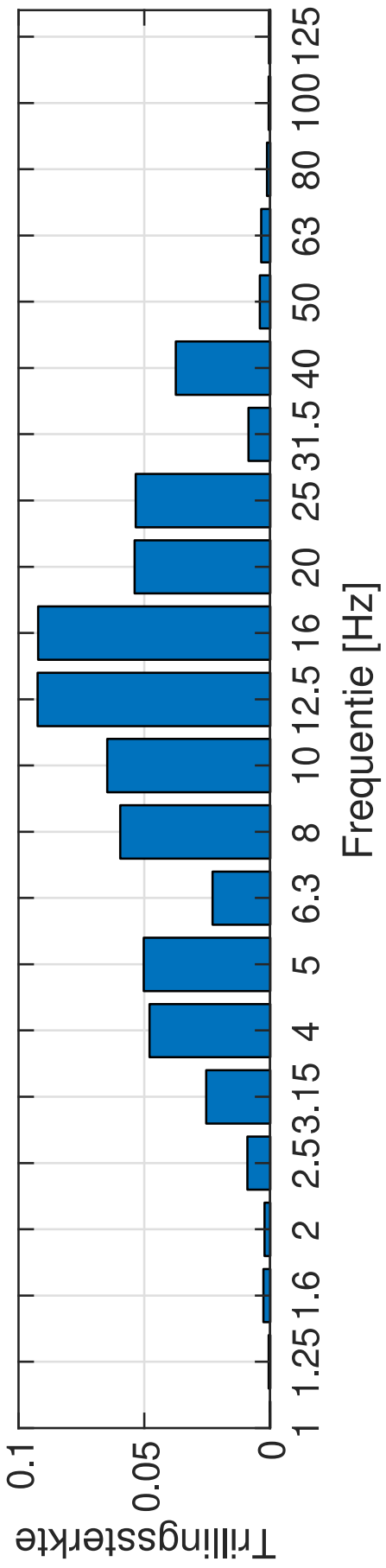
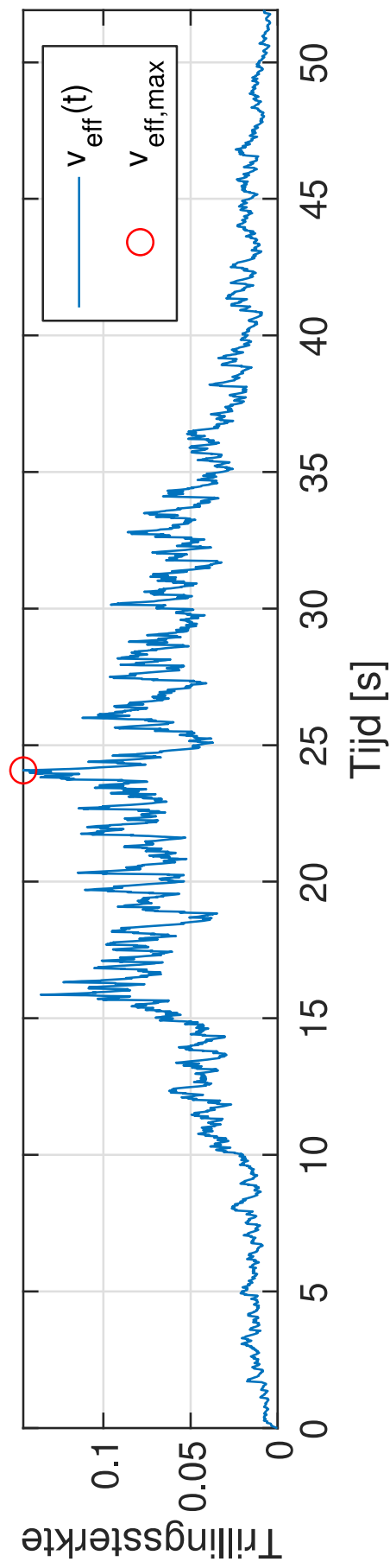
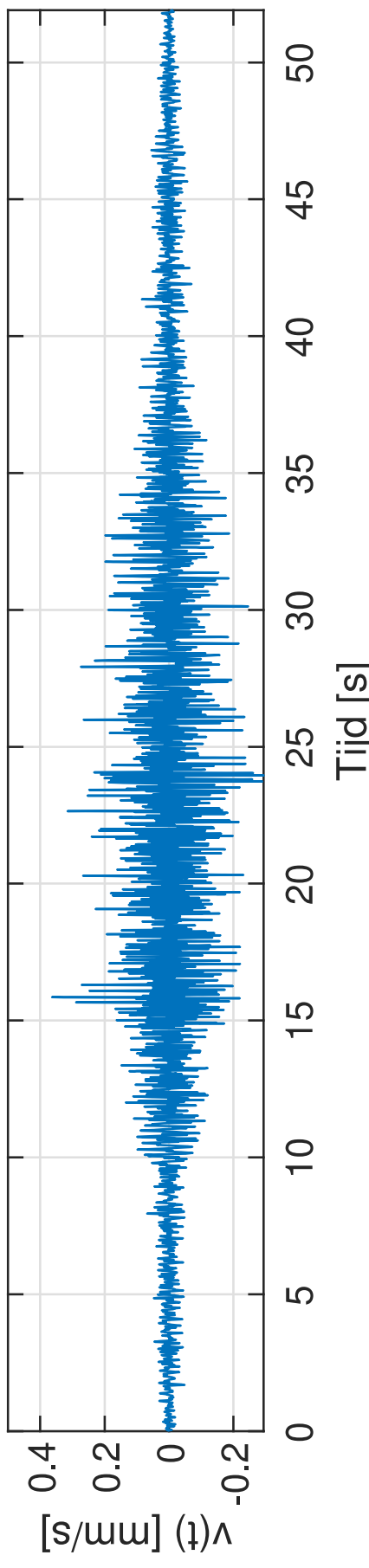
# Treinpassage gemeten bij Meetpunt Dom 2022-10-27 12:12



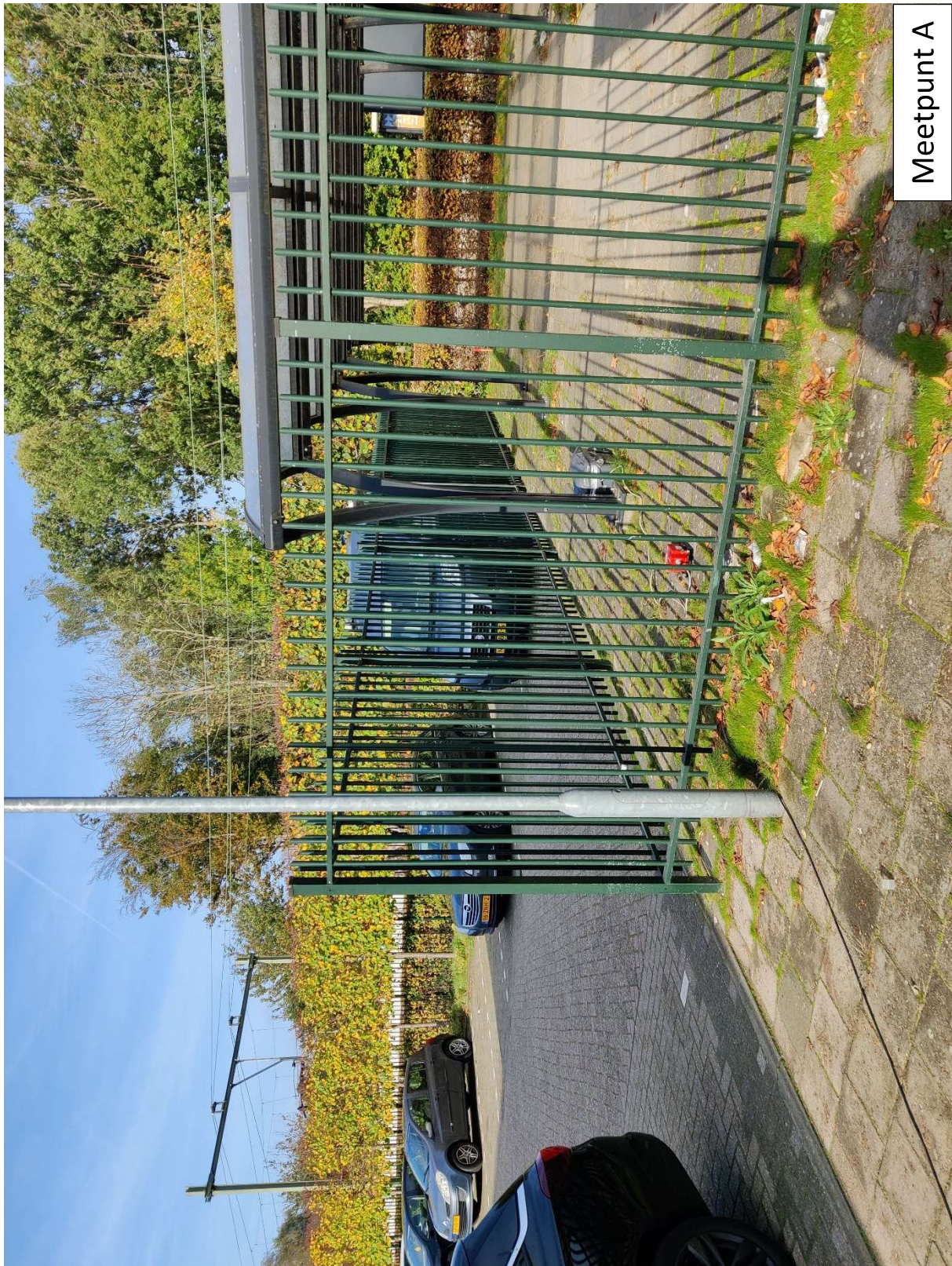
# Treinpassage gemeten bij Meetpunt Dom 2022-10-25 20:21



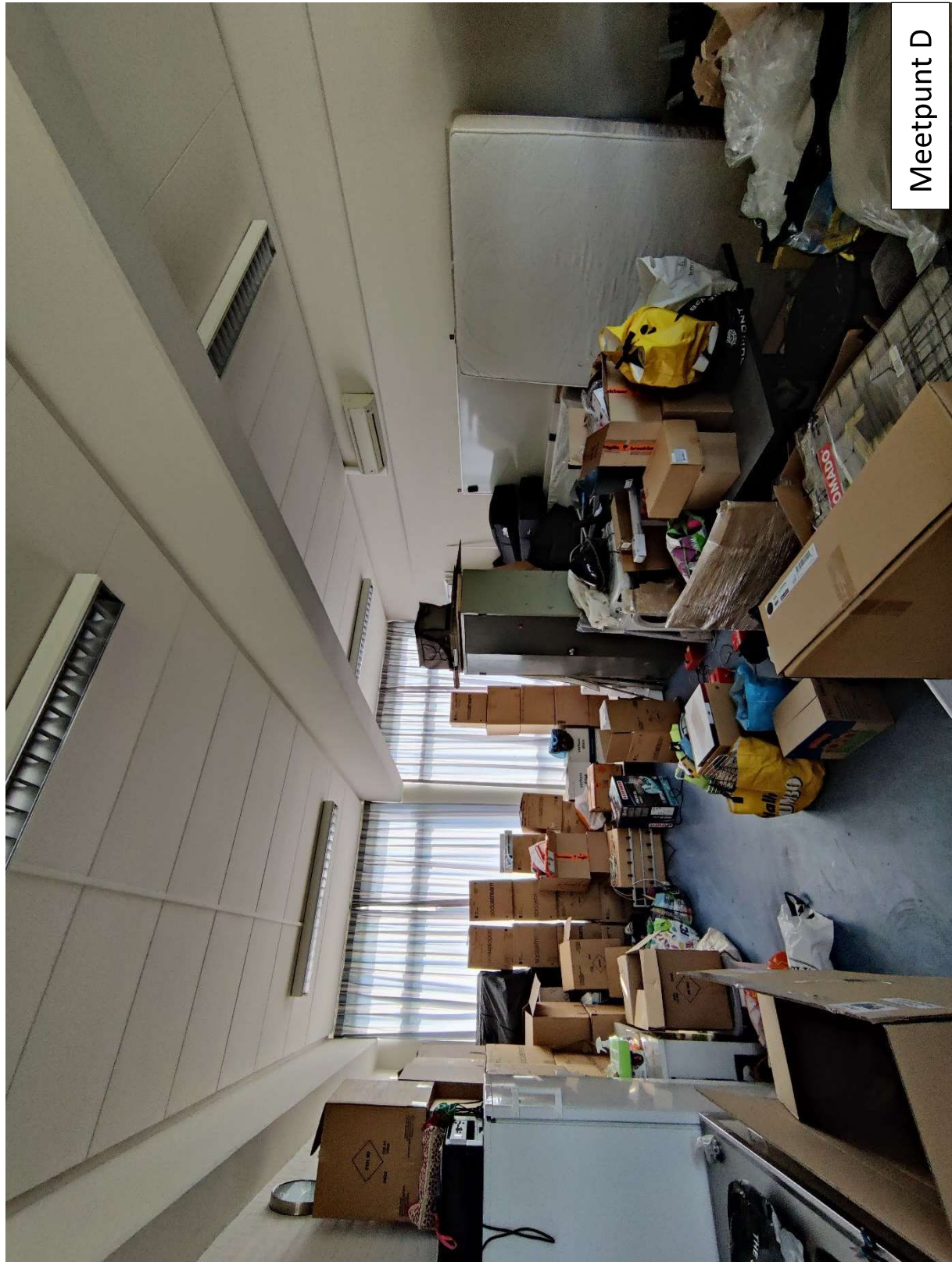
# Treinpassage gemeten bij Meetpunt Dom 2022-10-27 06:12

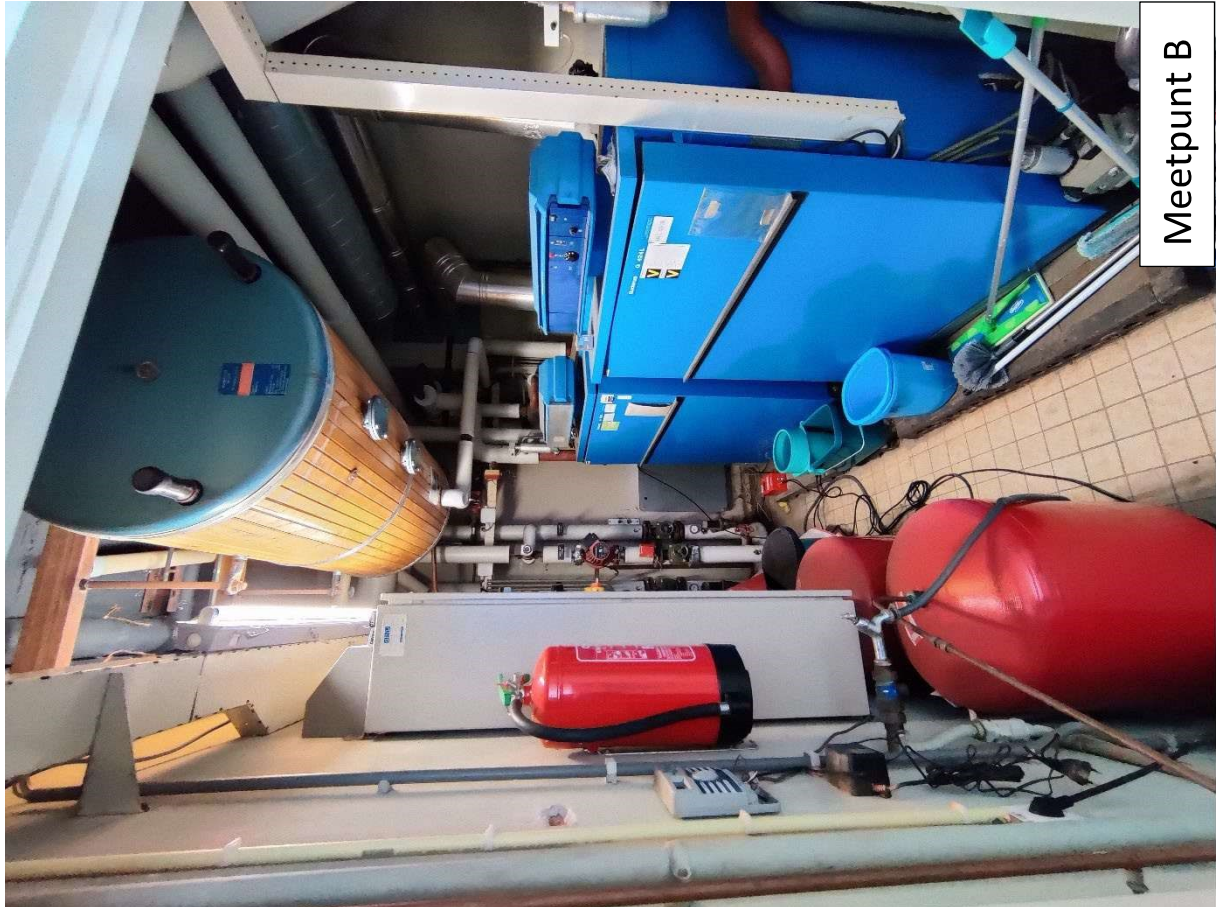


**Bijlage II      Foto's**

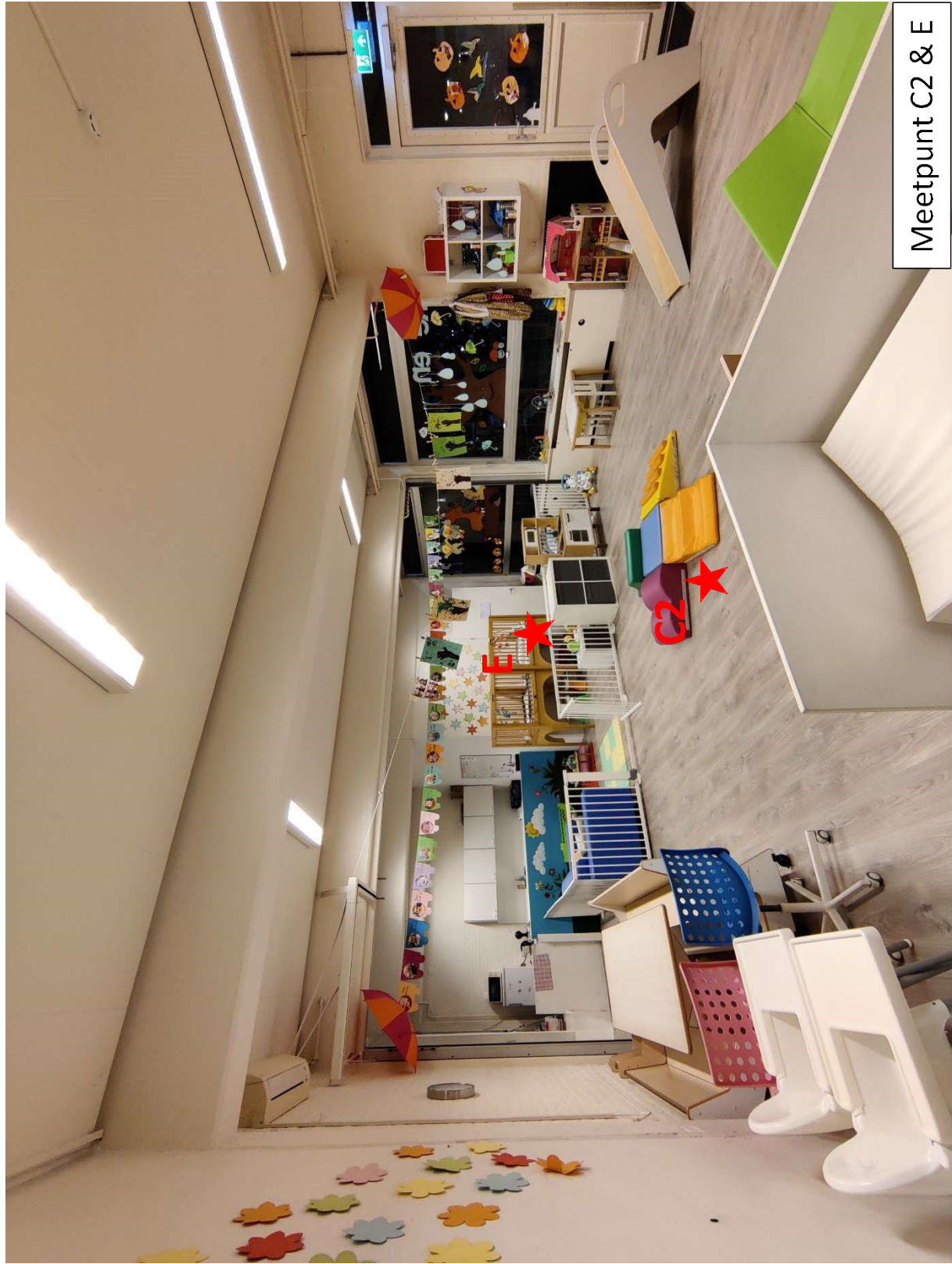


Meetpunt D





Meetpunt C2 & E



Meetpunt D2

